

И. У. ШВЕЛИДЗЕ

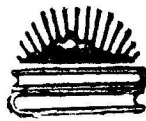
**МИНЕРАЛОГИЯ И КРИСТАЛЛОХИМИЯ
БИОТИТОВ ИЗ МЕТАМОРФИТОВ
АБХАЗИИ И ВЕРХНЕЙ
СВАНЕТИ**

«МЕЦНИЕРЕБА»

АКАДЕМИЯ НАУК ГРУЗИИ
ГЕОЛОГИЧЕСКИЙ ИНСТИТУТ им. А. И. ДЖАНЕЛИДЗЕ
Труды, новая серия, вып. 108

И. У. ШВЕЛИДЗЕ

**МИНЕРАЛОГИЯ И КРИСТАЛЛОХИМИЯ
БИОТИТОВ ИЗ МЕТАМОРФИТОВ
АБХАЗИИ И ВЕРХНЕЙ
СВАНЕТИ**



ТБИЛИСИ
«МЕЦНИРЕБА»
1992

В работе изложены результаты минералого-кристаллохимического изучения одного из самых распространенных минералов – биотита – в метаморфитах Горной Абхазии и Верхней Сванети. На основании современных методов минералогического анализа (ИК-спектроскопия, термака, рентгеновская дифракция, химический состав и др.) приведены результаты исследований, в которых особое внимание уделено кристаллохимическому составу и строению биотитов при изменении степени метаморфизма. Полученные результаты позволяют выявить ряд типоморфных признаков, которые вполне могут быть использованы при дальнейших геологопоисковых и петролого-минералогических работах.

Книга рассчитана на петрологов и минералогов.

Редактор Г.И. Насидзе, канд. геол.-мин. наук

Рецензенты: Д.М. Шенгелашвили, д-р геол.-мин. наук,
профессор,

Р.А. Чхапелиани, канд. геол.-мин. наук

ნაშრომის აუთაზეთის და ბერ სვანების მე-
ტამორფულ ქაბეგში გაცრცლებული გრა-კრო მინერალების კან-
დიდები მინდობის მიხედვის მინერალების და კრისტალების
კავშირის შეღები. იგი ემყარება თანამედროვე მინერალების
კლასის სასუა მრავების გამოყენებას, როგორიცაა ინტარი-
ფენა სპეციალურობა, კრისტალოტექნიკა, ფერტული, რენტგენ-
სკორსერვი და სხვა მნიშვნელობი.

მინდობის ამინდ მინერალ ბიოტიტის ტიპ-
მრავალ თვისებების შესახებ, რომელიც ადასიანებს ამ ნიერ-
ჟადებს წნევის და ტერმორატიული ცენტრებათვის ჭროს.

ნაშრომი განკუთვნილია პიროვნებების და მინერალების
ბიუროვთ.

В последние годы получено многое о геологии Абхазии, петрологических и минералогических особенностях горных пород Абхазии и Верхней Сванети, районах и предгорьях Северного и Георгиевского подножий Главного Кавказского хребта, потенциально промышленном объектах. В литературе упомянуты генетическая связь ряда месторождений подземных скоплений с признаками регионального метаморфизма и строгая локализация в них большинства месторождений метаморфического типа (железа, марганца, никеля, цинка, меди, золота, урана, титана и др.).

Особую значимость при этом приобретают данные, полученные в результате исследований типоморфных особенностей породообразующих минералов, в частности – выявлении их конституционных признаков.

Актуальность представленной работы определяется не только тем, что биотит является ценным сырьем для народного хозяйства (ризот и радиотехническая промышленность), но и тем, что до начала нынешней сотни в исследуемом регионе не изучался минералогический, кристаллохимический состав и структура этого минерала; – биотит является одними распространенными минералами во всех генетических типах метаморфических пород Абхазии и Верхней Сванети с широким диапазоном F-T-условий образования и, в третьих, они способны легко приспособливаться к разнообразным физико-химическим и термодинамическим условиям, фиксируя в особенностях своих структур и кристаллическим составе изменения геологических обстановок, что в свою очередь является надежным критерием установления взаимосвязей между факторами минералообразования и их генетическими особенностями.

Задачи исследования состоят в детальном изучении теплохимических особенностей кристаллохимического состава, выявленных изоморфных схем изоморфных замещений, определении эволюции биотитов в зависимости от региональном метаморфизме и выявлении связи кристаллохимического состава с F-T-условиями их образования; изучении и выявление типоморфных признаков по методу ИК-спектроскопии, термического анализа и по показателю светопреломления; проведении восстороженных рентгеноструктурных исследований биотитов, определении структурно-типоморфных признаков, выявления возможных полигиплических ячеек, определении параметров элементарной ячейки, установление взаимосвязей кристаллохимического состава биотитов со структурными особенностями.

С помощью методов математической статистики охарактеризованы и систематизированы наиболее полная и представительная коллекция кристаллохимического состава биотитов из метаморфитов Абхазии и верхней

рхней Сванети. Определена эволюция кристаллохимического состава с изменением процесса метаморфизма. Установлено, что в кристаллохимическом составе биотитов возможны две серии твердых растворов, представленных как ишонит-сицирофилитовыми, так и флогопит-аннитовыми рядами. Интересным представляется тот факт, что первая из них характерна для биотитов из метапелитовых пород, а вторая – для богатых CaO пород.

Парные коэффициенты корреляции кристаллохимического состава биотитов подтвердили ранее описанные схемы изоморфных замещений, происходящие в разных катионных позициях. Вместе с этим выявлена определенная роль поведения Ti в тетраэдрах.

Установлены характерные типоморфные особенности биотитов как по ИК-спектрам поглощения, так и методами термического анализа, показателя светопреломления, которые хорошо сопоставляются с изменением процессов регионального метаморфизма.

Детальное рентгеноструктурное исследование позволило установить, что при кристаллизации определенному составу биотитов соответствует вполне определенный политип, что в свою очередь проявляет определенную эволюцию от неупорядоченных разновидностей – типа IM_{∞} до более упорядоченных политипов – $2M_1$, через IM и $IM(3T)$ разновидностей, которые не являются эзотичными. Отмеченное явление хорошо увязывается с зональностью метаморфического процесса.

По нашим данным, типоморфные особенности состава и структур биотитов вполне могут быть использованы в качестве критерии при дальнейших детальных петрологических и геологических и поисковых работах в районе выходов биотитсодержащих кристаллических пород Абхазии и Верхней Сванети.

Принятые сокращения

Аб – альбит	К.П.Ш. – калиевый полевой шпат
Анд – андалузит	Кум – кумингтонит
Би – биотит	Му – мусковит
Гр – гранат	Рог – роговая обманка
Граф – графит	Сил – силлimanит
Жед – жедрит	Ст – ставролит
Кв – кварц	Сф – сфен
Ки – кианит	Шп – шпинель
Кор – кордиерит	Эп – минералы группы эпидота
	Ф.е. – формульная единица

Глава I. ОСНОВНЫЕ ЧЕРТЫ ГЕОЛОГО-ПЕТРОЛОГИЧЕСКОГО СТРОЕНИЯ МЕТАМОРФИТОВ АБХАЗИИ И ВЕРХНЕЙ СВАНЕТИ

Геолого-петрологическое строение данного региона подробно рассмотрено в многочисленных публикациях ряда исследователей: Ш.И.Джанахишвили (1966, 1970), Ш.А.Адамия (1968), Г.Д.Думбадзе (1969), Т.Г.Чхотуа (1971), М.Л.Сомина (1971), Д.М.Шенгелия (1978, 1979, 1982), Г.Л.Чичинадзе (1978), Р.Г.Кахадзе (1982), А.В.Окросцваридзе (1987), М.Д.Шенгелия (1989) и др., поэтому здесь приводятся лишь те аспекты геолого-петрологического строения, которые помогают в расшифровке полученных мною данных по типоморфизму биотитов.

Кристаллическое ядро Большого Кавказа в результате альпийского тектогенеза сильно переработано и разделено крупными разломами, к числу которых относятся Софийское и Тебердинское поднятие.

Метаморфиты Софийского поднятия в Абхазии представлены буульгенской (гвандринская, кличская, сисинская и верхнеклистибисская свиты) и Лабинской (дамхурцевская и лаштракская свиты) сериями. Они характеризуются неоднородным составом исходных пород, резко различны по составу, характеру и степени метаморфизма. Примерно такая же картина наблюдается в строении Тебердинского поднятия в пределах Верхней Сванети, где по степени метаморфизма выделяют две зоны – северную и южную, причем высказывается мнение (Д.М.Шенгелия, Г.Л.Чичинадзе, Р.Г.Кахадзе, 1981) о том, что метаморфиты южной зоны Тебердинского поднятия являются восточным продолжением буульгенской серии Софийского блока.

На основании парагенетического анализа для метаморфитов Абхазии устанавливаются андалузитовый и кианитовый типы регионального метаморфизма, протекавшего по классификации А.Миасиро (1976) в условиях зеленосланцевой, эпидот-амфиболитовой и амфиболитовой фаций, или по терминологии Г.Цварт и др. (G. Zwart et al., 1967) – метаморфизм низких и умеренных давлений. Из 5 серий метаморфических фаций, или минералогических типов, выделенных А.Миасиро (A.Miyashiro, 1961), в метаморфитах Абхазии отмечаются лишь три: 1) андалузит-силлimanитовый тип метаморфизма с минеральными ассоциациями, содержащими андалузит и кордиерит, но лишенными кианита и ставролита; 2) промежуточная группа метаморфизма низкого давления с минеральными ассоциациями, содержащими андалузит и ставролит, но без кианита; 3) кианит-силлimanитовый тип метаморфизма с кианитом и ставролитом, но без андалузита и кордиерита. Первый из них установлен в метаморфических породах гвандринской, кличской и сисинской свит буульгенской серии, второй в основном развит в породах гвандринской свиты, а третий – в породах лаштракской свиты лабинской серии.

В Верхней Сванети, по сравнению с Абхазией, установлен лишь

рхней Сванети. Определена эволюция кристаллохимического состава с изменением процесса метаморфизма. Установлено, что в кристаллохимическом составе биотитов возможны две серии твердых растворов, представленных как истионит-сидерофилитовыми, так и флогопит-аннитовыми рядами. Интересным представляется тот факт, что первая из них характерна для биотитов из метапелитовых пород, а вторая – для богатых CaO пород.

Парные коэффициенты корреляции кристаллохимического состава биотитов подтвердили ранее описанные схемы изоморфных замещений, происходящие в разных катионных позициях. Вместе с этим выявлена определенная роль поведения Ti в тетраэдрах.

Установлены характерные типоморфные особенности биотитов как по ИК-спектрам поглощения, так и методами термического анализа, показателя светоотделения, которые хорошо сопоставляются с изменением процессов регионального метаморфизма.

Детальное рентгеноструктурное исследование позволило установить, что при кристаллизации определенному составу биотитов соответствует вполне определенный полигип, что в свою очередь проявляет определенную эволюцию от неупорядоченных разновидностей – типа IM₁ до более упорядоченных полигипов – 2M₁, через IM и IM(3T) разновидностей, которые не являются эзотичными. Отмеченное явление хорошо увязывается с зональностью метаморфического процесса.

По нашим данным, типоморфные особенности состава и структуры биотитов вполне могут быть использованы в качестве критерии при дальнейших детальных петрологических и геологических поисковых работах в районе выходов биотитсодержащих кристаллических пород Абхазии и Верхней Сванети.

Принятые сокращения

Ab - альбит	K.П.Ш. – калиевый полевой шпат
Анд - андалузит	Кум – кумингтонит
Би - биотит	Му – мусковит
Гр - гранат	Рог – роговая обманка
Граф - графит	Сил – силлманит
Жед - жедрит	Ст – ставролит
Кв - кварц	Сф – сфен
Ки - кианит	Шп – шпинель
Кор - кордиерит	Эп – минералы группы эпидота
	Ф.е. – формульная единица

Глава I. ОСНОВНЫЕ ЧЕРТЫ ГЕОЛОГО-ПЕТРОЛОГИЧЕСКОГО СТРОЕНИЯ МЕТАМОРФИТОВ АБХАЗИИ И ВЕРХНЕЙ СВАНЕТИ

Геолого-петрологическое строение данного региона подробно рассмотрено в многочисленных публикациях ряда исследователей: Ш.И.Джанашвили (1966, 1970), Ш.А.Адамия (1968), Г.Д.Думбадзе (1969), Т.Г.Чхотуа (1971), М.Л.Сомина (1971), Д.М.Шенгелия (1978, 1979, 1982), Г.Л.Чичинадзе (1978), Р.Г.Кахадзе (1982), А.В.Окросцваридзе (1987), М.Д.Шенгелиа (1989) и др., поэтому здесь приводятся лишь те аспекты геолого-петрологического строения, которые помогают в расшифровке полученных мной данных по типоморфизму биотитов.

Кристаллическое ядро Большого Кавказа в результате альпийского тектогенеза сильно переработано и разделено крупными разломами, к числу которых относятся Софийское и Тебердинское поднятия.

Метаморфиты Софийского поднятия в Абхазии представлены буульгенской (гвандринская, кличская, сисинская и верхнекистбисская свиты) и Лабинской (дамхурцевская и лаштракская свиты) сериями. Они характеризуются неоднородным составом исходных пород, резко различны по составу, характеру и степени метаморфизма. Примерно такая же картина наблюдается в строении Тебердинского поднятия в пределах Верхней Сванети, где по степени метаморфизма выделяют две зоны – северную и южную, причем высказывается мнение (Д.М.Шенгелия, Г.Л.Чичинадзе, Р.Г.Кахадзе, 1981) о том, что метаморфиты южной зоны Тебердинского поднятия являются восточным продолжением буульгенской серии Софийского блока.

На основании парагенетического анализа для метаморфитов Абхазии устанавливаются андалузитовый и кианитовый типы регионального метаморфизма, протекавшего по классификации А.Миасиро (1976) в условиях зеленосланцевой, эпидот-амфиболитовой и амфиболитовой фаций, или по терминологии Г.Цварт и др. (G. Zwart et al., 1967) – метаморфизм низких и умеренных давлений. Из 5 серий метаморфических фаций, или минералогических типов, выделенных А.Миасиро (A.Miyashiro, 1961), в метаморфитах Абхазии отмечаются лишь три: 1) андалузит-силлманитовый тип метаморфизма с минеральными ассоциациями, содержащими андалузит и кордиерит, но лишенными кианита и ставролита; 2) промежуточная группа метаморфизма низкого давления с минеральными ассоциациями, содержащими андалузит и ставролит, но без кианита; 3) кианит-силлманитовый тип метаморфизма с кианитом и ставролитом, но без андалузита и кордиерита. Первый из них установлен в метаморфических породах гвандринской, кличской и сисинской свит буульгенской серии, второй в основном развит в породах гвандринской свиты, а третий – породах лаштракской свиты лабинской серии.

В Верхней Сванети, по сравнению с Абхазией, установлено

андалузит-силиманитовый тип метаморфизма с минеральными ассоциациями, содержащими андалузит и кордиерит, но лишенными кианита и ставролита.

Наиболее отмеченные типы метаморфизма, по мнению многих исследователей (Чичинадзе, 1977, 1978; Шенгелия, 1981), выявляют определенную зональность прогressiveного регионального метаморфизма. Так, Г.Л.Чичинадзе (1978) в юго-восточной части софийского поднятия, в буульгенской серии выделяет пять зон: биотита, граната, ставролита, силиманита и киттатита. В метаморфитах же лаштракской свиты лабинской серии Д.М.Шенгелия и Д.Н.Кецховели (1982) устанавливают гранатовую и ставролитовую зоны. В пределах Верхней Сванети Р.Г.Кахадзе (1982) для южного сегмента определяет биотитовую, гранатовую, андалузито-кордиеритовую зоны, тогда как для северного – силиманитовую и силиманит-калишпатовую.

При характеристике химического состава пород и метаморфической зональности мы полностью придерживаемся принятой для данного региона классификации, которая расчленяет их на два основных класса: 1) метапелитов (характеризующихся низким отношением $\text{Ca}:(\text{Al}+\text{Mg}+\text{Fe})$) и 2) богатых саю пород.

Д.М.Шенгелия и др. (1982), Р.Г.Кахадзе (1982) при характеристике типов метаморфитов Абхазии и В.Сванети отмечают, что минеральный состав метапелитов в значительной мере определяется степенью их насыщения калием. По этому признаку они ведут за Кориковским (1979) разделяют их на три группы:

- 1) к пересыщенным K_2O (известные в литературе как кварц-половинчатые породы) различиями откосают породы с избытком калишпата;
- 2) к насыщенным – породы с избытком мусковита (фенита);
- 3) к недосыщенным – породы, не содержащие амфиболя, мусковита и калишпата, с единственным калиевым минералом – биотитом.

7.1. Зоны метаморфизма в Абхазии (Софийский блок)

Как отмечалось, в метаморфитах Абхазии, в пределах Софийского антиклиналя Г.Л.Чичинадзе (1978) и Д.М.Шенгелия (1982) выделяют 5 зон прогressiveного регионального метаморфизма.

Зона биотита в буульгенской серии представлена метапелитами. В рыхлобиомской свите известно, что низкотемпературная граница этой зоны фиксируется по появлению первых биотитов в наименее силикатных породах, а высокотемпературная – по возникновению трансформации за счет распада хлоритов. С.И.Кориковский (1972) различает метаморфную зону по трем ступени: низкую, среднюю и высокую.

Д.М.Шенгелия и Д.Н.Кецховели (1982) в верхнебиомистской свите выделяют среднюю и отчасти высокую ступени биотитовой зоны. В этой же свите выделяют пересыщенные и насыщенные K_2O метапелиты. Пересыщенные K_2O метапелиты представлены биотит-альбит-микроклиновыми и эпидот-двуслюдино-хлорит-кварц-альбит-микроклиновыми сланцами. Насыщенные K_2O метапелиты представлены биотит-хлорит-кварц-альбитовыми, двуслюдино-кварц-хлорит-альбитовыми, хлорит-двуслюдино-альбит-кварцевыми и двуслюдино-альбит-кварцевыми сланцами.

Зона ставролита – одна из наиболее распространенных в буульгенской серии. В этой зоне, как и предыдущей, выделены метапелиты по насыщенности K_2O и богатые саю породы. Зона выделена по признаку первого появления ставролита в метапелитах, верхняя граница которого отбивается по исчезновению его в насыщенных разновидностях.

В насыщенных – зона ставролита наиболее распространена и представлена двуслюдино-андалузит-кварцевыми и гранат-двуслюдино-андалузит-кварцевыми сланцами.

В отличие от насыщенных, пересыщенные разновидности пород ставролитовой зоны представлены в основном альбитовыми гнейсами с минеральным парагенезисом – Гр-Би-Анд-Ко, Би-Му-Пл-Кв. Отметим, что эти породы занимают доминирующее положение в зоне.

В недосыщенных K_2O метапелитах кроме обычно отсутствующего мусковита не встречается и силиманит, а биотит, плагиоклаз, кварц, андалузит и ставролит играют главную роль. Спорадически наблюдаются хедролит и куммингтонит. Характерными минеральными парагенезисами этой зоны являются Ст-Кор-Кв и Гр-Кор-Кв. В высокотемпературной части – Ст-Кум и Кор-Кум.

Богатые саю породы представлены амфиболитовыми сланцами и амфиболитами, в которых главную роль играют плагиоклаз и роговая обманка; затем следуют эпидот, диопсид, сферен, биотит и гранат. Минеральные парагенезисы: Рог+Ил, Рог+Пл+Би+Кв; Рог+Пл+Ди+Эп+Кв.

Зона силиманита вместе со ставролитовой слагает основание буульгенской серии, а самыми распространенными в ней являются недосыщенные и насыщенные K_2O метапелиты. Пересыщенные же разновидности метапелитов являются подчиненным распространением в силиманитовой зоне и представлены мигматитами.

В недосыщенных K_2O метапелитах в зоне силиманита широко распространены гранат-биотит-силиманитовые сланцы. Ограничением распространения пользуются мигматиты.

В этой же зоне в насыщенных разновидностях метапелитов, в отличие от недосыщенных, широко распространены гранат-кордиерит-силиманит-двуслюдильные сланцы и мигматиты.

Богатые саю породы в подавляющем большинстве представлены амфиболитами и амфиболитовыми сланцами с минеральными парагенезисами

Пл+Рог+Би-Кв, Пл+Кум+Би-Кв.

Зона мигматита выделена по появлению мигматитов в недосыщенных K_2O метапелитах. Лейкократовая часть, как правило, имеет состав $K_2O + Pl$, а в рестидах в основном развиты плагиоклаз, гранат, силлиманит, кордиерит, биотит и куммингтонит. В насыщенных разновидностях, как и в недосыщенных, рестит ($K_2O + Pl$) и лейкократовая часть почти однокового состава.

В мигматитовой зоне подчиненным распространением пользуются пересыщенные разновидности метапелитов. В основном они представлены мигматитами и аляскитовыми гнейсами.

Отмечается мигматизация и в богатых CaO породах мигматитовой зоны. Здесь широко распространены куммингтонитовые, роговообманковые и другие амфиболиты и мигматиты, минеральные парагенезисы которых представлены Рог+Кум+Пл+Би-Гр, Рог+Пл+Би-Кв ассоциациями.

В лабинской серии лаштракской свиты, в метаморфитах выделяют обманковую и ставролитовую зоны. Подавляющая часть свиты представлена насыщенными K_2O метапелитами, небольшую роль играют в ней богатые CaO породы и еще реже встречаются недосыщенные K_2O метапелиты.

Зона граната – наиболее низкая ступень регионального метаморфизма в лаштракской свите. Нижняя граница зоны не установлена, а верхняя отбивается по первому проявлению ставролита в насыщенных K_2O метапелитах. Большая часть зоны представлена насыщенными разновидностями метапелитов и богатыми CaO породами. Недосыщенные же K_2O породы в этой зоне играют подчиненную роль.

В насыщенных K_2O метапелитах наиболее распространены кварц, мусковит, хлорит, гранат, графит, альбит, биотит, редко встречаются кианит и хлоритоид. В недосыщенных K_2O метапелитах – кварц-альбит-хлоритовые и гранат-кварц-хлоритовые сланцы.

Богатые CaO породы представлены амфиболитовыми, хлоритовыми и эпидотовыми сланцами.

Зона ставролита. В лаштракской свите установлены три температурные субации этой зоны: 1) ставролит-хлоритоидная, 2) ставролит-хлоритовая и 3) кианит-ставролит-биотитовая.

Для первой субации характерно отличие в минеральных парагенезисах различно насыщенных K_2O метапелитов. Так, если в насыщенных K_2O разновидностях отмечается присутствие таких минералов, как кварц, мусковит, гранат, хлорит, ставролит, графит, плагиоклаз и биотит, то в недосыщенных метапелитах отсутствуют такие минералы, как мусковит, ставролит и кианит, а хлоритоид встречается исключительно редко. В богатых CaO породах этой субации, кроме вышеотмеченных минералов, присутствуют кианит и роговая обманка.

Необходимо также отметить, что биотитовые разновидности сланцев тяготеют исключительно к насыщенным K_2O метапелитам.

Во-второй – ставролит-хлоритовой субации, в отличие от предыдущей, как в насыщенных, так и недосыщенных K_2O метапелитах при отсутствии хлоритоида возрастает магнезиальность хлорита, граната и ставролита. Богатые CaO породы мало отличаются от предыдущей субации. Здесь главную роль играют графит-хлорит-гранат-ставролит-кианитовые сланцы, затем – биотитовые и кианитовые их разновидности.

В-третьей субации по сравнению с предыдущими нет богатых CaO пород. Хлорит как в насыщенных, так и недосыщенных K_2O метапелитах замещается либо гранатом, либо гранатом и биотитом, либо ставролитом.

1.2. Зоны метаморфизма Верхней Сванети

Биотитовая зона

Среди пород южной зоны (буульгенская серия) наименее метаморфизованы породы ладевальской свиты. Существенную ее часть составляют метапелиты, подчиненную роль играют богатые CaO породы.

В насыщенных K_2O разновидностях доминируют метапелиты, представленные биотит-хлорит-мусковит-альбит-кварцевыми сланцами. Содержание биотита в этих породах очень ограничено. Часто породы вовсе лишены этого минерала. Широко распространены хлорит-альбит-мусковит-кварцевые ассоциации и их графитовые разновидности.

Недосыщенные K_2O метапелиты в зоне биотита пользуются подчиненным развитием. Среди них встречаются безмусковитовые кварц-альбит-хлоритовые сланцы и их биотитовые, эпидотовые и карбонатные разновидности.

Богатые CaO породы, сравнительно мало развитые в этой зоне, представлены бесмусковитовыми и бескварцевыми альбит-хлоритовыми сланцами с эпидотом, карбонатом и актинолитом.

Зона граната

Зона выделена в метапелитах по появлению граната к западу от биотитовой зоны (право- и левобережье р. Накра). Проявления гранатовой зоны отмечают в Шарском поднятии (нижнее течение рр. Твибери и Цанери). В зоне граната метаморфизованы все аналоги сисинской и верхняя часть кличской свит. Развитые в ней метапелиты и метабазиты (богатые CaO породы) встречаются в равном количестве.

В насыщенных K_2O метапелитах критическим ассоциациям принадлежат гранат-биотит-хлорит-мусковит-плагиоклаз-кварцевые парагенезисы. Кроме них здесь встречаются безгранатовые биотит-хлорит-муско-

маг-плагиоклаз-кварцевые и безбиотитовые андалузит-хлорит-мусковит-плагиоклаз-кварцевые разновидности.

Недосыщенные K_2O метапелиты, играющие в зоне граната подчиненную роль, как в зоне биотита, в основном представлены кварц-альбит-хлоритовыми сланцами и их биотитовыми, вилдоговыми и гранатовыми разновидностями.

Богатые CaO породы представлены альбит-хлорит-эпидотовыми сланцами сисинской и амфиболовыми сланцами клинчской свит. Вместе с насыщенными K_2O метапелитами они занимают доминирующее положение. Альбит-хлорит-эпидотовые сланцы и их аутинодитовые, карбонатные, изредка гранатовые разновидности почти не отличаются от таковых предыдущей зоны. Различаются амфиболовые, эпидот-амфиболовые, хлорит-эпидот-амфиболовые и плагиоклавовые сланцы и амфиболиты.

Зона андалузита и кордиерита

Эта зона – самая высокая ступень в метаморфитах южной зоны и выделяется в южной части Шарского поднятия. В ее пределах метаморфизованная верхняя часть гвандринской и нижняя клинчской свит, установлен интенсивный процесс дифтореза, катаклаза и мионитизации.

Метапелиты представлены биотитовыми, двуслюдянными, кордиеритовыми и андалузитовыми сланцами. Несмотря на широкое развитие регressiveного метаморфизма, в этих породах уцелели реликты минералов первично метаморфизованных пород. Рассмотренные ниже биотиты взяты именно из таких пород.

Богатые CaO породы в этой зоне представлены прослоями плагиоклавовых амфиболитов гвандринской и эпидотовых амфиболитами клинчской свит.

Зона силимманита

Зона выделена по появлению в метапелитах силимманита в ассоциации с мусковитом. Она охватывает области верхнего течения рр. Некахра и Накра, окаймляя разномернозернистые двуслюдянные граниты и нижнее течение р. Накра.

Насыщенные K_2O метапелиты, занимающие доминирующее положение в зоне, представлены двуслюдянами, двуслюдино-гранатовыми, двуслюдино-клииманитовыми и двуслюдяно-гранат-силимманитовыми сланцами. Главные минералы – биотит, плагиоклаз и силимманит.

Недосыщенные K_2O метапелиты в зоне силимманита играют подчиненную роль. Они представлены в основном безмусковитовыми, биотито-

ющими, гранитовыми, силимманитовыми, реже – кордиеритовыми и куммингтонитовыми сланцами и мигматитами.

Богатые CaO породы встречаются в виде маломощных пластов, реже – в виде слюдянами сланцами и мигматитами. В этой зоне богатые CaO -породы представлены главным образом амфиболитами, часто переходящими в амфиболовые сланцы и гнейсы.

Зона силимманита и калишпата

Зону выделили по появлению в метапелитовых породах парагенетика силишпата. Она охватывает все правые притоки рр. Некахра, Чхванадири, Мемули, Далар. В этой зоне мигматиты играют главную роль. Кристаллические сланцы в основном наблюдаются в рестиите мигматита. Глауберинами минералами рестиита являются биотит, силимманит, гранат, кордиерит, плагиоклаз и кварц.

Богатые CaO породы в основном представлены (в виде маломощных пластов) плагиоклавовыми, биотитовыми и куммингтонитовыми амфиболитами, хотя встречаются и их гранатовые и пироксеновые разновидности.

Глава 2. РАСПРЕДЕЛЕНИЕ БИОТИТОВ В МЕТАМОРФИТАХ И ИХ МИНЕРАЛОГИЯ

Собранный нами коллекция биотитсодержащих метаморфических пород охватывает все без исключения южные вышеотмеченные свиты и зоны прогрессивного регионального метаморфизма Абхазии к Верхней Сванетии. Отметим, что при выполнении полевых работ и отборе коллекций во мере возможности (часто бездорожье, зоны льда, высокая альпийская высота – свыше 2000 м. затрудняли нам проведение геологических работ) особое внимание было удалено обратным, обстремленным биотитами, и "зреющей" биотитсодержащих пород.

В целом коллекция содержит выше 500 образцов из различных метаморфических пород, сланцев, гнейсов, мигматитов и т.д. Собрание под оникскульяром около 150 мономинеральных фракций биотита, которые в дальнейшем были использованы для различного рода анализов.

Распределение материала по типам город и по типам метаморфических пород чрезвычайно неравномерное. Более всего отборенного материала относится к окаменелым буулганской серии, поскольку она является самой распространенной и разнообразной из всех отложений город серии как Абхазии, так и Сванетии. Относительно меньшее коли-

чество проб взято из сланцев лабинской серии, которая по сравнению с предыдущей обнажается в виде лакой полосы на южном склоне в пределах Абхазии. Хотя богатые CaO породы широко распространены по всей территории исследуемого региона, отбор из них материала по разным причинам был затруднен.

При такой обстановке группировка природного материала с генетической точки зрения имеет важное значение. Опираясь на классификацию исходных метаморфических пород Абхазии и Сванети, данную в работах Д.М.Шенгелиа, Д.Н.Келховели (1982) и Р.Г.Кахадзе (1982), свой фактический материал я распределю по следующим группам.

К первой относятся природные биотиты из метапелитов, насыщенных K₂O пород, ко второй - биотиты из метапелитов недосыщенных K₂O пород, а к третьей - биотиты из богатых CaO пород (амфиболитов и их аналогов).

Из общей суммы мономинеральных фракций, после распределения их по вышеотмеченным группам, оказалось, что в первой группе содержится 60, во второй - 50, а в третьей - 18 проб биотитов. Вне распределения осталось несколько образцов, поскольку их принадлежность к группам не удалось определить. Однако, забегая вперед, отметим, что они были использованы при общей характеристике статистического распределения отдельных окислов в биотитах.

Из распространенных в Абхазии и Сванети зон метаморфизма самой представительной по количеству отобранного природного материала оказалась зона ставролита и силлиманита, как насыщенных, так и недосыщенных K₂O метапелитов. В лабинской же серии - ставролит-хлоритовая субфация ставролитовой зоны.

Таким образом, в отмеченной группировке отражено не только происхождение, но и отчасти физико-химические условия образования биотитсодержащих пород.

Размеры чешуек и пластинок биотита варьируют в широких пределах - от 0.03 x 0.03 до 0.5 x 0.5 мм. Встречаются и более крупные чешуйки и пластинки длиной более одного сантиметра. Ориентированы они, в основном, в одном направлении и чаще всего образуют скопления в виде полос, придавая тем самым породе сланцеватость.

Биотит в основном свежий, но местами замещен мусковитом и очень редко хлоритом и рудным минералом. В процессе прогрессивного регионального метаморфизма он замещается андалузитом и силлиманитом, хотя нередко сосуществует с ними в виде равновесного минерала. В диафторитах наблюдается и обратная картина, когда биотит развивается по отмеченным минералам. Содержит он включения графита, циркона, (вокруг которого характерны плеохроничные дворики в темных тонах), апатита и реже - турмалина.

Биотит характеризуется плеохроизмом от темно-коричневого или

кристально-коричневого (II_{Ng} = Nm) до соломенно-желтого цвета (II_{Np}). Очень редко встречается биотит с плеохроизмом от густо темно-зеленого (II_{Np} = Nm) до соломенно-желтого (II_{Np}).

В предыдущей главе настоящей работы дана геологическая и петролого-минералогическая характеристика метаморфитов Абхазии и Верхней Сванети. Было отмечено, что биотитсодержащие породы широко распространены во всех зонах прогрессивного регионального метаморфизма и типах исходных пород. Нередко минералы группы склад являются наиболее распространенными пордообразующими минералами, и биотит среди них очень часто играет главную роль (интересно, что в некоторых случаях встречаются мономинеральные биотитовые породы).

Число и разновесных минеральных парагенезисов биотитсодержащих метаморфитов очень велики, поэтому ограничимся лишь наиболее распространенными и приведим характерные парагенезисы в виде колонки, в которой сверху вниз повышается степень метаморфизма от биотитовой зоны к мигматитовой (табл. I).

Как видим, биотитсодержащие метаморфиты, в основном, представлены насыщенными и недосыщенными K₂O метапелитами, хотя в богатых CaO породах они играют немаловажную роль. Биотитсодержащие метапелиты в пересыщенных K₂O породах встречаются лишь в биотитовой и ставролитовой зонах.

Таким образом, биотит, являясь "сквозным" минералом метаморфитов Абхазии и Верхней Сванети, представляет собой определенный интерес для исследования, так как выявление типоморфных особенностей его конституционных свойств позволило разобраться в некоторых сложных геолого-петрологических аспектах исследуемого региона, которые до настоящего времени остаются сложными и дискуссионными.

Характеристика минеральных пачек, зон и зонок биотитов метаморфитов
Абхазии и Верхней Сванетии

Г. А. Соловьев

Зона	Биотита	Граната	Ставролита	Оливиниты	Магматиты (Восточная Сванетия, северная зона)
1 Пересыпь и озеро-	Би+Хл+Мн+ Кор+Ми+Иль+ Пт+Лт+Кв	-	Би+Мн+Ка+Лт+ Кор+Ми+Иль+	-	Би+Гр+Сили+Кор+ Лт+Пт+Кв
2 Каскадные и котловинные метамор- фиты	Би+Мн+Ка+ Лт+Пт+Кв	Кор+Хл+Му+ Лт+Пт+Кв	Би+Сч+Ми+Лан+ Пт+Кв+Кор+Гр+ Хл+Пт+Кв	Би+Гр+Сили+Кор+ Лт+Пт+Кв	Би+Гр+Сили+Лан+ Пт+Кв+Кор+Гр+Кв
3 Недосыпь- и некто- метаполиты	Би+Мн+ Ка+Аб+Хл+ Пт+Эп	Би+Хл+Му+ Лт+Кв	Би+Сч+Ми+Лан+ Пт+Кв+Кор+Гр+ Хл+Пт+Кв	Би+Гр+Сили+Лан+ Пт+Кв+Кор+Гр+ Хл+Пт+Кв	Би+Гр+Сили+Лан+ Пт+Кв+Кор+Гр+ Хл+Пт+Кв
4 Боргатые се- годни	-	Аб+Лт+Эп	-	Би+Гр+Пор+Ли+Ка Иль+Кв	Би+Гр+Кум+Лан+ Кв

Рисунок 3. Результаты исследований биотитов из метаморфитов
Абхазии и Верхней Сванетии

3.1. Зависимость величины Ng от общей железистости

Светопреломление биотитов, как известно, находится в сложной зависимости от содержания минералообразующих компонентов, главным образом железа и титана. Отмеченный вопрос изучался многими авторами, поэтому существует большое число диаграмм отмеченных зависимостей для биотитов из различных генетических групп пород (Другова, Глобинский, 1965; Нориковский, 1967; Никитина, 1963; Сиротин и др., 1966; Соловьев, 1956; Хмарук, 1964; Ушакова, 1970; Усенко и др., 1972 и многие другие).

В.С. Соловьев впервые учел влияние второстепенных окислов на светопреломления биотитов и вывел диаграммы зависимостей ($Ng - F$ - железистость биотитов) для разных генетических типов пород. Он же, в свою очередь, показал, что наибольшее изменение показателя преломления связано с входением в минерал Fe_2O_3 в титан.

Необходимо отметить также и то, что в большинстве работ результаты являются для отдельных групп пород частные зависимости показателя преломления от общей железистости, хотя в последние годы А.В. Нербакова (1962), Т.Г. Хмарук (1954), С.И. Нориковского (1967), И.С. Усенко и др. (1972), Е.Н. Ушаковой (1971) отнесения отмеченных частных зависимостей $Ng - F$ обще от общетеоретических представлений связанные с химизмом биотитов содержащих магнетиты и Р-Т условиями их образования.

Е.Н. Ушакова (1971) для метаморфических биотитов рассмотрела зависимость состава и показателя светопреломления в свете корреляции с химизмом. По ее данным, наиболее существенные влияние (на показатели с параметрами - частная железистость, коэффициент окислов) на светопреломление биотитов оказывает общая железистость

$$\frac{Fe^{2+} + Fe^{3+} + Ti^{4+}}{Total} \cdot \frac{Mn^{2+} + Ti^{4+} + Mg^{2+}}{Total} \cdot 10^3 = 30.$$

И.С. Усенко и др. (1972) также отмечают зависимость величины Ng биотитов от общей железистости, однако в отличие от Е.Н. Ушаковой они ограничивают возможность входления титана и при расчете коэффициента железистости его не учитывают, если содержание меньше 2%.

Таким образом, рассматривая далеко не полный список литературных данных, приходим к выводу, что для выявления вышеотмеченных закономерностей важное значение имеет выбор коэффициента железистости и методика измерения показателя преломления.

В этом аспекте для 50 мономинеральных фракций биотитов из разных зон исследуемого нами региона мы вычисляли коэффициент общей железистости и по методу Е.Н.Ушаковой и по принципу И.С.Усенко и др. ($F_{общ.} = \frac{Fe^{2+} + Fe^{3+} + Mn}{Fe^{2+} + Fe^{3+} + Mn^{2+} + Mg^{2+}} \times 100\%$) и определили величины Ng , результаты которых сведены в табл.2, точность измерения находится в пределах от 0,001 до 0,011. Результаты нанесены на диаграмму (рис. I) в координатах $F_{общ.}$ - Ng , из которой хорошо видно, что биотиты из насыщенных (прямая I), недосыщенных (прямая II) K_2O метапелитов и из богатых CaO пород (прямая III) выявляют определенную закономерность. Так, биотиты из недосыщенных K_2O разновидностей метапелитов характеризуются высокими значениями Ng при постоянной железистости и их фигуративные точки (крестики на диаграмме) располагаются вблизи линии зависимости $F_{общ.} - Ng$, приведенной в работе И.С.Усенко и др. (1972). Биотиты из насыщенных K_2O метапелитов и из богатых CaO пород выделяются тем, что для них линии зависимостей проходят рядом и в некоторых случаях характеризуются низкими значениями показателя преломления (Ng). В основном биотиты из силиманитовой зоны и биотиты из лабинской серии выделяются тем, что для них величина коэффициента $F_{общ.}$ и Ng' колеблется в узких пределах и соответственно фигуративные точки (треугольники) скапливаются вместе, как бы создавая определенное поле. Аналогичные результаты получены нами и в случае расчета железистости без учета титана.

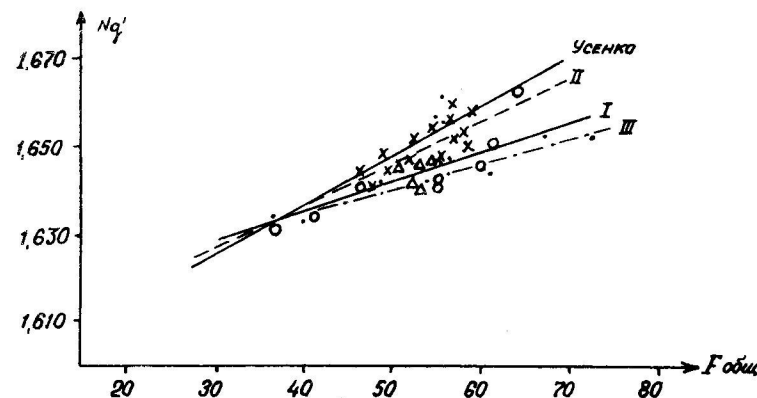


Рис. I. Зависимость Ng' и $F_{общ.}$ в биотитах:
I - биотиты из богатых CaO пород; II - биотиты из недосыщенных K_2O метапелитов; III - биотиты из насыщенных K_2O метапелитов

Таблица 2
Зависимость $F_{общ.}$ биотитов от величины Ng

№ обр	$F_{общ.}$ I	$F_{общ.}$ 2	$F_{общ.}$ 3	Ng 4
		Насыщенные K_2O метапелиты		
79-8		57,65	53,47	I,647
7-168		54,47	52,79	I,643
357		55,55	51,II	I,645
390		55,87	52,79	I,647
74-4		67,38	62,85	I,653
312		55,5I	51,97	I,652
346		56,44	54,07	I,658
314-3		53,49	49,I2	I,647
324-3		56,56	53,22	I,656
7-171		35,15	31,15	I,632
7-29		32,68	30,93	I,628
7-78		35,54	33,20	I,628
II8-4		36,77	31,90	I,635
337-3		55,60	49,89	I,662
II7-4		36,77	31,90	I,639
73-4		47,70	44,06	I,645
78-4		49,24	45,14	I,643
		Богатые CaO породы		
8-21		35,97	32,0I	I,632
8-65		41,06	36,27	I,635
243		46,16	43,89	I,641
247		60,48	58,48	I,647
263		50,77	48,70	I,640
10Г		55,84	52,87	I,644
13-4		61,64	58,58	I,650
II7-4		55,76	51,52	I,652
87-8		63,87	58,88	I,664
		Недосыщенные K_2O метапелиты		
353-3		55,88	53,10	I,649
336-3		56,92	53,40	I,654
8-65		47,22	44,25	I,641
6-4		59,67	57,32	I,659

1	2	3	4
525	57,65	55,10	I,661
376	56,09	51,43	I,665
21-4	56,14	52,63	I,657
312	55,51	51,97	I,656
318	50,69	47,52	I,653
317-3	49,79	43,21	I,645
632	52,93	49,89	I,647
375-3	58,30	55,34	I,651
529-3	49,79	46,90	I,650
262-3	42,63	40,89	I,633
10-4	46,83	44,46	I,645
Биотиты лампракской свиты			
136-3	53,44	50,50	I,645
103-3	51,48	49,07	I,646
171-3	52,53	51,21	I,645
173-3	53,28	50,55	I,641
1-42	52,38	50,00	I,643
170-3	55,23	52,77	I,647

Таким образом, рассмотренный нами материал позволяет сделать ряд выводов:

1. Показатель преломления изучаемых биотитов меняется от I,620-1,664.2. Использование коэффициента железистости с TiO_2 или без него не оказывает существенного влияния на характер зависимости $\Phi_{\text{общ.}}$ и Ng .

3. Полученные нами данные хорошо коррелируются с результатами эволюции двухвалентного железа в биотитах.

Изучение показало единственную связь между коэффициентом преломления и Ng . Капитановой (1965), в работе В.И.Ивановой и др. (1974) впервые была предложена констатация фиксируемых эффектов на основе термического анализа этой группы минералов. Согласно данным, приведенным в работе по термическому анализу этой группы минералов, коэффициенты пропускания излучения температурой эндотермических эффектов, которые у биотитов в флогопитех отмечаются в пределах 1000-1100°C, фиксируют дегидратацию, окисление железа и разрушение решетки. Поэтому регистрация термических характеристик слоя требует выполнения температурных экспериментов, что не всегда удается выполнить из-за технических причин (вопрос связан с разрешающей способностью зондирующих приборов). И, следовательно, добавим, что термограммы биотитов группы слайд не всегда идентичны. Они различаются соотношением основных эффектов, происходящих в минералах при нагревании, а также качеством компонентов, окисление железа и разрушение структуры.

Последовательность этих этапов и их температурные интервалы, а также энергетические характеристики отражаются на дифрактометрических кривых.

Исследование было проведено в лаборатории термического анализа отдела минералогии во Всесоюзном Геологическом институте (РГД, г.Москва), под руководством Генерального геологоминералога РСФСР Б.К.Касатки.

На приведенных термограммах (рис.2) хорошо видно, что эндотермический эффект, фиксируемый в исследованных образцах, максимум которого наложен на зону граната из насыщенных K_2O метапелитов эпизодика на 1150°C, то для этой же группы метапелитов, из насыщенных K_2O минералов из магнититовой зоны, величина эндозефекта равна 1170°C. Такая же разница выражается и для образцов из недосыщенных K_2O метапелитов: для зоны ставролита (рис.3-В) температура эндозефекта равна 1140°C, а для зоны силиманита - 1180°C. Таким образом, повышение степени метаморфизма ведет к смене эндозефекта, а вместе с ним дегидратации и разрушению структуры минерала в сторону новообразованной флогопитом для исследованных биотитов.

К сказанному добавим, что обр.35° (рис.2-1) соответствует флогопиту из насыщенных K_2O метапелитов, где который, согласно с эндотермическим пиком четко фиксируется изотермической точкой при 320°C. По данным В.И.Ивановой и др. (1974), это соответствует флогопиту.

Полученный результат согласуется с данными соответствующими

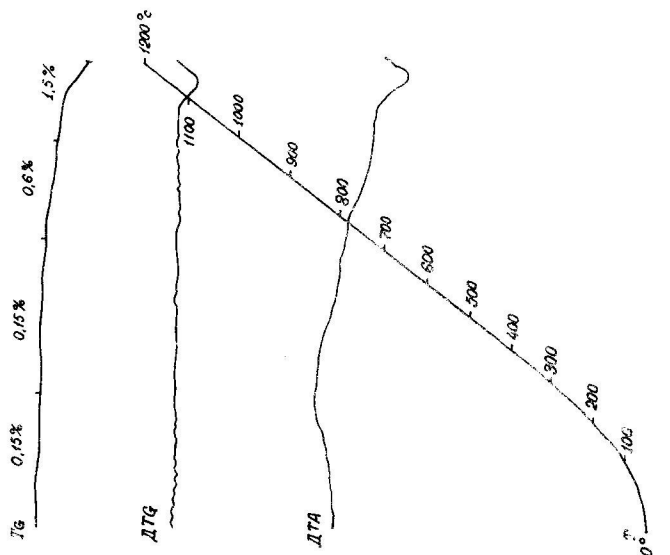


Рис. 2-А. Характерная термограмма биотита из зоны насыщенного K_2O метапелитового гнейса.

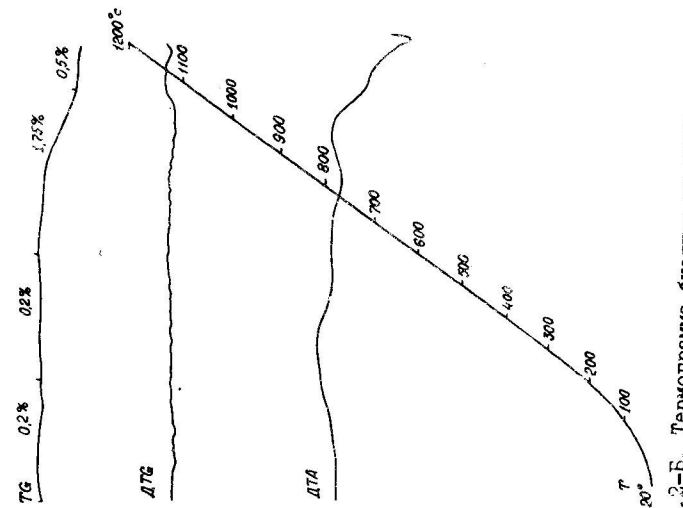


Рис. 2-Б. Термограмма биотита из зоны насыщенного K_2O метапелитового гнейса.

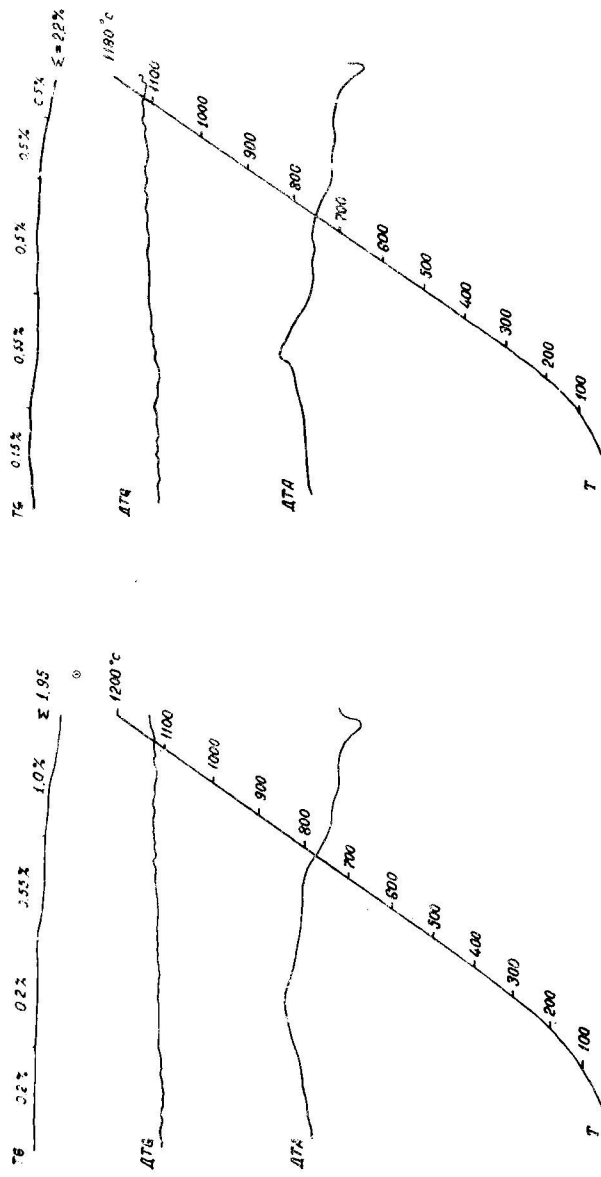


Рис. 2-С. Термограмма биотита зоны ставролита. Недосыщенные K_2O метапелиты



Рис. 2-Д. Термограмма биотита зоны силиманита. Недосыщенные K_2O метапелиты

химическим составом изученного биотита (соотношение Mg/Fe^{2+} в единичном образце равно 2,22 и указывает на присутствие большого количества магнитоподобного минерала). Это ложный тезис показывает иррациональность выводов о том, что при повышенной степени метаморфизма биотиты в некотором представлении метаморфизм редок, когда-то имел место широкий феномен флюктуации минералов.

3.3. ИК-спектроскопия биотитов

Исходя из положения, что химический состав и кристаллохимическое расположение элементов в структуре трехкоординационных слюд определяют физические свойства этой группы минералов, многие авторы используют различные физические методы исследования, позволяющие получать объективные критерии, позволяющие судить о внутреннем строении минерала. В этом отношении ИК-спектроскопия наряду с другими является достаточно объективным и информативным методом исследования биотитов и позволяет достаточно четко распознавать положение и вид протонных группировок, входящих в структуру данного минерала. Так охарактеризованы ИК-спектры трехкоординационных слюд в работах В.Струбачана и Р.Рол (1964), В.Веддер и др. (Wadding et al., 1964) И.Шоссона (Shossan, 1970), В.Фармера (Farmer, 1974), И.И.Павличина и Т.А.Капитонова (1972), И.И.Плюснина (1967), О.В.Ошерович и Е.П.Никитина (1975), М.С.Скосырева и др. (1982), В.И.Павличина и др. (1978), Е.В.Власова и Е.И.Доломонова (1980), Д.А.Архипенко (1963), И.Л.Зорина и др. (1978) и других.

Как известно, ИК-спектры биотита имеют две интенсивные полосы поглощения - 1000 и $400-500 \text{ cm}^{-1}$, соответственно сопровождающие валентные и деформационные колебания Si-O связей. Слабые полосы поглощения в биотитах варьируются в областях $600-650 \text{ cm}^{-1}$ и $700-730 \text{ cm}^{-1}$ и их относят к колебаниям Fe-OH и Al-O; кроме того, в некоторых биотитах наблюдаются слабые полосы поглощения в области 3520 cm^{-1} для связей Mg-Fe-OH, Fe-Al-OH.

В.Фармер (Farmer, 1974) отмечает, что для флюгоптических валентные колебания в области 3580 и 3620 cm^{-1} отвечают, соответственно Al, Fe и Mg, Fe связям. Он же отмечает что наибольшая возможная частота δ , Si-O в биотитах от 465 до $455-450 \text{ cm}^{-1}$ связана с уменьшением роли трехвалентных катионов в октаэдрической подструктуре и возрастанием связей $B^{3+}-O-Si$.

М.В.Скосырева и др. (1982) обнаруживает связь между полосами поглощения в биотитах в области $615-650 \text{ cm}^{-1}$ и соотношением Fe^{2+}/Fe^{3+} в уединении полосы 605 cm^{-1} с привлечением кальция и алюминия. Полоса 3520 cm^{-1} связана с Mg/Fe^{2+}

cm^{-1} , по их мнению, свидетельствует о гидратации или вермикуляции биотитов.

Для магнитоподобных флюгоптических биотитов из-за существования транс- и присоединенных ионов И.В.Власова и Е.И.Доломонова (1980) отмечают присутствие полосы поглощения $\chi \text{ cm}^{-1} = 3710$ и 3660 cm^{-1} . Они же указывают на то, что при железистости выше 30 спектр резко меняется и появляется вначале дополнительная группа полос при $3630-3540 \text{ cm}^{-1}$, интенсивность которой становится преувеличивающей при железистости биотита - 54-98%. По мнению этих авторов, на картину ИК-спектра вовлеченная существенную роль оказывает ряд факторов.

1. В трехкоординационных слюдах, где он принадлежит трем октаэдрам, изоморфизм катионов в них оказывает существенное влияние на колебание OH: чем меньше степень ионности связи катион-кислород, тем ниже частота валентного колебания OH.

2. Структура тетраэдрического слоя. Возникающие между OH и ионами кислорода тетраэдрического слоя водородные связи понимают частоту δ OH. Заметную роль в этой ситуации должен играть такой структурный фактор, как нарушение симметрии гексагонального кольца тетраэдрического слоя вследствие входления Al в тетраэдры, причем должна быть исключена возможность упорядоченного замещения Si - Al. Это может привести к расщеплению полосы валентных колебаний OH на систему составляющих, а в ряде случаев - к расширению полосы.

3. Положение и свойство межслоевых катионов. Роль их должна быть особенно существенна в трехкоординационных слюдах, где они, с одной стороны, закрывают гексагональную пустоту, испытывая силы притяжения к кислородам с некомпенсированными валентностями, а с другой стороны отталкиваются от протонов OH группы и в силу этого более мобильны.

И.Л.Зорина и др. (1978) отмечает, что изменения химического состава по железу и магнию, столь существенные для биотитов, должны прежде всего найти отражение в изменении валентных и деформационных колебаний Si-O связей. Однако, несмотря на широкие пределы замещения Fe^{2+} на Mg, ими не было выявлено закономерного смещения ни одной из полос поглощения, что, возможно, объясняется компенсирующим влиянием различных ионов, изоморфно входящих в решетку кремнекислородных связей. Этим авторы отрицают возможность выявления изменения деформационных колебаний в области $400-500 \text{ cm}^{-1}$ соотношения Fe/Mg , отмеченное в работах Д.К.Архипенко (1964, 1967).

В.И.Павличин (1983), анализируя полученные результаты по ИК-спектрам биотитов, приходит к выводу, что полоса поглощения в области частот $600-800 \text{ cm}^{-1}$ выявляет связь не только с составом тетраэдрического слоя, но и с его структурным состоянием, в частности она зависит от распределения силиция и алюминия, а также их изоморфных катионов - в первую очередь титана и трехвалентного железа.

ИК-спектроскопическому исследованию биотитов из метаморфитов Абхазии и Верхней Сванети подвергнуто 35 монофракций, охватывающих разные зоны как насыщенных и недосыщенных K_2O метапелитов, так и богатых CaO пород.

Частоты основных полос поглощения приведены в табл.3, а на рис.3 даются характерные ИК-спектрограммы для некоторых образцов. Эксперименты проводились в основном в лаборатории атомно-адсорбционного анализа в Геологическом институте под руководством Т.Г.Гвардия.

Результаты проведенных исследований сводятся к следующему.

1. Для биотитов исследуемого региона характерны полосы поглощения в области 465–470 и 1000 cm^{-1} , что хорошо согласуется с теоретическими данными, указывающими на валентные и деформационные колебания Si-O связей.

2. Полоса поглощения в области 680 – 705 cm^{-1} выявляет связь состава тетраэдрического слоя и структуры, которая в основном зависит от распределения Si и Al_{IV} . Однако вариация частоты в данном интервале указывает и на изоморфное вхождение в тетраэдры других элементов. По данным химического состава исследованных образцов и по коэффициентам корреляции между Si и Ti выявлено вхождение Ti

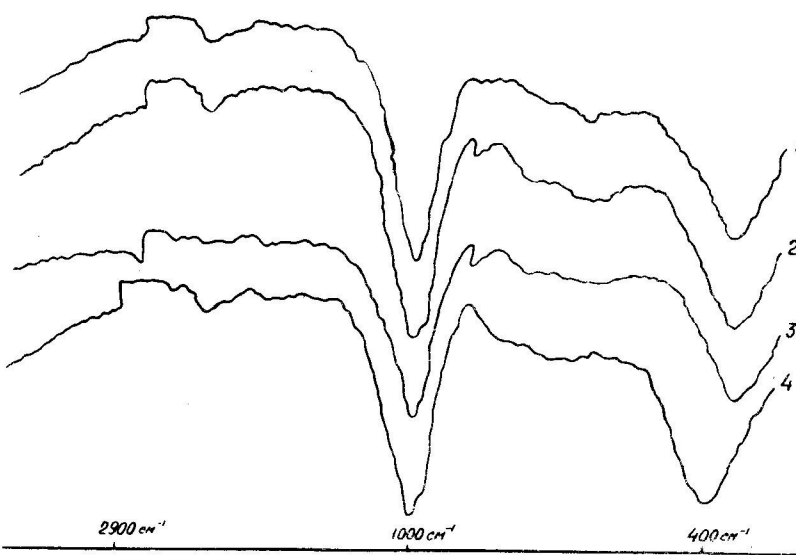


Рис.3. Характерные ИК-спектрограммы биотитов

и структуру тетраэдрического слоя. Таким образом, смещение полос поглощения в отмеченных областях дает нам основание полагать, что отмеченное явление в первую очередь связано с появлением Ti в структуре тетраэдрического слоя.

3. Кроме основной частоты поглощения на 1000 cm^{-1} для исследуемых образцов, на ИК-спектрограммах нередко появляется и плеcho в интервале 980 – 985 cm^{-1} , которое свидетельствует о заниженной роли Al_{IV} в тетраэдрах, что в данном случае лишний раз доказывает повышенную активность и компенсирующее воздействие Ti в тетраэдрах.

4. Характерными для биотитов из насыщенных K_2O метапелитов являются слабые полосы поглощения в области 440 cm^{-1} , что, по данным В.Фармера (Farmer, 1974), является повышением роли трехвалентных катионов в октаэдрической позиции и указывает на возрастание Al^{+4} -O-Si связей. В нашем конкретном случае такую роль играет Al_{IV} поскольку биотиты отмеченной группы характеризуются высоким содержанием Al, что вызвано высвобождением из тетраэдрической позиции Al_{IV} , который прочно занимает свое место в тетраэдрах.

5. Изоморфизм пары Fe^{2+} и Mg^{2+} , столь существенный для исследованных образцов, не дает соответствующих эффектов на ИК-спектрограммах, что, видимо, объясняется компенсирующим влиянием различных двухвалентных ионов, входящих вместе с Fe и Mg^{2+} в тетраэдры.

3.4. Общее представление о составе триоктаэдрических слюд – биотитов

Как известно, химический состав природных слюд достаточно сложен. Они принадлежат к слоистым алюмосиликатам с минеральным содержанием дополнительных анионов (OH, F) (Соболев, 1949). Общий состав минералов группы слюд выражается формулой $X_2Y_4\text{--}6Z_8O_{20}$ (OH, F). Тетраэдрическую группу (z) составляют Si и Al_{IV} , в более редких случаях встречаются Fe³⁺ и Ti, октаэдрическую же (Y) – Al_{IV} и Al^{+3} , Mg, Mn, Li, а также в незначительных количествах Ti, Mn, Li, V, Cr и другие элементы. В группе межслоевых катионов (x) главную роль играют K, Na и Ca (хрупкие слюды). Группа дополнительных анионов, кроме гидроксила и фтора, может содержать также некоторое количество хлора и в более редких случаях – кислорода (Соболев, 1949).

Для интерпретации химического состава слюд наибольшее значение имеют замещения в октаэдрической группе катионов (Гинзбург, Берлин, 1953; Foster, 1960¹, 1960²), в которой в общем случае заполнение октаэдрической позиции меняется от двух до трех в пересчете

ГИДРОГЕОХИМИЧЕСКИЕ ПОТЕНЦИАЛЫ МИГРАЦИИ РАДИОАКТИВНЫХ ИОНОВ (ОН, О⁻)

№ 999.	% SiO ₂	Al ₂ O ₃ + Si ₂	Al ₂ O ₃	Si ₂ O ₅	Si ₂ O ₅	Fe ²⁺ Fe ³⁺	Fe ²⁺ Al ₂ O ₃	Fe ²⁺ Al ₂ O ₃	Mg ₂ -Al ₂ O ₃	Mg ₂ -Al ₂ O ₃
Биотитовые габброиды										
79-8	440	-	700	1780	980	1000	3400	-	3590	3620
116-4	-	465	-	700	770	-	3400	3560	3590	3650
A-30	-	465	-	700	790	980	3000	-	3550	3650
7-129	-	465	-	685	770	980	1000	-	-	-
8-34	-	465	-	720	800	980	1000	-	3550	3630
795-3	-	470	-	790	-	980	1000	-	3595	-
8-35	-	470	-	675	770	-	3400	3560	3590	3650
40	-	465	-	675	780	980	1000	3400	3560	3660
265	-	465	-	-	-	-	1000	3515	-	-
9-26	-	470	-	705	775	-	1000	-	-	-
7-168	-	465	-	700	780	-	1000	3400	-	3650
7-102	-	465	-	700	775	980	1000	3420	-	-
6-23	-	465	-	695	780	-	1000	3420	3535	3550
7-104	-	470	-	700	-	-	1000	-	-	-
287-C	-	470	-	-	-	-	-	-	-	-

№ 999.	% SiO ₂	Al ₂ O ₃ + Si ₂ O ₅	Al ₂ O ₃	Si ₂ O ₅	Si ₂ O ₅	Fe ²⁺ Fe ³⁺	Fe ²⁺ Al ₂ O ₃	Fe ²⁺ Al ₂ O ₃	Mg ₂ -Al ₂ O ₃	Mg ₂ -Al ₂ O ₃
Магнетитовые габброиды										
795-3	-	470	-	670	785	-	1000	-	3590	-
6-240	-	665	-	635	685	780	300	3430	3590	3630
7-140	-	665	-	705	-	-	1000	-	3590	-
255	-	665	-	700	-	980	1000	-	-	-
7-143	-	670	-	705	-	-	1000	-	-	-
7-142	-	665	-	705	780	-	280	1000	3590	3620
7-153	-	665	-	705	780	-	980	1000	-	-
7-144	-	670	-	705	770	-	1000	-	-	-
11-222	-	670	-	705	-	-	1000	-	-	-
74	-	670	-	700	-	-	1000	-	-	-
75	-	670	-	720	-	-	1000	-	3550	3620
76-3	-	665	-	700	-	-	-	-	3590	3620
3-28	-	665	-	-	-	-	-	-	3560	3650

вероятностной одномерированной системе упорядоченных событий было решено по градусосы. Классовой интервал (Δ) выражал для каждого элемента отдельно во формуле $\Delta = \frac{t_{\max} - t_{\min}}{k}$, где t_{\max} максимальное значение элемента в ф.е., а t_{\min} — минимальное, k — число образцов. С помощью классовой интеграла для химических анализов мономинеральных фракций биотитов были получены основные статистические величины: среднеарифметическое число (\bar{x}), стандартное отклонение (s), квартильный коэффициент асимметрии (A_3) и полукувантитативное склонение (E).

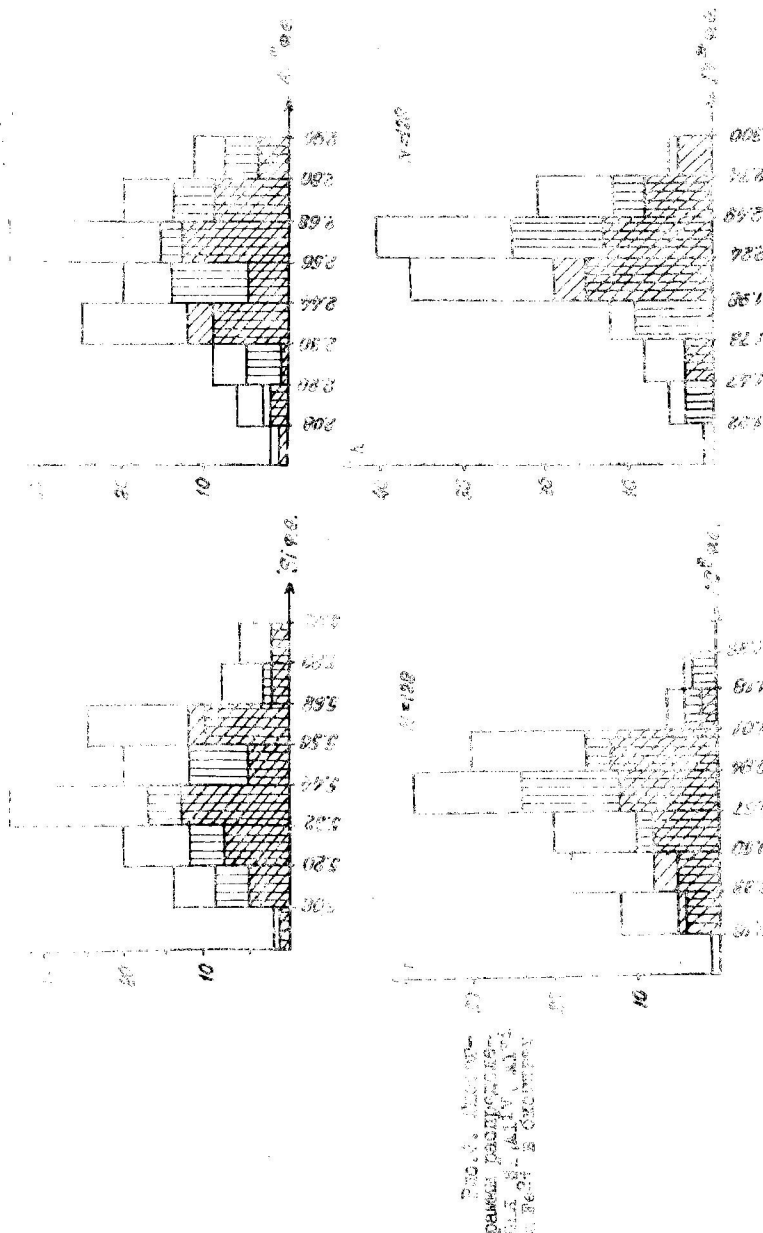
3.5. Химический состав биотитов

При разработке данного раздела во внимание привлеклась работа Е.Н.Ушаковой (1971), в которой на богатом фактическом материале (по набору химических анализов метаморфических биотитов) приводятся сжатые ценные данные как по статистическому распределению так и по корреляционному анализу отдельных химических элементов в биотитах из разных парагенетических типов пород. В отмеченной работе для отбора доброкачественных анализов и систематизации данных строятся гистограммы распределения содержаний главных кристаллохимических и других физических параметров биотитов. Отклонения каких-либо характеристик от принятых норм распределения служили автору основанием для их отбраковки.

Гистограммы распределения были построены как для суммарного количества образцов ($n = 128$), так и для биотитов каждого группы: вмещающих, подошвенных K_2O метапеллитов (рис.4) и для бедных K_2O пород (рис.5). Основные статистические величины состава изучаемых биотитов, проверенные по критериям Фишера и Стьюдента, приведены в табл.4. Характеристику распределения элементов удобно рассмотреть в виде гистограмм кристаллохимической формулы, поскольку она отражает распределение состава и определяет роль каждого элемента и его координационной структуры. Поэтому в первую очередь рассмотрим распределение кремния в тетраэдрической группе, состоящей из Si и Al_{IV} .

Кремний (Si). Содержание кремния в кристаллохимическом составе биотитов из метаморфитов Абхазии и Верхней Сванетии колеблется в пределах от 5,08 до 5,92 ф.е.

В целом распределение этого элемента носит сложный характер, что выражается раздвоением максимумов на гистограммах как для общего суммарной выборки, так и для совокупности образцов из зеленых K_2O метапеллитов. Расщепление максимумов в обеих случаях выявляется на интервалах 5,32-5,44 ф.е. и 5,56-5,68 ф.е. Для же общего состава биотитов из насыщенных K_2O метапеллитов и из богатых CaO



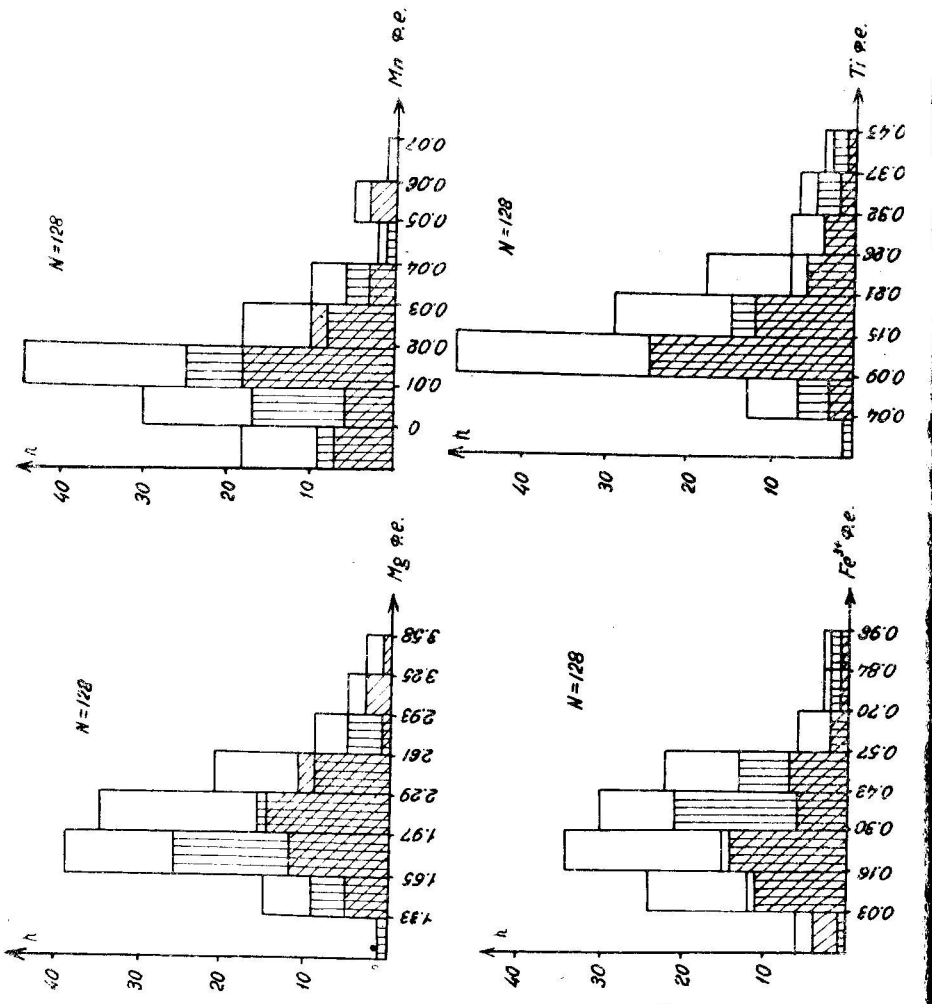
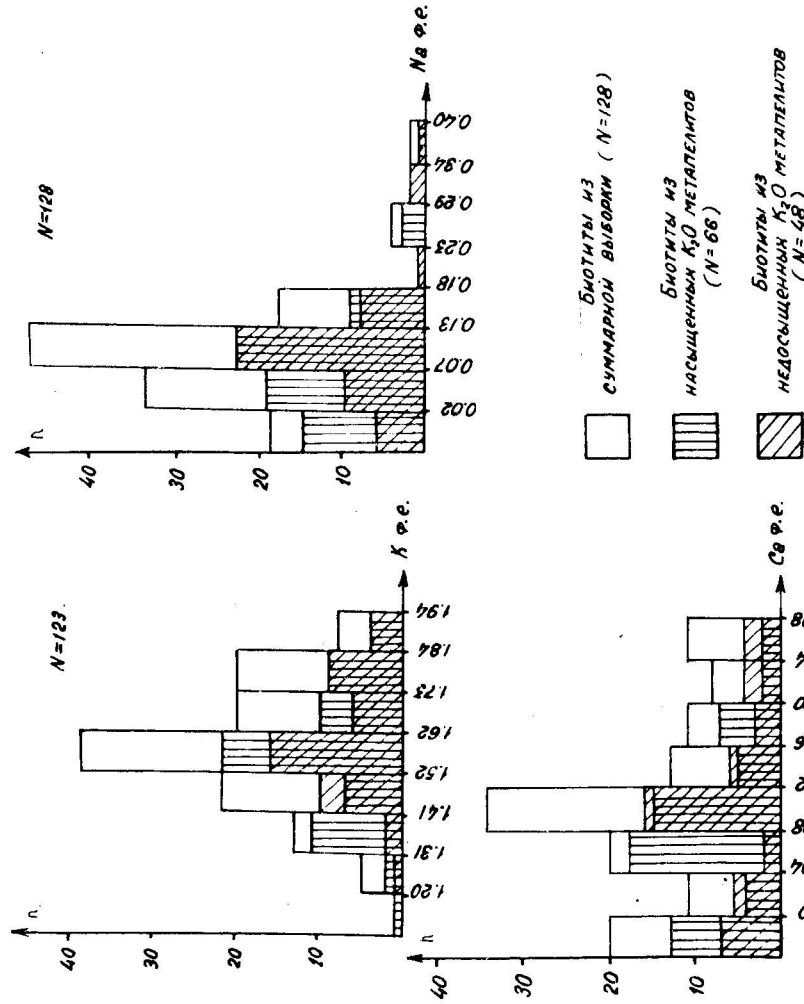


Рис. 4. (Продолжение). Гистограммы распределения Mg , Mn , Fe^{3+} и Ti в биотитах



З. И. Ушевелидзе

Таблица 4

Основные статистические величины

Элементы	\bar{x}	s	As	E
----------	-----------	---	----	---

Суммарная (n = 128)

Si	5,46	0,19	0,15	-0,43
Al _{1V}	2,54	0,19	-0,16	-0,46
Al _{V1}	0,70	0,21	-0,16	-0,72
Fe ²⁺	2,21	0,29	-0,65	0,51
Mg ²⁺	2,10	0,29	1,34	2,09
Mn	0,02	0,01	1,43	2,31
Fe ³⁺	0,35	0,20	1,12	1,57
Ti	0,18	0,10	1,04	0,69
K	1,58	0,15	0,06	0,02
Na	0,12	0,08	0,81	0,30
Ca	0,13	0,11	0,82	0,31

Насыщенные (n = 56)

Si	5,42	0,18	0,38	-0,42
Al _{1V}	2,58	0,18	-0,38	-0,42
Al _{V1}	0,79	0,22	-0,15	0,25
Fe ²⁺	2,18	0,29	-1,11	0,85
Mg	1,92	0,28	0,80	1,06
Mn	0,02	0,01	0,72	-0,14
Fe ³⁺	0,37	0,19	1,14	2,71
Ti	0,19	0,09	0,78	-0,27
K	1,61	0,14	0,08	-0,24
Na	0,08	0,07	2,37	6,81
Ca	0,11	0,11	0,87	0,11

Недосыщенные (n = 48)

Si	5,45	0,20	0,37	-0,44
Al _{1V}	2,55	0,20	-0,38	-0,45
Al _{V1}	0,69	0,22	-0,35	-0,64
Fe ²⁺	2,28	0,28	-0,34	0,74
Mg ²⁺	2,12	0,42	0,82	0,73
Mn ²⁺	0,02	0,01	1,21	1,07
Fe ³⁺	0,28	0,19	0,94	0,72
Ti	0,19	0,07	1,08	0,76
K	1,62	0,15	0,14	-0,24
Na	0,11	0,06	1,99	4,38
Ca	0,13	0,11	0,76	0,14

Элементы	\bar{x}	s	As	E
Лабинская серия (n = 10)				
Si	5,41	0,23	0,87	0,38
Al _{1V}	2,59	0,23	-0,87	0,38
Al _{V1}	0,67	0,36	1,16	1,14
Fe ²⁺	2,28	0,40	-0,66	-1,28
Mg ²⁺	2,43	0,33	-0,97	0,13
Mn	0,04	0,02	0,93	-1,11
Fe ³⁺	0,27	0,27	1,94	2,62
Ti	0,12	0,09	-0,21	-0,26
K	1,35	0,09	0,85	1,16
Na	0,12	0,07	0,42	-0,21
Ca	0,09	0,09	-0,23	-1,26
Богатые CaO породы (n = 14)				
Si	5,58	0,24	1,02	0,64
Al _{1V}	2,41	0,24	-0,91	0,31
Al _{V1}	0,51	0,29	1,11	0,57
Fe ²⁺	1,99	0,51	0,27	-0,76
Mg	2,55	0,60	0,14	-1,21
Mn	0,02	0,01	0,87	-0,99
Fe ³⁺	0,33	0,18	0,34	-0,56
Ti	0,15	0,07	0,35	-1,35
K	1,55	0,17	-0,26	-0,71
Na	0,17	0,08	2,98	7,30
Ca	0,20	0,10	0,60	0,61

пород, то для них распределение кремния в основном отвечает нормальному закону.

Среднее содержание данного элемента показывает величину для суммарной выборки $\bar{x} = 5,46$ ф.е., а коэффициент стандартного отклонения равен $s = 0,19$. Интересно, что для биотитов из метапелитовых пород характерно среднее значение \bar{x} , близкое к суммарной выборке, тогда как биотиты из богатых CaO пород тяготеют к высокому содержанию данного элемента и показывают величину $\bar{x} = 5,58$ ф.е.

Алюминий. В тетраэдрической позиции кроме кремния основную роль играет и Al^{1V}, распределение которого во всех проанализированных нами случаях ничем не отличается от поведения Si. Интервал колебаний этого элемента находится в пределах теоретических значений и меняется от 2,08 до 2,90 ф.е. при $\bar{x} = 2,54$ ф.е. На гис-

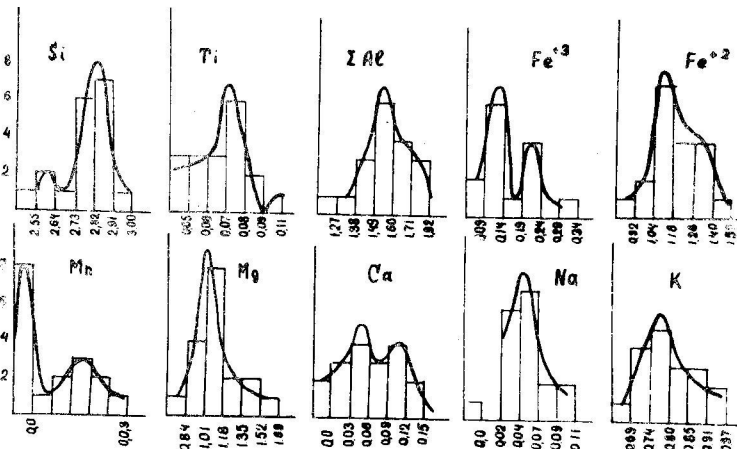


Рис.5. Гистограммы распределения элементов состава биотитов (формульных единиц) из богатых CaO пород

тограммах распределения (см.рис.4) четко видно расчленение максимумов значений Al_{IV} . Для суммарной выборки и для биотитов из недосыщенных K_2O метапелитов оно соответствует величинам 2,30–2,44 ф.е. и 2,56–2,68 ф.е.

В интервале колебаний Al_{IV} от 2,44 до 2,56 ф.е. располагаются биотиты в основном из насыщенных K_2O метапелитов.

Биотиты же из богатых CaO пород ($\bar{x} = 2,41$ ф.е.) и образцы из насыщенных K_2O метапелитов ($\bar{x} = 2,58$ ф.е.) показывают тенденцию, отвечающую нормальному закону распределения.

Распределение содержания Al_{VI} в октаэдрической позиции во всех случаях дает идентичную картину и отвечает нормальному закону, хотя его содержание в кристаллохимическом составе биотитов колеблется в широких пределах – от 0,16 до 1,36 ф.е. (см.рис.4).

По распределению содержания Al^{VI} группы биотитов выделяются из насыщенных K_2O метапелитов, которые показывают более высокое значение коэффициента средних значений $\bar{x} = 0,79$ ф.е., чем биотиты из остальных генетических групп.

Особенно следует подчеркнуть, что среднее содержание данного элемента в биотитах из недосыщенных K_2O метапелитов показывает величину $\bar{x} = 0,69$ ф.е.; оно ниже, чем у вышеотмеченной группы и выше, чем у биотитов из метапелитов лабинской серии лаштракской свиты ($\bar{x} = 0,67$ ф.е.) и для биотитов из богатых CaO пород ($\bar{x} = 0,51$ ф.е.). Данное явление хорошо согласуется с тем соображением, которое допу-

скает уменьшение количества этого элемента в структуре биотитов в связи с увеличением степени и температуры метаморфизма (Великосоловский, 1965; Кориковский, 1964; Ушакова, 1971).

В построении октаэдрической позиции биотитов основную роль играют двухвалентное железо (Fe^{2+}) и Mg. По содержанию и распределению этих элементов во многом определяют кристаллохимическое название данного минерала.

Железо (Fe^{2+}). Содержание Fe^{2+} в кристаллохимическом составе биотитов меняется от 1,22 ф.е. до 3,00 ф.е. Среднее значение содержания данного элемента равно $\bar{x} = 2,21$ ф.е. Распределение в основном подчиняется нормальному закону, хотя на гистограмме распределения Fe^{2+} (см.рис.4) хорошо видно логнормальное усечение для группы биотитов из недосыщенных K_2O метапелитов.

Большинство анализов из суммарного количества показывает колебания величины Fe^{2+} в пределах от 1,98 ф.е. до 2,49 ф.е. (коэффициент стандартного отклонения $S = 0,29$ ф.е.). На гистограмме в зоне высоких значений содержания Fe^{2+} располагаются биотиты из зон биотита, граната и отчасти ставролита насыщенных K_2O метапелитов, а также биотиты из зоны ставролита недосыщенных K_2O метапелитов. Левое крыло гистограммы, т.е. в зоне низких значений распределения Fe^{2+} , составляют образцы из зоны мигматита как насыщенных, так и недосыщенных K_2O разновидностей метапелитов и биотиты из богатых CaO пород.

Магний. Распределение магния в кристаллохимическом составе биотитов из метаморфитов изученного региона, по сравнению с двухвалентным железом, во всех совокупностях подчиняетсяциальному закону. Содержание его колеблется в пределах от 1,33 ф.е. до 3,58 ф.е. при коэффициенте средних значений $\bar{x} = 2,10$ ф.е. Интервал колебаний наиболее часто встречающихся величин находится в пределах 1,80–2,40 ф.е. (коэффициент стандартного отклонения $S = 0,29$). В распределении содержания магния наблюдается обратная, чем у распределения двухвалентного железа, тенденция и выражается в том, что правое крыло гистограммы (см.рис.4) в основном составлено образцами из богатых CaO пород и биотитами из зоны мигматита недосыщенных K_2O метапелитов. Для вышеотмеченных групп среднее содержание Mg равно $\bar{x} = 2,55$ ф.е. и $\bar{x} = 2,73$ ф.е. соответственно.

Марганец. Марганец – один из немногих элементов биотита, распределение которого соответствует закону Пуассона. Оно хорошо выражено на гистограммах (см.рис.4 и 5) распределения содержания данного элемента, показывающих во всех случаях картину, ограниченную слева.

Содержание марганца в биотитах, как известно, представляет собой почти постоянную примесь к кристаллохимическому составу, так

как оно меняется в незначительных количествах. Отметим, что в исследованных нами образцах его содержание меняется от 0 до 0,07 ф.е., 18 биотитов вовсе лишены магния, а в 74 анализах его содержание меняется от 0,01 до 0,02 ф.е.

Железо (Fe^{3+}). О содержании трехвалентного железа в биотитах из метаморфических пород у исследователей нет единого мнения. Считается, что определение Fe^{3+} методами химического анализа связано с большими погрешностями. Е.Н.Ушакова (1971) при определении колебаний значения Fe^{3+} в биотитах пришла к выводу, что при доброкачественном анализе содержание Fe^{3+} не должно превышать 0,35 ф.е. из расчета на 12 - 0.

Анализируемые нами биотиты из метаморфитов Абхазии в Верхней Сванети в основном дают колебания значений содержания Fe^{3+} в рамках допустимого, обрезаются только правые края гистограмм (см.рис. 4) от 0,70 ф.е. до 0,98 ф.е., всего 6 анализов. Это в основном биотиты из насыщенных K_2O метапелитов зоны мигматита и биотиты из лаштракской свиты лабинской серии. Характерно, что биотиты из недосыщенных K_2O метапелитов по распределению этого элемента подчиняются логнормальному закону, тогда как во всех остальных случаях оно носит принцип, соответствующий закону нормального распределения.

Титан. Распределение титана (см.рис.4 и 5) в биотитах во всех совокупностях подчиняется нормальному закону, хотя колебание величины его содержания происходит в широких пределах от 0,04 до 0,43 ф.е. при коэффициентах $\bar{x} = 0,18$ и $S = 0,10$ ф.е.

Калий. В кристаллохимическом составе биотитов из межслоевых катионов основную роль играют распределения калия. Его содержание в исследованных образцах меняется от 1,20 до 1,94 ф.е. ($\bar{x} = 1,58$ ф.е. $S = 0,15$ ф.е.).

На гистограмме (см.рис.4) для суммарной выборки хорошо видно, что распределение данного элемента подчиняется нормальному закону. Что же касается совокупности биотитов из метапелитовых пород, то для них характерно раздвоение максимумов на гистограммах в пределах 1,31-1,41 ф.е. и 1,52-1,62 ф.е., которое дает основание считать их распределением, отвечающим логнормальному закону. В среднем наиболее низкое содержание калия зафиксировано в образцах из богатых CaO пород ($\bar{x} = 1,55$ ф.е.).

Натрий. Распределение натрия во всех случаях в основном подчиняется закону нормального усечения. Условно обрезается только правый край гистограммы (см.рис.4 и 5), соответствующий величине колебаний от 0,23 ф.е. до 0,40 ф.е.

Среднее значение натрия в суммарной выборке равно $\bar{x} = 0,12$ ф.е. Выделяются биотиты по этому показателю из богатых CaO пород, показывающие величину $\bar{x} = 0,17$ ф.е. при коэффициенте стандартного откло-

нения $S = 0,08$ ф.е.

Кальций. Содержание этого элемента в биотитах меняется в широком интервале от 0 до 0,28 ф.е. В 20 анализах встречаются бескальциевые биотиты, что и повлияло на характеристику распределения данного элемента в биотитах изучаемого региона. Как и в случае марганца, гистограммы (см.рис.4 и 5) его распределения ограничены слева и отвечают закону Пуассона. Вторая часть гистограммы, от интервала колебаний значения Ca от 0,04 ф.е., показывает тенденцию логнормального распределения. Среднее содержание Ca в суммарном количестве анализов равно $\bar{x} = 0,13$ ф.е. при стандартном отклонении $S = 0,11$. Выделяются биотиты из богатых CaO пород, показывающие высокое значение содержания данного элемента: $\bar{x} = 0,20$ ф.е. при $S = 0,10$ ф.е.

В целом, суммируя данные статистического распределения кристаллохимических элементов в биотитах из метаморфитов Абхазии и Верхней Сванети, можно заключить, что основные члены состава в большинстве случаев носят характер нормального распределения и хорошо согласуются с литературными данными. Некоторые отклонения от вышеотмеченного в первую очередь связаны с генетическими особенностями биотитсодержащих метаморфитов и являются следствием разнообразного характера факторов минералообразования.

3.5.1. Корреляция химического состава биотитов

В биотитах, как уже отмечалось, хорошо развит изоморфизм во всех катионных позициях, вследствие чего в них выделяют и различные схемы изоморфных замещений. Однако все эти схемы носят в основном теоретический характер, что не всегда находит свое отражение в кристаллохимическом составе минерала. В этом отношении в последнее время с применением методов математической обработки данных кристаллохимического состава, в основном по методу парных коэффициентов корреляции, намечаются определенные сдвиги.

В работах А.Вистелиуса, О.Сарманова (Wistelius, Sarmano, 1961) и В.Вебба, И.Бриггса (Webb, Brigg, 1966) дана характеристика определенных связей в биотитах между катионами октаэдрической позиции. Так, ими выявлены отрицательные связи между Fe^{2+} и Mg^{2+} , Ti^{4+} и Mg , Fe^{3+} и Mg , и положительные - между Fe^{3+} и Al^{3+} , Ti^{4+} и Fe^{2+} , K и Al^{4+} . Эти данные позволяют судить о том, что в октаэдрической позиции осуществляются две серии замещений: $R^{3+} \longleftrightarrow R^{2+}$ и $R^{3+} \longleftrightarrow R^{2+}$ при ограниченности изоморфизма $3R^{2+} \longleftrightarrow 2R^{3+}$.

Е.Н.Ушакова (1971), характеризуя корреляционные связи в биотитах из разных типов метаморфических пород, наряду с существованием вышеупомянутых зависимостей, отмечает наличие более сложных изомор-

фных замещений между различными ионами, которые присутствуют в разных структурных позициях.

Опираясь на приведенные факты, рассмотрим полученные результаты корреляционного анализа кристаллохимического состава биотитов из метаморфических пород Абхазии и Верхней Сванети, представленные как суммарной выборкой метапелитов (табл.5 и II), так и совокупностями образцов из насыщенных и недосыщенных K_2O метапелитов (табл.5-15) и богатых CaO пород (табл.16).

Расчеты были выполнены в лаборатории компьютеризации Геологического института АН Грузии под руководством кандидата химических наук В.И.Миндина.

Рассматривая корреляционную зависимость элементов четверной координации, следует отметить, что все изоморфные члены (Al^{3+} , Ti^{3+} и Fe^{3+}) должны обнаруживать отрицательную связь с кремнием.

Как видно из табл.5-16, полученные результаты лишний раз убедительно доказывают, что в четверной координации для всех без исключения выборок имеется отрицательная связь Si и Al_{IV} , причем связь очень сильная, на что указывает высокий коэффициент корреляции между этими ионами: $r_{Si, Al} = 1,00$.

Роль титана в структуре слюд рассматривалась многими авторами, определившими его различное поведение, что выразилось в нахождении титана как в октаэдрической, так и в тетраэдрической или одновременно в обеих позициях.

Что же касается биотитов метаморфических пород, то, согласно Е.Н.Ушаковой (1971), на основании частных коэффициентов корреляции между ионами четверной координации, при постоянном алюминии, связь между Si и Ti отсутствует.

Результаты корреляционного анализа кристаллохимического состава биотитов Абхазии и Верхней Сванети не подтверждают высказывания Е.Н.Ушаковой, а убедительно доказывают, в большинстве совокупностей, корреляцию отрицательным знаком между Si^{4+} и Ti^{4+} . Данное обстоятельство, с определенной долей вероятности, позволяет предположить, что в тетраэдрической позиции, кроме вышеотмеченной зависимости между Si^{4+} и Al^{4+} существует и изовалентное замещение типа $Si^{4+} \rightarrow Ti^{3+}$.

О роли трехвалентного железа в тетраэдрической позиции нет каких-либо определенных данных. Ряд авторов отрицают возможность замещения типа $Si^{4+} \rightarrow Fe^{3+}$ (В.С.Соболев, 1949), другие же доказывают существование изоморфизма по отмеченной схеме (О.М.Римская-Корсакова, С.П.Соколова, 1964; Saxena, 1967). Кроме того, существует мнение, что все виды взаимоотношений между катионами кремнекислородных тетраэдров должны выступать в тетраэдрических слюдах с низким содержанием глиноzemа и высоким содержанием Fe^{3+} , а все катионы

Таблица 5

Коэффициенты корреляции r между содержаниями главных элементов в биотитах

Насыщенные K_2O метапелиты (n = 56)

Элементы	I	2	3	4	5	6	7	8	9	10	II
	Si	Al_{IV}	Al_{VI}	Fe^{2+}	Mg	Mn^{3+}	Fe^{3+}	Ti	$Zoct$	K	Na
Al_{IV}	-1,00										
Al_{VI}	0,47	-0,47									
Fe^{2+}	-0,16	0,16	0,15								
Mg	-0,16	0,16	-0,54	-0,25							
Mn	0,19	-0,19	0,06	-0,36	0,18						
Fe^{3+}	-0,17	0,17	-0,34	-0,05	-0,10	0,16					
Ti	-0,50	0,50	-0,38	0,13	-0,02	-0,26	0,01				
$Zoct$	-0,50	0,50	-0,04	0,62	0,31	-0,05	-0,55	0,23			
K	0,04	0,04	-0,50	0,03	0,23	-0,14	0,15	0,10	-0,28		
Na	0,18	-0,18	-0,30	-0,44	0,12	0,51	0,51	-0,15	-0,39	0,14	
Ca	-0,05	0,05	-0,08	0,02	0,05	-0,25	0,02	-0,24	-0,14	-0,04	-0,21

Таблица 6

Коэффициенты корреляции r между содержаниями главных элементов в биотитах

Насыщенные K_2O метапелиты. Зона биотита

Элементы	I	2	3	4	5	6	7	8	9	10	II
	Si	Al_{IV}	Al_{VI}	Fe^{2+}	Mg	Mn	Fe^{3+}	Ti	$Zoct$	K	Na
Al_{IV}	-1,00										
Al_{VI}	0,59	-0,59									
Fe^{2+}	-0,25	0,25	-0,12								
Mg	-0,22	0,22	-0,71	-0,41							
Mn	0,60	-0,60	0,32	0,28	0,23						
Fe^{3+}	-0,43	0,43	-0,24	-0,61	-0,44	-0,87					
Ti	-0,83	0,83	-0,71	-0,20	0,12	-0,72	0,72				
$Zoct$	-0,64	0,64	-0,26	0,87	0,32	-0,17	-0,21	0,21			
K	0,04	-0,04	-0,48	0,21	0,31	-0,28	0,12	0,06	0,16		
Na	-0,13	0,13	-0,47	0,31	0,80	0,55	-0,54	0,12	0,14	-0,21	
Ca	-0,25	0,25	-0,60	0,02	0,84	0,17	-0,24	0,13	-0,03	0,02	0,84

Таблица 7

Коэффициенты корреляции r между содержаниями главных элементов в биотитах.
Насыщенные K_2O метапелиты. Зона граната

Элементы	I	2	3	4	5	6	7	8	9	10	II
	Si	Al^{IV}	Al^{VI}	Fe^{2+}	Mg	Mn	Fe^{3+}	Ti	Σ_{oct}	K	Na
Al^{IV}	-1,00										
Al^{VI}	0,01	-0,01									
Fe^{2+}	0,26	-0,26	-0,57								
Mg	-0,07	0,07	-0,68	-0,74							
Mn	-0,46	0,46	0,06	-0,31	0,21						
Fe^{3+}	-0,48	0,48	0,18	-0,81	-0,61	0,15					
Ti	-0,65	0,64	-0,50	0,03	0,38	0,39	0,15				
Σ_{oct}	-0,78	0,78	-0,13	0,23	0,50	0,44	-0,06	0,61			
K	-0,62	-0,62	-0,54	0,55	0,53	-0,03	-0,67	0,11	-0,28		
Na	0,51	-0,51	-0,14	0,48	0,31	0,00	-0,64	-0,19	-0,19	0,58	
Ca	0,09	-0,09	-0,33	0,40	0,08	-0,64	-0,03	-0,48	-0,21	-0,14	-0,15

Таблица 8

Коэффициенты корреляции r между содержаниями главных элементов в биотитах.
Насыщенные K_2O метапелиты. Зона ставролита

Элементы	I	2	3	4	5	6	7	8	9	10	II
	Si	Al^{IV}	Al^{VI}	Fe^{2+}	Mg	Mn	Fe^{3+}	Ti	Σ_{oct}	K	Na
Al^{IV}	-1,00										
Al^{VI}	0,70	-0,70									
Fe^{2+}	-0,67	0,67	-0,47								
Mg	0,06	-0,06	-0,10	-0,45							
Mn	0,13	-0,13	0,20	-0,01	0,53						
Fe^{3+}	-0,46	0,46	-0,45	-0,13	-0,69	-0,46					
Ti	-0,63	0,62	-0,68	0,16	-0,19	-0,24	0,36				
Σ_{oct}	-0,41	0,41	-0,10	0,71	0,71	0,44	-0,38	0,03			
K	-0,30	0,30	-0,54	-0,06	-0,31	-0,26	0,40	0,32	-0,54		
Na	0,37	-0,37	-0,05	-0,05	0,29	0,13	-0,25	0,03	0,09	-0,44	
Ca	0,26	-0,26	0,22	-0,22	-0,18	-0,30	-0,04	-0,24	-0,35	0,09	-0,37

Таблица 9

Коэффициенты корреляции r между содержаниями главных элементов в биотитах.
Насыщенные K_2O метапелиты. Зона силиманиита

Элементы	I	2	3	4	5	6	7	8	9	10	II
	Si	Al^{IV}	Al^{VI}	Fe^{2+}	Mg	Mn	Fe^{3+}	Ti	Σ_{oct}	K	Na
Al^{IV}	-1,00										
Al^{VI}	0,14	-0,14									
Fe^{2+}	-0,49	0,49	0,01								
Mg	0,21	-0,21	-0,19	-0,89							
Mn	0,27	-0,27	0,03	-0,36	0,05						
Fe^{3+}	0,01	-0,01	-0,55	-0,41	-0,26	0,29					
Ti	-0,08	0,08	-0,09	0,30	-0,09	-0,43	-0,33				
Σ_{oct}	-0,47	0,47	0,08	0,59	0,57	-0,03	-0,59	0,11			
K	0,14	-0,14	-0,23	0,14	0,04	-0,14	0,31	-0,08	-0,33		
Na	0,12	-0,12	-0,46	-0,39	-0,09	0,55	0,78	-0,36	-0,38	0,23	
Ca	-0,18	0,18	0,07	0,18	-0,29	-0,62	0,13	-0,33	-0,31	-0,16	-0,25

Таблица 10

Коэффициенты корреляции r между содержаниями главных элементов в биотитах.

Насыщенные K_2O метапелиты. Зона мигматита

Элементы	I	2	3	4	5	6	7	8	9	10	II
	Si	Al^{IV}	Al^{VI}	Fe^{2+}	Mg	Mn	Fe^{3+}	Ti	Σ_{oct}	K	Na
Al^{IV}	-1,00										
Al^{VI}	0,73	-0,73									
Fe^{2+}	-0,38	0,38	0,17								
Mg	-0,72	0,72	-0,73	-0,88							
Mn	0,69	-0,69	0,54	-0,79	-0,74						
Fe^{3+}	0,46	-0,45	-0,10	-0,94	-0,25	0,70					
Ti	-0,11	0,12	0,10	0,32	-0,27	-0,21	-0,24				
Σ_{oct}	-0,53	0,53	0,05	0,84	0,37	-0,62	-0,94	0,29			
K	-0,71	0,71	-0,80	0,01	0,52	-0,44	-0,02	-0,32	-0,07		
Na	0,47	-0,47	0,09	-0,75	-0,52	0,77	0,89	0,75	-0,81	-0,26	
Ca	-0,31	0,31	-0,37	0,23	0,78	0,19	-0,07	-0,49	0,13	0,34	-0,40

Таблица 13

Коэффициенты корреляции r между содержаниями главных элементов в биотитах.

Недосыщенные K_2O метапелиты ($n = 48$)

Элементы	I	2	3	4	5	6	7	8	9	10	II
	Si	Al^{IV}	Al^{VI}	Fe^{2+}	Mg	Mn	Fe^{3+}	Ti	$\Sigma_{Oct.}$	K	Na
Al^{IV}	-0,99										
Al^{VI}	0,20	-0,20									
Fe^{2+}	-0,37	0,37	0,16								
Mg	0,04	-0,04	-0,56	-0,54							
Mn	0,10	-0,08	0,32	-0,10	-0,17						
Fe^{3+}	-0,32	0,32	-0,45	-0,17	-0,16	-0,23					
Ti	-0,27	0,27	-0,24	0,09	-0,03	0,22	0,05				
$\Sigma_{Oct.}$	0,59	0,58	-0,29	0,28	0,50	-0,25	-0,13	0,12			
K	-0,12	0,12	-0,16	0,09	0,06	0,10	-0,02	0,01	-0,19		
Na	0,24	-0,22	0,12	-0,19	0,02	0,40	-0,10	-0,16	-0,21	-0,22	
Ca	0,32	-0,33	-0,03	-0,31	-0,03	-0,04	0,09	-0,24	-0,52	0,04	-0,01

Таблица 12

Коэффициенты корреляции r между содержаниями главных элементов в биотитах.

Недосыщенные K_2O метапелиты. Зона ставролита

Элементы	I	2	3	4	5	6	7	8	9	10	II
	Si	Al^{IV}	Al^{VI}	Fe^{2+}	Mg	Mn	Fe^{3+}	Ti	$\Sigma_{Oct.}$	K	Na
Al^{IV}	-0,99										
Al^{VI}	0,20	-0,19									
Fe^{2+}	-0,41	0,39	0,20								
Mg	-0,02	0,02	-0,46	-0,53							
Mn	-0,23	0,27	0,06	-0,40	0,21						
Fe^{3+}	-0,24	0,23	-0,59	-0,19	-0,31	-0,23					
Ti	-0,47	0,47	-0,54	-0,26	0,31	0,50	0,28				
$\Sigma_{Oct.}$	-0,83	0,83	-0,13	0,74	0,06	-0,08	-0,01	0,22			
K	-0,48	0,47	-0,34	0,02	0,48	0,21	-0,08	0,40	0,36		
Na	0,22	-0,18	0,15	-0,36	0,29	0,61	-0,30	-0,16	-0,30	-0,18	
Ca	0,755	-0,76	0,02	-0,55	0,12	-0,51	-0,06	-0,28	-0,83	-0,37	-0,01

Коэффициенты корреляции r между содержаниями главных элементов в биотитах.

Недосыщенные K_2O метапелиты. Зона силиманита

Элементы	I	2	3	4	5	6	7	8	9	10	II
	Si	Al^{IV}	Al^{VI}	Fe^{2+}	Mg	Mn	Fe^{3+}	Ti	$\Sigma_{Oct.}$	K	Na
Al^{IV}	-1,00										
Al^{VI}	0,18	-0,19									
Fe^{2+}	-0,48	0,48	-0,31								
Mg	0,33	-0,33	-0,14	-0,83							
Mn	0,22	-0,22	0,35	-0,29	0,13						
Fe^{3+}	-0,38	0,38	-0,61	-0,15	-0,33	-0,40					
Ti	-0,21	0,21	-0,25	0,10	0,14	0,21	-0,07				
$\Sigma_{Oct.}$	-0,49	0,49	-0,03	0,62	0,46	-0,17	-0,20	0,22			
K	-0,12	0,12	-0,14	0,05	-0,62	0,18	0,20	-0,11	-0,55		
Na	0,33	-0,33	-0,04	-0,23	0,27	-0,05	-0,06	-0,12	-0,13	-0,19	
Ca	0,18	-0,18	-0,07	-0,28	-0,27	0,08	0,13	-0,25	-0,57	0,32	-0,08

Таблица 14

Коэффициенты корреляции r между содержаниями главных элементов в биотитах.

Недосыщенные K_2O метапелиты. Зона мигматита

Элементы	I	2	3	4	5	6	7	8	9	10	II
	Si	Al^{IV}	Al^{VI}	Fe^{2+}	Mg	Mn	Fe^{3+}	Ti	$\Sigma_{Oct.}$	K	Na
Al^{IV}	-0,99										
Al^{VI}	-0,08	0,06									
Fe^{2+}	-0,56	0,55	0,55								
Mg	0,39	-0,38	-0,83	-0,77							
Mn	-0,52	0,51	0,24	0,69	-0,29						
Fe^{3+}	-0,37	0,38	-0,02	-0,31	-0,09	-0,46					
Ti	-0,80	0,32	0,13	0,33	-0,49	0,32	0,14				
$\Sigma_{Oct.}$	-0,54	0,64	-0,22	0,43	0,12	0,64	-0,15	-0,10			
K	0,47	-0,48	-0,22	0,12	0,15	-0,18	-0,60	-0,23	0,03		
Na	0,01	0,01	-0,15	-0,49	0,20	-0,10	0,32	0,21	-0,44	-0,72	
Ca	-0,32	0,32	0,13	-0,19	0,04	0,12	0,33	-0,18	-0,07	-0,84	0,75

цию о типах и видах изоморфных замещений в биотитах как с теоретической точки зрения, так и по генетическим типам.

3.5.2. Зависимость состава от Р-Т условий образования биотитов

Зависимость состава метаморфических биотитов от физико-химических условий образования изучалась многими авторами на различном по объему фактическом материале. Тем не менее по большинству рассмотренных здесь положений нет единого мнения и существуют самые противоречивые точки зрения.

В качестве индикаторов Р-Т условий образования биотитов использовались содержания железа, кремния, алюминия, титана и других элементов, представленных в виде различных соотношений (железистости, глиносемистости, титанистости и др.). Это обусловило существование различных точек зрения на типоморфизм этой группы минералов.

По поводу изменения железистости биотитов высказаны различные точки зрения. Согласно одной, железистость определяется содержанием железа и магния во вмещающих породах (Никитина, Хильтова, 1964; Павлишин, 1971); согласно другим – составом вмещающих пород и Р-Т условиями (Кориковский, 1965; Heinrich, 1946 и др.), кремнекислотностью и минеральными парагенезисами вмещающих пород (Ичетовкин, 1972; Duedek, 1954; Engel, 1960 и др.), преимущественно Р-Т условиями (Закруткин, 1970); (Маракушев, Тарарин, 1965 и др.) преимущественно давлением (Нагайцев, 1972), FO_2 в системе (Зигстер, 1961; Wones et al., 1965). Примерно аналогичные суждения высказаны по поводу вариации глиносемистости (Левашов и др., 1978; Маракушев, 1966; Соболев и др., 1970; Усенко и др., 1972; Ферштатер, 1975; Harry, 1950; Noskoldas, 1947). А о титанистости мнение большинства исследователей склоняется на том, что с повышением степени метаморфизма ее количество в биотите увеличивается.

Эти представления, хотя они и не лишены субъективности, отражают сложные зависимости, существующие между составом биотитов и определяющими его факторами. Высказано даже сомнение в принципиальной возможности использования состава биотитов для расшифровки условий образования метаморфических пород (Батлер, 1967). Справедливым представляется мнение И.С.Усенко и др. (1972), согласно которым сущность проблемы заключается в том, какие из особенностей состава биотитов и в каких ситуациях определяются причинами внутреннего порядка, какие – внешними.

Долгое время считалось, что отношение железа к магнию является хорошим показателем температурных условий образования биотитов. Эта

точка зрения впервые была высказана Т.Бартом (Bart, 1936) и поддержана полностью, либо частично в работах Э.В.Гейнриха (Heinrich, 1946), Д.А.Великословинского (1960), Энгела (A.Engel, C.Engel, 1960), И.Б.Щербакова (1965), Т.Г.Хмарука (1964) и других авторов.

В данное время преобладает мнение об определенной роли состава исходных пород на железистость биотитов, хотя в пределах одного изохимического ряда отмечают существование зависимости между железистостью и степенью метаморфизма, что подтверждается уменьшением температуры минералообразования. Вместе с тем Г.М.Другова и др. (1976), В.В.Закруткин (1970), Ю.В.Нагайцев (1972) при прогрессивном метаморфизме отмечают тенденцию уменьшения железистости биотита (главным образом за счет абсолютного увеличения содержания магния), что вызвано необходимостью образования более плотной структуры. Если магния в системе недостаточно или он интенсивно поглощается другой фазой, то структура биотита может уплотняться в результате политипного перехода или вследствие иного изоморфного замещения. Кроме того, на железистость метаморфических биотитов может повлиять также парагенезис сосуществующих минералов (Павлишин, 1983; Кориковский, 1965). В интерпретации генетической информативности глиносемистости биотитов имеются существенные расхождения: по данным И.С.Усенко и др. (1972) с повышением степени метаморфизма в биотитах увеличивается количество Al_{VI} , а замещение $\text{Si} \rightleftharpoons \text{Al}_{\text{IV}}$ не зависит от метаморфизма. Согласно другим (Никитина, 1965, 1964; Harry, 1950), более чувствительно к Р-Т условиям изоморфное замещение в тетраэдрах, но оно оценивается по-разному: Н.Снелинг (Sneling, 1957), Р.Ламберт (Lambert, 1958), А.А.Маракушев (1965), Б.К.Батлер (1967) считают, что возрастание температуры образования биотитов ведет к увеличению содержания в них глиносема Al_{IV} ; Л.П.Никитина, В.Я.Хильтова (1964) и другие считают, что с возрастанием температуры происходит сокращение пределов изоморфизма $\text{Si} \rightleftharpoons \text{Al}_{\text{IV}}$ в тетраэдрах, тогда как содержание алюминия в октаэдрической координации определяется составом породы.

Д.А.Великословинский (1960, 1965), И.Б.Щербаков (1965), С.П.Кориковский (1964), Е.Н.Ушакова (1968) и другие убедительно показали, что изменение содержания в биотитах происходит главным образом в октаэдрической позиции за счет температуры минералообразования. Согласно А.А.Маракушеву (1965), с понижением степени метаморфизма биотит обогащается алюминием в глиносемистых породах и, наоборот, обедняется им в породах, относительно бедных глиносемом, становясь при этом устойчивым в ассоциациях с более высоким отношением железа к магнию. Имеются и другие суждения (Великословинский, 1968; Усенко и др., 1972; Ушакова, 1971), на которых останавливаться не будем.

Такое расхождение взглядов обусловлено трудностями учета онто-

генических и кристаллохимических особенностей метаморфизированных биотитов. Более однозначно интерпретируются (Другова и др., 1976; Маракушев, 1966; Судовиков и др., 1965) широкие вариации глиноzemистости и железистости биотитов в пределах одной толщи.

Относительно поведения титана большинство авторов (Великосоловицкий, 1965; Другова, Глебовицкий, 1965; Сироштан и др., 1965; Щербаков, 1965; Маракушев, 1961; Никитина, Хильтова, 1964; Никитина и др., 1964; Хмарук, 1965; Miaschiro, 1958; oki, 1961 и др.) высказываются за то, что с возрастанием температуры метаморфизма содержание его в биотитах увеличивается. Что же касается влияния состава октаэдрического слоя биотитов на изоморфное вхождение в него Ti (Кориковский, 1965; Cudotti, Chiney, 1977; Robert, 1976), а также его валентности и распределения в структуре (Тепикин, 1966; Никитина и Хильтова, 1964), то существуют различные, часто противоречивые суждения, которые будут рассмотрены подробнее на нашем материале.

В последние годы на большом статистическом материале рядом авторов (Никитина, 1965, 1972; Другова и др., 1976; Керехинская, 1972) отмечается повышение содержания кремния в тетраэдрической позиции биотитов гранулитовой фации по сравнению с биотитами амфиболитовой фации.

Поведение в биотитах межслоевых катионов, в частности K и Na, изучено слабо. Значительное внимание этим элементам удалено в статье В.В.Закруткина и М.В.Григоренко (1968). Отмечается, что в процессе меняющихся термодинамических условий изменение натрия не четкое, а количество калия при повышении степени метаморфизма возрастает и достигает своего максимума в гранулитовой фации. Интересно, что заметного изменения количества калия при переходе от зеленосланцевой к амфиболитовой фации ими не обнаружено. Е.Н.Ушакова (1971), со своей стороны, допускает существование отмеченной зависимости в биотитах однотипных по составу пород, отличающихся даже по условиям образования и отмечает тенденцию обогащения биотитов калием с повышением температуры минералообразования.

Особый интерес представляет соотношение Al_{VI}/Al_{IV} в биотите, особенно в свете изучения их из разных фациальных серий. Впервые общие закономерности минеральных превращений, связанных с изменением координационного числа Al, разработаны В.С.Соболевым (1949, 1970). На примере многочисленных реакций доказывается, что повышение давления приводит к переходу в силикатах Al_{IV} и Al_{VI} , что сопровождается уменьшением объема и подтверждается термодинамическими расчетами.

Г.М.Другова с соавторами предлагают сравнивать между собой биотиты, максимально близкие по температурам субфаций разных фациальных серий. Полученные результаты дают им основание полагать, что

с повышением давления отношение Al_{VI}/Al_{IV} заметно возрастает. Им же установлено, что при андалузит-силиманитовом типе метаморфизма в амфиболитовой фации для низкотемпературной субфации изменения отношения Al_{VI}/Al_{IV} равно 0,365, а для высокотемпературной - 0,287, для переходной к гранулитовой - 0,246, а в самом гранулитовом - 0,228. В кинанит-силиманитовом типе эти отношения соответствуют величинам: для первой вышетемперац. группы - 0,392, для второй - 0,378 и для третьей - 0,347.

Из этого краткого и далеко не полного обзора литературных данных, касающихся изучения Р-Т условий образования биотитов из метаморфических пород в аспекте зависимости их состава от условий образования, наглядно видно, насколько сложно выявить те закономерности, которые характеризовали бы поведение биотитов в конкретных геологических процессах и позволили бы судить об условиях их образования.

При разработке данного раздела работы намк были применены все используемые при интерпретации химического состава биотитов кристаллохимические зависимости, однако ниже приводятся лишь те схемы и графики, которые позволили наиболее наглядно выявить закономерности распределения элементов в структуре биотитов из метаморфитов Абхазии и Верхней Сванети.

Как уже было показано, химический состав и возможные изоморфные замещения в биотитах Абхазии и Верхней Сванети выражают в широких пределах, что, безусловно, должно найти отражение в их кристаллохимии. Известно, что состав биотитов удобно изучать с помощью треугольных диаграмм, одной из которых является широкоизвестная диаграмма М.Фостера (Foster, 1960), достаточно полно отражающая соотношения наиболее важных для систематики триоктаэдрических слюд кристаллохимических элементов, на основе соотношения октаэдрических компонентов.

Приведенный в табл. I7 и I8 и на рис. 6 фактический материал свидетельствует о том, что большинство изученных биотитов попадают в поле "сравнительно" железистых разновидностей. К этой группе в основном принадлежат биотит как насыщенных, так и недонасыщенных H_2O метапелитов, представленных разными минералогическими ассоциациями.

Что же касается биотитов из богатых CaO пород, то они попадают либо в поле железистых, либо железо-магнезиальных разновидностей, хотя их можно встретить и в поле относительно магнезиальных биотитов. Биотиты из лабинской серии (кианитовый тип метаморфизма) ведут себя идентично с биотитами из богатых CaO пород.

Отмеченное взаимоотношение элементов октаэдрической позиции может также быть выражено в виде изоморфных смесей минералов, так называемых рядов истонит-сидерофилита и флогопит-аннита. За последние годы как в советской, так и зарубежной литературе по данному

Таблица I7
Соотношения октаэдрических катионов в биотитах

# обр.	Mg	Fe ²⁺ (Mn ²⁺)	R ³⁺	$\Sigma_{\text{oct.}}$	%Mg	%Fe ²⁺ (Mn ²⁺)	%R ³⁺
Насыщенные K ₂ O метапелиты							
A-30	1,72	2,47	I,36	5,55	31,00	44,50	24,50
II6-4	2,17	2,28	I,17	5,62	38,61	40,57	20,82
8-52	2,00	2,04	I,44	5,48	36,49	37,22	26,28
79-8	2,13	2,23	I,24	5,60	38,03	39,82	22,14
74-4	1,51	2,40	I,60	5,55	27,20	43,24	29,55
8-54	1,61	2,15	I,67	5,43	29,65	39,59	30,75
I56-8	1,77	2,32	I,54	5,63	31,44	41,20	27,35
3I2	2,14	2,28	I,07	5,49	38,98	41,53	I9,45
346	2,03	2,19	I,26	5,48	37,04	39,96	23,00
3I4	2,23	1,92	I,36	5,51	40,47	34,84	24,68
890	2,39	2,59	I,02	6,00	39,83	43,16	I7,00
309	1,89	2,40	I,28	5,57	33,93	43,08	22,98
324	1,82	1,41	I,84	5,07	35,89	27,81	36,29
365	1,91	1,78	I,54	5,32	36,52	34,03	29,44
7-I54	1,96	2,38	I,20	5,54	35,38	42,96	21,66
609	1,76	2,37	I,39	5,52	31,88	42,93	25,18
7-I0I	2,00	2,35	I,38	5,73	34,90	41,01	24,08
II5-8	1,81	2,41	I,45	5,67	31,92	42,50	25,58
I33-8	1,88	2,16	I,58	5,62	33,52	38,43	28,II
I34-8	1,97	2,28	I,46	5,71	34,50	39,93	25,57
I53-8	1,82	2,45	I,47	5,74	31,90	42,68	25,61
87-8	1,81	2,53	I,36	5,70	31,75	44,38	23,86
427	2,04	2,25	I,26	5,55	36,75	40,54	22,70
437	2,24	2,39	I,04	5,67	39,50	42,15	I8,34
II3-8	1,98	2,43	I,13	5,54	35,74	43,86	20,39
8-20	1,91	2,39	I,27	5,57	34,29	42,90	22,80
7-94	1,96	2,07	I,42	5,45	35,96	37,98	26,05
7-95	1,76	2,29	I,43	5,48	32,I2	41,79	26,09
7-97	1,92	2,24	I,29	5,45	35,22	41,IO	23,67
II8-4	1,53	2,00	I,64	5,17	29,59	38,68	31,72
357	1,98	1,91	I,48	5,37	36,87	35,56	27,56

# обр.	Mg	Fe ²⁺ (Mn ²⁺)	R ³⁺	$\Sigma_{\text{oct.}}$	% Mg	%Fe ²⁺ (Mn ²⁺)	%R ³⁺
Богатые CaO породы							
30-4	2,00	3,01	0,79	5,80	34,48	51,89	I3,62
247	1,98	2,65	1,01	5,63	35,16	47,06	I7,94
263	2,84	2,41	0,76	6,00	47,33	40,16	I2,66
10г	2,33	2,01	1,30	5,33	40,32	36,32	23,50
I3-4	2,01	2,44	1,00	5,44	36,94	44,65	I8,38
243	2,60	1,88	1,06	5,54	46,93	33,93	I8,13
3I5	2,69	2,12	0,88	5,68	47,35	37,32	I5,49
II7-4	2,18	2,31	1,22	5,71	38,18	40,45	I1,36
7-29	1,81	2,50	1,41	5,72	31,64	43,70	24,65
III-8	2,12	2,08	1,35	5,55	38,20	37,48	24,32
87-8	3,72	1,60	0,68	6,00	62,00	26,66	II,33
I37-8	3,20	1,51	1,01	5,72	55,94	26,39	I7,66

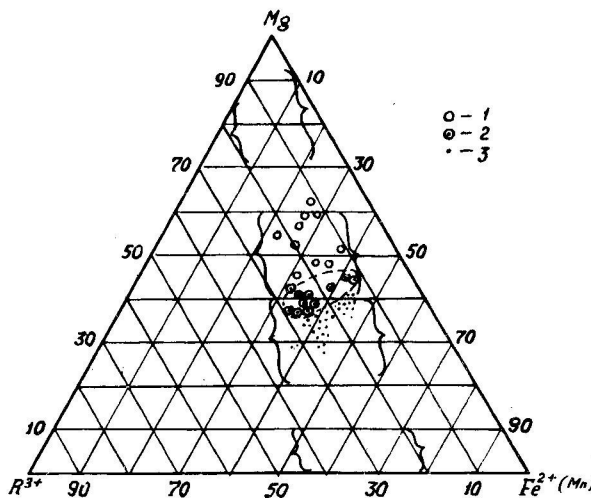


Рис. 6. Соотношение октаэдрических катионов в биотитах из метаморфитов Абхазии и Верхней Сванети на диаграмме составов, предложенной М.Фоссет (Fosset, 1960).
1, 2 и 3 - биотиты магнезиального, железо-магнезиального и железистого ряда соответственно

Таблица I8

Соотношения октаэдрических катионов в биотитах

№ обр.	Mg	$\text{Fe}^{2+}(\text{Mn}^{2+})$	R^{3+}	oct	%Mg	% $\text{Fe}^{2+}(\text{Mn}^{2+})$	% R^{3+}
Недосыщенные K_2O метапелиты							
376	2,33	2,70	0,86	5,89	39,56	45,34	14,60
2I-4	2,00	2,24	I,17	5,41	36,97	41,40	21,63
525	1,99	2,47	I,19	5,65	35,22	43,72	21,06
262-3	2,96	I,63	I,18	5,77	51,30	28,25	20,45
3I2	2,14	2,28	I,07	5,49	38,96	41,53	19,49
I0-4	2,94	2,19	2,19	0,63	5,86	50,17	10,75
8-65	2,85	2,16	0,84	5,95	47,90	36,30	14,11
8-74	1,69	2,81	I,II	5,61	30,12	50,09	19,79
364	1,78	2,48	I,29	5,55	32,07	44,68	32,24
7-162	I,63	2,52	I,37	5,52	29,53	45,65	24,82
3I8	2,49	2,16	0,99	5,64	44,15	38,30	I7,55
6-4	2,23	2,71	I,03	5,97	37,35	45,39	I7,25
I2-4	I,80	2,11	I,36	5,27	34,15	40,04	25,80
7-78	3,30	I,67	0,64	5,61	58,82	29,77	II,41
336-3	2,03	2,15	I,27	5,45	37,25	39,45	23,30
353-3	2,01	2,38	I,12	5,51	36,48	43,19	20,32
632	2,33	2,03	I,38	5,74	40,59	35,36	24,04
7-I30	2,09	2,16	I,40	5,65	37,00	38,23	24,77
7-I3I	I,83	2,32	I,35	5,50	33,27	42,18	24,55
85-4	I,53	2,54	I,46	5,53	27,66	45,93	26,40
7-I33	2,24	2,59	0,93	5,76	38,89	44,96	I6,I4
A-99	I,8I	2,55	I,34	5,70	3I,75	44,73	23,5I
375-3	I,73	2,03	I,34	5,10	33,92	39,80	26,27
529-3	I,99	2,47	I,19	5,65	35,22	43,7I	21,06
8-60	2,32	2,89	0,88	6,00	38,09	47,45	I4,45
7-I38	2,06	2,45	I,03	5,54	37,18	44,22	I8,59
7-I40	I,96	2,17	I,38	5,52	35,57	35,57	25,04
Лаштракская свита (Лабинская серия)							
I38-3	2,30	2,26	I,20	5,76	39,93	39,23	20,83
I08-3	2,6I	2,50	0,89	6,00	43,50	14,83	4I,66
8-35	2,68	I,87	I,35	6,00	44,66	3I,16	22,50
I-42	2,60	2,59	0,8I	6,00	43,33	43,16	I3,50
I70-3	2,18	2,47	I,04	5,69	33,3I	43,4I	18,28
I71-3	2,53	2,66	0,8I	6,00	42,16	44,33	13,50
8-38	2,22	I,80	I,43	5,45	40,73	33,02	26,24

на вопросу предложены различные варианты распределений, однако, по нашему мнению, метод, примененный С.П.Кориковским (1965) наиболее наглядно отражает сущность изоморфного состава биотитов, ибо отмеченные ряды по процентному содержанию атомов алюминия в октаэдрической позиции и по степени замещения Si^{4+} на Al^{3+} в тетраэдрах заметно отличаются.

Теоретический процент атомов алюминия, выраженный соотношением $a_{\text{VI}} = \frac{\text{Al}_{\text{IV}}}{\text{Al}_{\text{IV}} + \text{окт. катионов}}$ х 100% в ряду флогопит-аннита равен 0,

а в истонит-сидерофилите - 17, тогда как степень замены Si^{4+} на Al^{3+} , выраженная в виде соотношения $a_{\text{Si}} = \frac{\text{Al}_{\text{IV}}}{\text{тетр. катионов}}$ х 100%, колеблется для обоих рядов в пределах от 29 до 35.

Расчеты, проведенные для биотитов изученного региона, сведены в табл. I9, а для сопоставления с данными С.П.Кориковского (1965) полученные соответственно фигуративные точки нанесены на рис. 7, из которого хорошо видно, что большинство фигуративных точек, изучаемых образцов, группируются в поле II, характеризующем 50-100% содержание истонит-сидерофилитовой молекулы. В этой группе объединяются биотиты как насыщенных и недосыщенных K_2O метапелитов, так и биотиты из лаштракской свиты лабинской серии.

Интересно отметить, что в поле I, отвечающем на 50-100 % содержанию флогопит-аннитового компонента биотитов (обозначение на схеме кругами), группируются образцы в основном из богатых диаграмме кругами), группируются образцы в основном из богатых пород и некоторые биотиты из насыщенных K_2O метапелитов (точки) из зоны силлиманита и калишпата Верхней Сванети.

Некоторые образцы, как видно из диаграммы, выходят за пределы I и II полей. Это в основном биотиты из недосыщенных K_2O метапелитов.

В целом можно сказать, что для биотитов из метаморфитов Ахалцихи и Верхней Сванети характерен ряд истонита-сидерофилита, хотя в некоторых случаях (в биотитах из богатых CaO пород) наблюдается повышение роли флогопит-аннитового минерала. На рис. 8 приведены зависимости железистости биотита от титанистости (Другова и др., 1976); из табл. 20 хорошо видно, что большинство из рассмотренных нами образцов попадает в поле амфиболитовой и эпидотамфиболитовой фаций. К тому же биотиты как насыщенных, так и недосыщенных K_2O метапелитов (в основном из зон ставролита и силлиманита) попадают в поле низкотемпературной амфиболитовой фации умеренного давления, тогда как некоторые образцы из зоны силлиманита и калишпата, а также биотиты из богатых CaO пород мигматитовой зоны размещаются в поле высокотемпературной амфиболитовой фации повышенного давления. Выделяются на диаграмме образцы биотитов, для которых характерен высокий процент общей железистости и низкое содержание TiO_2 . Это в основ-

Таблица I9
Коэффициенты a_{v1} и a_{si}

# обр.	a_{v1}	a_{si}	# обр.	a_{v1}	a_{si}
Насыщенные K_2O метапелиты					
314	15,05	31,00	I53-8	15,05	33,37
890	II,98	35,25	87-8	15,08	34,50
309	I7,4I	30,I2	8-54	I3,50	35,00
324	I6,30	28,87	427	II,7I	35,25
346	I4,96	29,I2	437	5,82	34,I2
365-3	5,35	32,37	II3-8	6,67	35,72
7-I72	I9,46	29,75	8-20	8,25	36,I2
7-I68	I0,66	35,37	7-94	I3,76	31,25
7-I54	I4,25	33,37	7-95	I3,50	33,50
59-8	25,4I	35,00	7-97	I2,29	31,75
7-I0I	I3,96	35,25	357-3	I8,06	30,87
II5-8	I4,10	34,37	337-3	I4,75	31,62
609	I5,03	32,37	79-8	I0,I7	31,37
I56-8	I8,82	35,75	73-4	7,6I	31,I2
I33-8	I4,76	34,I2	74,4	I6,57	31,87
I34-8	I3,48	35,62			
Недосыщенные K_2O метапелиты					
376	5,60	34,37	336-3	I6,88	29,37
2I-4	I6,82	29,75	353-3	I3,79	29,75
525	I5,93	34,75	632	I3,76	35,00
262-3	I0,57	33,I2	7-I30	I6,28	33,87
3I2	I2,38	28,37	7-I3I	I5,63	33,00
10-4	5,63	33,87	85-4	I5,19	32,50
8-65	9,24	34,87	7-I33	8,85	33,37
8-74	I7,64	3I,50	A-99	I3,33	34,75
364	I5,59	30,I2	375-3	I7,45	26,I2
7-I62	8,69	3I,503I8	529-3	I5,92	34,75
3I8	I0,46	29,87	8-60	I0,34	35,50
6-4	7,37	36,50	7-I38	I5,70	30,75
I2-4	I5,55	30,37	7-I40	I7,42	3I,62
7-78	8,73	27,37			
Лаштракская свита					
I38-3	I4,23	30,50	I-43	II,33	35,00
I08-3	I0,33	33,75	8-38	I4,3I	32,25
8-35	4,04	33,77	A-30	I7,II	3I,87

# обр.	a_{v1}	a_{si}	# обр.	a_{v1}	a_{si}
I-42	9,00	33,62	II6-4	I2,63	33,37
I70-3	I4,4I	30,00	8-52	I8,06	30,12
I7I-3	6,66	36,50			
Богатые CaO породы					
30-4	2,75	33,I2	3I5	I0,05	30,75
247	II,19	3I,25	II7-4	I3,66	32,50
263	3,99	3I,25	7-29	I2,4I	35,37
I0Г	8,86	29,50	III-8	I0,7I	32,00
I3-4	3,86	28,00	87-8	3,16	32,00
243	I0,8I	27,87	I37-8	5,06	32,87

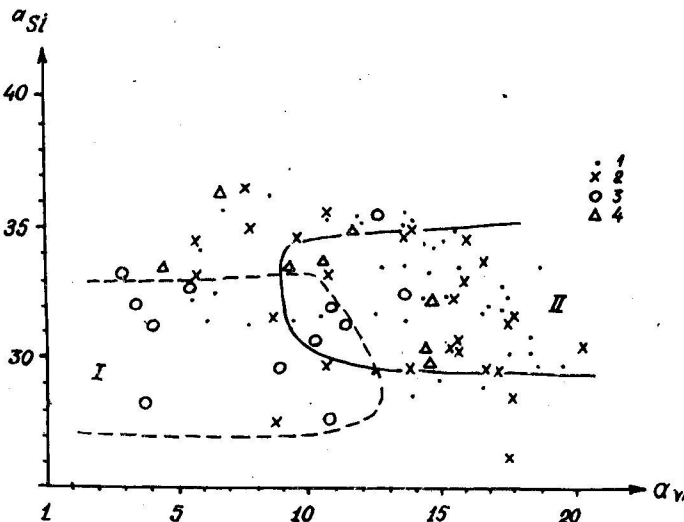


Рис.7. Зависимость коэффициентов a_{v1} - a_{si} в биотитах:
I - поле соответствует 5-50% содержанию истоинит-сило-рофилитовой молекулы; II - поле соответствует 50-100% содержанию истоинит-сило-рофилитовой молекулы.
I - биотиты из насыщенных K_2O метапелитов; 2 - биотиты из недосыщенных K_2O метапелитов; 3 - биотиты из богатых CaO пород; 4 - биотиты лаштракской серии (лабинская свита)

Таблица 20

 TiO_2 (вес.%) и $F_{общ.}$ в биотитах

# обр.	TiO_2	$F_{общ.}$	# обр.	TiO_2	$F_{общ.}$
Насыщенные K_2O метапелиты					
314	1,82	56,9	87-8	2,85	59,6
890	1,41	53,0	8-54	2,05	59,7
309	0,90	53,65	427	2,15	56,0
324-3	1,60	54,5	437	3,65	54,4
346	1,00	47,3	II3-8	3,42	58,5
365	1,55	59,7	8-20	3,75	59,2
7-I72	1,05	43,3	7-94	3,16	54,7
7-I68	0,79	53,9	7-95	2,66	60,2
7-I54	1,05	57,7	7-97	3,16	56,3
59-8	2,21	63,8	357-3	1,00	53,3
7-I01	1,94	57,2	79-8	0,76	56,0
II5-8	2,42	60,4	73-4	1,65	45,7
609	1,70	60,0	74-4	1,75	65,7
I56-6	1,05	60,0	A-30	1,16	61,3
I33-8	3,07	57,4	II6-4	2,70	52,7
I34-8	26,96	57,1	8-52	1,16	53,9
I53-8	2,16	59,8			
Недосыщенные K_2O метапелиты					
376	3,27	55,0	I2-4	1,10	57,6
525	1,53	53,8	7-78	1,08	33,7
262	0,80	35,6	336-3	1,12	51,2
312	1,50	53,9	353-3	1,30	56,3
I0-4	1,19	42,2	632	1,37	51,0
8-65	1,38	45,4	7-I30	2,30	52,9
8-74	1,17	56,2	7-I3I	1,40	58,2
364	2,10	60,0	85-4	2,05	65,4
A-93	1,38	49,4	7-I33	3,76	53,6
73-5	1,16	67,1	A-99	2,27	60,9
7-I02	0,43	60,77	375-3	1,37	57,6
7-I04	0,93	54,5	8-60	0,80	56,2
7-I62	2,28	66,6	7-I38	1,33	54,8
318	1,40	42,6	7-I40	1,43	55,0
6-4	1,09	50,4	A-92	1,60	52,3

# обр.	TiO_2	$F_{общ.}$	# обр.	TiO_2	$F_{общ.}$
10Г	I,37	54,4	263	I,I3	49,4
243	I,05	44,6	II7-4	I,9I	53,5
3I5	I,00	46,2	7-29	2,16	6I,7
I3-4	I,40	60,3	III-8	2,03	54,4
30-4	2,04	62,9	87-8	I,09	33,I
247	0,86	59,6	I37-8	2,35	37,8
Лаштракская свита					
I38	I,30	54,8	I,42	I,I8	5I,I2
I08	I,16	49,6	I70-3	I,05	53,I2
I7I	I,02	50,I8	I-43	0,88	50,I8
8-35	I,20	50,4	8-38	0,9I	50,3

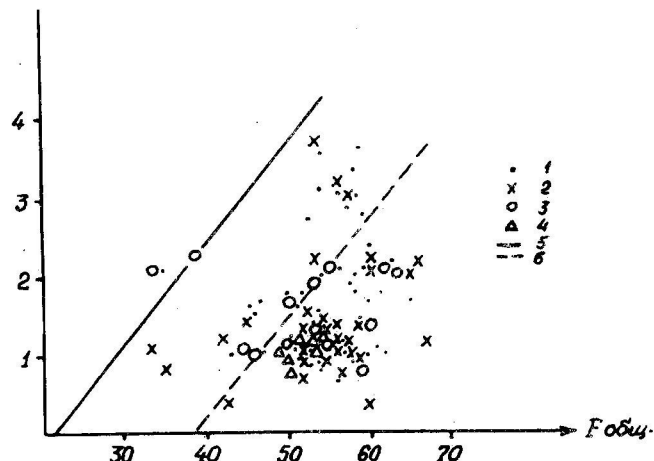


Рис. 8. Зависимость титанистости биотитов от их общей железистости:

1 - биотиты насыщенных K_2O метапелитов;
 2 - биотиты недосыщенных K_2O метапелитов;
 3 - биотиты богатых CaO пород; 4 - биотиты лабинской серии;
 5 - граница полей гранулитовой и амфиболитовой фаций; 6 - граница полей высокотемпературной амфиболитовой фации и низкотемпературной амфиболитовой фации

ном образцы из биотитовой, гранатовой и частично ставролитовой зоны как Абхазии, так и Верхней Сванети, соответствующие зеленосланцевой и эпидот-амфиболитовой фациям прогрессивного регионального метаморфизма.

В целом отмеченное разделение биотитов на фациальные серии и полученные нами результаты хорошо согласуются с геологическими и петрологическими данными исследованного региона, что нашло свое выражение также в оценке Р-Т условий метаморфизма с помощью известных геотермометров, результаты которых заимствованы из работ Д.М.Шенгелиа, Д.Н.Кецховели (1982), Г.Л.Чичинадзе (1980), Р.Г.Кахадзе (1982), Р.А.Ахвадзани, И.У.Швейцера (1980).

Полученные результаты хорошо коррелируются с данными энергетического анализа, рассчитанного по методу "минус зарядного потенциала кислорода", предложенного В.И.Лебедевым (1967).

Ю.В.Нагайцев (1969) отмечает, что в основе метода лежит положение об отрицательно заряженном и одновалентном состоянии кислорода, являющемся наиболее энергетически выгодным и поэтому близким в большинстве случаев к действительному состоянию этого элемента в природных минералах. Предполагается, что получение одновалентного состояния кислорода осуществляется за счет именно тех электронов, которые обладают минимальными потенциалами ионизации. Сумма минимальных потенциалов берется равной числу атомов кислорода в формуле минерала. Общий потенциал, затрачиваемый на отрицательную ионизацию кислорода, получается суммированием минимальных потенциалов ионизации отдельных катионов (ΣnI). Эта сумма, относенная к числу атомов кислорода nO , т.е. $\Sigma nI/nO$ именуется "минус зарядным потенциалом", и предлагается в качестве энергетической характеристики последовательности образования минералов в природе.

Ю.В.Нагайцев (1969) при исследовании биотитов из метапелитов ладожской формации, в условиях смены температуры от эпидот-амфиболитовой до гранулитовой, показал, что при этом происходит снижение $\Sigma nI/nO$ от 9,98 до 9,58 э.в. (электровольты).

Руководствуясь вышеотмеченным, нами был использован метод "минус зарядный потенциал кислорода" при исследовании биотитов из метаморфитов изучаемого региона. Результаты вычисления $\Sigma nI/nO$ (в э.в.) сведены в табл.21, в которой приводятся также температуры минералообразования, полученные для этих же образцов по разным геотермометрам. Обращает на себя внимание факт сопоставимости значений $\Sigma nI/nO$ и температур образования биотитов, определенных графитовым геотермометром (данные Р.А.Ахвадзани, Д.М.Шенгелиа, 1978; Р.Г.Кахадзе, 1982), что позволило нам графически выразить зависимость ионного потенциала от температуры минералообразования (рис.9).

Сравнивая полученные нами данные с остальными геотермометра-

ми, приходим к выводу, что $\Sigma nI/nO$ вполне может быть использован для характеристики температур минералообразования биотитов из метапелитов Абхазии и Верхней Сванети, еще раз доказывая наличие температурных диапазонов для различных зон прогрессивного метаморфизма, выраженные для изученного региона в следующих пределах: для андалузитового типа регионального метаморфизма - буульгенской серии (метаморфиты Абхазии и Верхней Сванети), соответственно для зон: биотита - 505, ставролита - 612, силиманита - 642, мигматита - 735 и богатых CaO пород - 720°C.

Что же касается биотитов из ладинской серии лаштракской свиты, отвечающим региональному метаморфизму кианитового типа, то для них получены температуры в пределах 540-605°C.

В литературе почти отсутствуют сведения о связи давления с химическим составом биотитов, исключение составляет работа Г.М.Друговой и др. (1976), в которой в качестве сравнительного критерия предлагается определение относительного давления минералообразования соотношением Al_{VI}/Al_{IV} и исследования Л.Л.Перчука (1976), основанные на распределении $Fe^{2+}-Mg^{2+}$ между существующими биотит-гранатовыми минералогическими парами.

Рассматривая в аспекте соотношения Al_{VI}/Al_{IV} полученные результаты (см.табл.22) по биотитам близких по температурам субфаций различных типов исходных пород, отвечающим андалузит-силиманитовому и кианит-силиманитовому типам метаморфизма, приходим к выводу, что отмеченное соотношение заметно возрастает с повышением давления и может для изученного региона служить относительным показателем смены последнего при минералообразовании.

Более конкретные результаты получены при помощи широко известной диаграммы Л.Л.Перчука (1976), на которой для парагенезиса $Bi + Gr + Ilm + Kf + Mu + Al_2SiO_5$ автором нанесены линии изобар в зависимости от температуры и коэффициента распределения (lgK) магния между соответствующими парами Bi и Gr.

Расчеты, приводимые в табл. 23, свидетельствуют о том, что общее давление (P_5) при формировании биотитов из пород Абхазии и Верхней Сванети выявляет определенную закономерность, выраженную для буульгенской серии в последовательной смене давлений соответственно по зонам: ставролита - 5, силиманита - 5,8, магматита и богатых CaO пород - 7,3 кбар.

Что же касается биотитов лаштракской свиты, то давление минералообразования для них находится в пределах 5,8 кбар.

Суммируя полученные нами результаты по Р-Т условиям образования биотитов Абхазии и Верхней Сванети, отвечающие андалузит-силиманитовым и кианит-силиманитовым типам метаморфизма, приходим к заключению, что температура и давление минералообразования биотит-

Таблица 21
Температура образования биотитов по $\Sigma nI/n_0$

# обр.	$\Sigma nI/n_0$	$T^{\circ}\text{C}$ по Граф.	$T^{\circ}\text{C}$ по Гр-Би	$T^{\circ}\text{C}$ по комб.гран.	$T^{\circ}\text{C}$ по $\Sigma nI/n_0$
8-52	9,774				561
79-8	9,767				571
A-30	9,763				576
74-4	9,748				596
A-39	9,739				612
3I4-3	9,778	560			560
525	9,767	570	575	575	570
3I2	9,766				570
2I-4	9,764		530	524	575
8-65	9,760	580	605	600	580
376	9,734				620
890	9,726				636
8-74	9,723			620	642
324-3	9,749				592
6-4	9,747		610		598
346	9,746				598
3I8	9,745	600			600
7-I7I	9,744	600			600
336-3	9,744	600	620		600
7-168	9,740	610	630		610
364	9,734	625			624
353-3	9,728	630	615	628	630
I2-4	9,728	630	650		630
7-162	9,723				642
309	9,736				616
247	9,715		725	673	664
10Г	9,715		675	671	664
13-4	9,711		675	680	675
263	9,709		675	706	676
243	9,708			669	678
30-4	9,680		735		735
375-3	9,712	670	680		670
337-3	9,712	670	670		670
357-3	9,711				673
II7-4	9,692				720
73-4	9,693				720
I38-5	9,798	540			540

# обр.	nI/n_0	$T^{\circ}\text{C}$ по Граф.	$T^{\circ}\text{C}$ по Гр-Би	$T^{\circ}\text{C}$ по комб.гран.	$T^{\circ}\text{C}$ nI/n_0
I08-3	9,761			590	575
I7I-3	9,744		600	600	614
8-35	9,760		580		617
I-42	9,744				603
I70-3	9,742				605

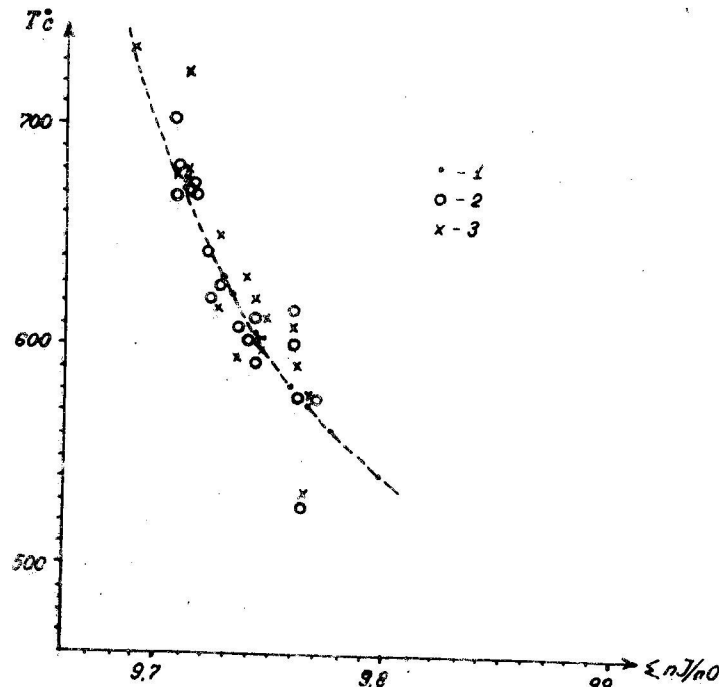


Рис. 9. Зависимость $\Sigma nI/n_0$ от температуры минералообразования:
1 - температуры по графитовому термометру; 2 - температуры по комбинированно-гранатовому термометру; 3 - температуры по Гр-Би термометру

Изменение отношения $\text{Al}_{\text{VI}}/\text{Al}_{\text{IV}}$ в биотитах в зависимости от условий метаморфизма

Фазы	Эпилот-амфиболитовая		Амфиболитовая	
	низкотемпературная	высокотемпературная	низкотемпературная	высокотемпературная
Андалузит-силиманитовый с ассоциациями, содержащими андалузит и кордиерит, но лишенными кианита и ставролита	0,353 n = 18	0,323 n = 24	0,271 n = 15	
Кианит-силиманитовый, с ассоциациями кианита и силиманита, но без андалузита и кордиерита	0,247 n = 5	0,210 n = 3		

Таблица 23
Расчет давления по Гр-Би барометру Л.Л.Перчука (1976)

# обр.	M_1^x Гр.	M_2^x Би	M_2 <u>M_1</u>	lgK	T°C	Давление кбар
376	0,105	0,440	4,25	0,62	620	4,2
525	0,117	0,434	3,709	0,57	570	5,0
8-65	0,194	0,542	2,796	0,44	580	5,9
8-74	0,178	0,436	2,537	0,40	642	6,1
6-4	0,122	0,410	3,364	0,52	598	5,2
7-162	0,162	0,393	2,430	0,38	642	6,4
7-102	0,193	0,525	2,719	0,44	600	5,9
353-3	0,172	0,435	2,530	0,40	630	6,3
7-168	0,174	0,457	2,63	0,42	610	6,3
7-154	0,195	0,422	2,161	0,33	670	6,9
336	0,160	0,473	2,956	0,47	608	5,4
247	0,267	0,523	1,966	0,30	664	7,3
243	0,210	0,523	1,966	0,30	669	7,3
263	0,244	0,502	2,061	0,31	676	7,4
10Г	0,225	0,489	2,170	0,33	664	7,0
I08-3	0,166	0,495	2,986	0,47	580	5,6
I-42	0,202	0,555	2,746	0,44	600	6,0
I70-3	0,226	0,542	2,399	0,40	605	6,5
I71-3	0,193	0,515	2,670	0,43	600	6,1
8-35	0,172	0,509	2,061	0,47	580	5,7

$$M_1^x = M_2^x = Mg^{2+} : (Mg^{2+} + Fe^{2+} + Mn^{2+})$$

содержащих метаморфитов лежит приблизительно в пределах: T°C – 600°C, P – 5,6 кбар. Это хорошо согласуется с данными С.В.Ричардсона с соавторами (1969), описывающих тройную точку в системе Al_2SiO_5 в этих же интервалах.

3.6. Рентгенодифракционные исследования биотитов

Структурно-кристаллохимическая характеристика реального кристалла – минерала в настоящее время становится предметом все более широкого экспериментального исследования. В этом аспекте рентгеновские исследования являются весьма важным методом для выявления особенностей кристаллической структуры минералов и успешно применяются при изучении слоистых силикатов, в частности, их триоктаэдрических разновидностей – биотитов.

Известно, что в процессе метаморфизма в структурах этих минералов может быть запечатлена история их формирования. Они в этом случае наследуют существенные особенности кристаллического строения (политипию, катионное заселение структурных позиций и др.) того минерала, из которого они образовались. Поэтому изучение структурно-кристаллохимических особенностей минералов позволяет выявить черты реальной (дефектной) кристаллической структуры в связи с условиями их образования (Франк-Каменецкий, 1980).

В этом отношении изучение биотитов из метаморфитов Абхазии и Верхней Сванети представляет определенный интерес, поскольку широкие вариации химического состава, устойчивость биотитов во всех зонах регионального метаморфизма этого региона, должны отражаться в их кристаллической структуре.

Рентгеновское изучение проведено для обширной коллекции мономинеральных фракций биотитов (80 образцов), представляющей все типы биотитов, содержащих метаморфитов из разных зон регионально метаморфизованных пород. Съемки проводились на дифрактометре Дрон-2 (35 кв, 20MA), на $Cu_{K\alpha}$ и $Co_{K\alpha}$ излучении Ni фильтр. Разориентированные препараты готовились по методике, описанной в руководстве "Рентгенография основных типов пордообразующих минералов" (1983).

Фазовая чистота биотитов контролировалась съемкой обзорных дифрактограмм всех образцов в интервале углов отражения $2\theta = 3-75^\circ$ (Режим съемки: шкала счетов импульсов 200 и 500 имп/с, скорость вращения счетчика I и $2^\circ/\text{мин}$, скорость движения дифракционной ленты 2400 мм/час, отметка – через 1°). Анализ дифрактограмм позволяет выделить 4 основные группы биотитов, обозначенные на рис. 10 буквами А, Б, В и Г.

Из рассмотрения рис. 10 видно, что дифрактограммы различаются между собой как по набору рефлексов (d, λ , НКЛ), так и по отно-

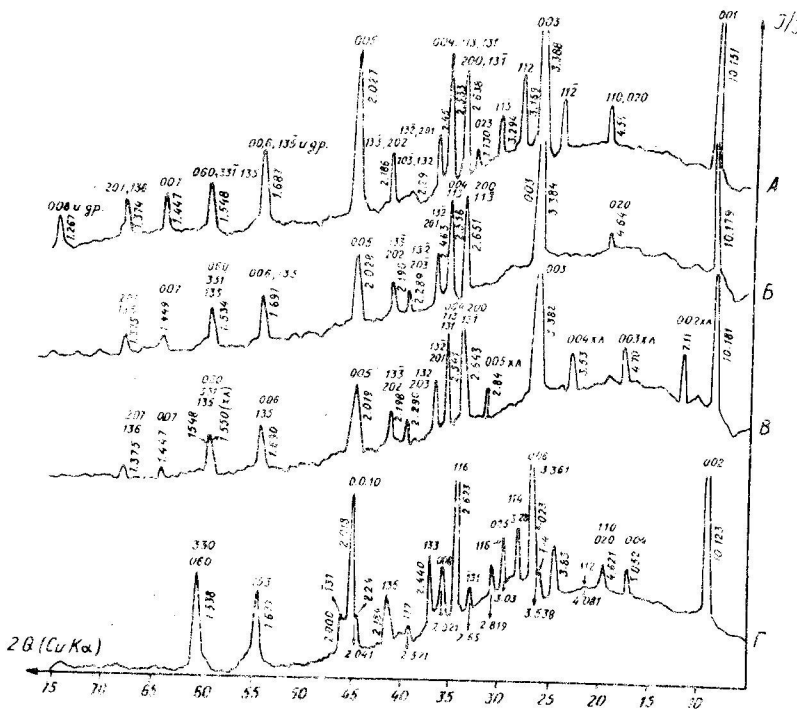


Рис.10 (А, Б, В, Г). Характерные дифрактограммы биотитов из метаморфитов Абхазии и Верхней Сванетии.
А - биотит модификации IMA (30 обр.) из ставролитовой, силимитовой и мигматитовой зон (насыщенные и недосыщенные K₂O метапелиты); Б и В - биотиты модификации MD (26 и 24 обр. соответственно) из биотитовой (Б), гранатовой (Б и В) и отчасти ставролитовой зон (Б), насыщенные K₂O метапелиты; Г - биотиты модификации M2M из богатых CaO пород

сительной интенсивности отражений (I/I_0). Обшим для всех дифрактограмм является наличие хорошо регистрируемых интенсивных базальных рефлексов 001 , имеющих острую симметричную форму. Однако на дифрактограммах биотитов из биотитовой и гранатовой зон (недосыщенные K₂O метапелиты) помимо сильных рефлексов присутствуют еще базальные рефлексы примесного хлорита (002 , 003 , 004 и 005), содержание которого в отдельных образцах достигает 20% (см.рис.10,В).

Для тристетаэдрических слоев типично такое соотношение интенсивностей 1-го и 2-го базальных рефлексов $I_{002} = I/2 I_{001}$. Распределение относительных интенсивностей базальных рефлексов биотито-

вает триоктаэдрической разновидности слоя Чак, второй базальный рефлекс практически не проявился на дифрактограмме слоя типа А, Б и В и присутствует лишь на дифрактограмме, характерной для биотитов из богатых содоморф (метабазиты, см.рис. 10, Г). Однако интенсивность этого рефлекса значительно меньше половины интенсивности первого базального рефлекса. Тем не менее основная характеристика триоктаэдрических слоев заключена в том, что они обладают обширным проявлением рефлексов типа 000 и прежде всего, 000 ($I_{000} = I_{002} = I_{001}$).

Структурные различия биотитов наиболее четко проявлены на их дифрактограммах в характерных наборах рефлексов типа 111 и 021 , позволяющих выделить среди них поликристаллическими IMA(A), MA (Б,В) и M2M(Г) (рис.10).

Основными диагностическими рефлексами биотитов модификации IMA являются (НКЛ): 112 , 112 , 113 , 023 и др., а модификации M2M (НКЛ): 023 , 112 , 114 , 025 , 116 , 116 (см.рис.10, А и Г соответственно). Неупорядоченные слоистые (слойки Б и Г) характеризуются отсутствием на дифрактограммах рефлексов типа 111 и 021 , что указывает на непериодические смещения слоистых пакетов со ~ 1 °, в различаются между собой только по отсутствию пурпурного уловита (см.рис.10, Б и Г).

Рефлексы типа 113 , 112 позволяют отнести все биотиты к однотипной структурной группе (Корчин, 1961), различающейся характером упаковки «однных» пакетов кристаллов T (У3) в структуре кристалловой ориентации октаэдрических сеток в слоистых склонах.

Биотиты, принадлежащие к модификации MA, характеризуют кинкие стадии метаморфизма, отвечающие у основных зоненосных зонах (В) и частично эпилот-амфиболитовой (Г) фации, биотиты, принадлежащие к модификации IMA(A), соответствуют в основном зонам эпилот-амфиболитовой и частично низкотемпературной амфиболитовой фации, а биотиты, принадлежащие к модификации M2M(Г), - высокотемпературной амфиболитовой фации (см.рис.10). Подобное описание распространения различных модификаций по всем зонам обобщенного реологического цикла метаморфитов Абхазии и Верхней Сванетии и их трансформации в процессе перигнейского метаморфизма приведено в главе 4.

Для индикации и определения параметров элементарной ячейки биотитов получались дифрактограммы от слоя с добавкой в качестве внутреннего стандарта - герmania. Режим: скорость вращения спиральника - 0,5°/мин. на шкалах 200, 400 и 1000 имп./с, движение диаграммной ленты - 1200 мм/ч, отметка через 0,1°. Использовались базальные рефлексы образца (II) и стандарта (4), их записывали 3-4 раза на каждом режиме. Позднее индикация дифрактограммы велась по схеме 20 изм. → 2θ испр. → диспр. → 0 → 0 → ЧКС (табл.34).

Таблица 25

Результаты прямого расчета параметров элементарной ячейки биотитов модификации IM из метаморфитов Абхазии и Верхней Сванетии

# обр.	Параметры (б)			
	a (Å)	b (Å)	c (Å)	β (°)
3I2	5,368(3)	9,241(3)	10,151(2)	100,05(1)
346	5,352(3)	9,239(3)	10,173(2)	100,03(2)
890	5,344(3)	9,335(3)	10,160(3)	100,03(2)
309	5,312(2)	9,248(3)	10,241(4)	100,02(3)
7-98	5,318(2)	9,240(2)	10,223(4)	100,02(3)
I30-8	5,367(3)	9,235(2)	10,220(3)	100,03(2)
79-8	5,322(2)	9,268(2)	10,154(2)	100,03(2)
I33-8	5,322(2)	9,260(2)	10,151(2)	99,98(4)
3I4-3	5,32(2)	9,256(2)	10,243(3)	100,02(3)
7-94	5,320(3)	9,246(2)	10,298(5)	100,05(2)
A-39	5,321(2)	9,280(2)	10,258(4)	100,08(2)
8-52	5,322(2)	9,204(2)	10,232(3)	99,97(8)
88-5	5,366(3)	9,314(3)	10,181(2)	100,02(3)
7-I72	5,319(2)	9,225(2)	10,173(2)	100,00(3)
83-8	5,308(3)	9,180(3)	10,167(2)	100,03(2)
I2-4	5,308(3)	9,218(2)	10,204(2)	100,00(2)
377	5,367(2)	9,234(3)	10,182(3)	100,01(3)
A-99	5,322(3)	9,268(3)	10,191(3)	100,02(3)
A-97	5,360(2)	9,305(3)	10,224(2)	99,98(4)
529	5,320(2)	9,263(3)	10,207(2)	100,05(2)

Рефлексы внутреннего стандарта германия (Ge)

Определение параметров элементарной ячейки проводилось путем использования однозначно индицированных рефлексов разных числу определяемых параметров (прямой расчет) и методом наименьших квадратов (МНК). В первом случае предпочтение отдавалось рефлексам в области сравнительно больших углов 2θ, как одиночных, так и наложенных, имеющих достаточную интенсивность. Поскольку исследуемые слюды принадлежат моноклинной сингонии, то наиболее удобными для расчета параметров однослойной модификации являются рефлексы типа (н00 , н10 , н11), а именно 200 , I31 , 060 , 331 , 008 , II2 и II2 . Параметры элементарной ячейки, рассчитанные для биотитов модификации IM , приведены в табл. 25 и 26 . Квадратичные погрешности измерения

параметров оценивались по формулам, предложенным в "Руководстве по исследованию минералов" (1975, с.134-148).

Определение параметров элементарной ячейки биотитов по методу наименьших квадратов выполнялось на кафедре кристаллографии ЛГУ на ЭВМ М-6000 с использованием программы " PARAM " по однозначно индицируемым рефлексам в области углов $2\theta = 4-60^\circ$ для Cu и Co^{+2} излучения. В табл. 26 приведены результаты определения параметров элементарной ячейки биотитов, полученные методом МНК . Результаты расчета параметров элементарной ячейки биотитов, полученные обоими методами, согласуются между собой в пределах погрешностей их определения (срав. табл. 25 и 26).

Таблица 28

Теоретический расчет вариантов заполнения октаэдрической цис- и транспозиции биотитов катионами Mg и Fe^{2+}

Катион	Позиция	Варианты				
		1	2	3	4	5
Mg	Триас	0,66667	0,33333	1,0000	1,0000	1,0000
	Цис ₁	0,66667	0,33333	0,0000	1,0000	0,5000
	Цис ₂	0,66667	0,33333	0,0000	0,0000	0,5000
Fe^{2+}	Транс	0,33333	0,66667	0,0000	0,0000	0,000
	Цис ₁	0,33333	0,66667	1,0000	0,0000	0,5000
	Цис ₂	0,33333	0,66667	1,0000	1,0000	0,5000

тионами Mg и Fe^{2+} . Сопоставление теоретических расчетов и экспериментальных данных показывает, что исследованные биотиты имеют низкую упорядоченность октаэдрических катионов. Характер соотношения интенсивностей отмеченных рефлексов зависит также от наличия дефектов упаковки слоев. Так, развороты слоев в плоскости базиса на произвольные углы и кратные 120° ослабляют при нарушении упорядоченности октаэдрических катионов. При этом дифрактограмма имеет вид типичной для модификации Md . Интенсивности рефлексов $20L$, $13L$ не зависят от характера упорядочения катионов в слое и от разворотов слоев на углы кратные 120° . Вероятно, они зависят от разворота слоев на произвольные величины и на углы, кратные 60° , а также от количества слоев в упаковке и значения координат атомов по z .

Таким образом, полученные данные дают основание полагать, что в исследуемых биотитах значения межплоскостных расстояний и интенсивностей рефлексов $11L$, $02L$ и $20L$, $13L$, определяющих их структурную упорядоченность, меняются в зависимости от содержания в образцах Mg и Fe^{2+} и соответственно от степени метаморфизма пород.

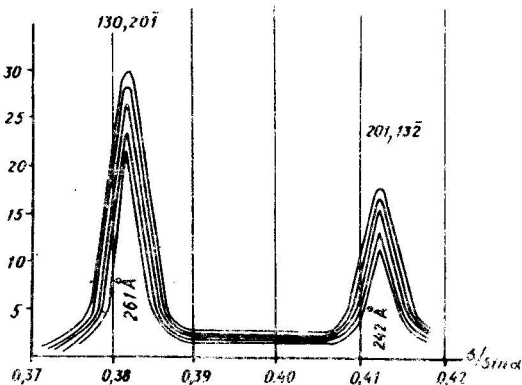
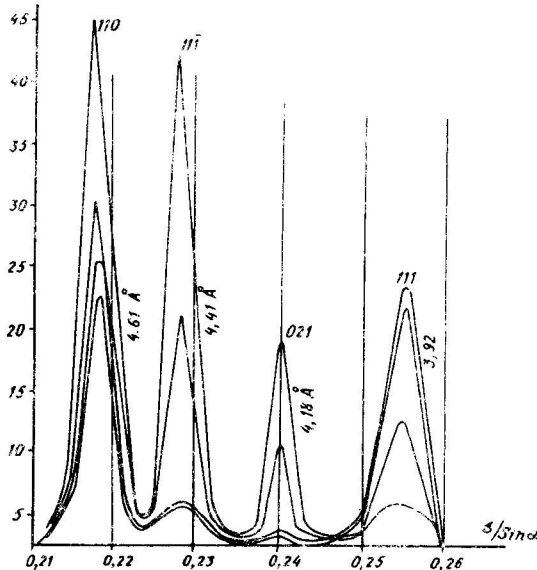


Рис.13. Расчитанные теоретические полные профили рентгеновских рефлексов типа $11L$, $02L$ и $13L$, $02L$ для пяти вариантов заполнения цис- и транспозиции Fe^{2+} и Mg в октаэдрах. (Номера соответствуют вариантам табл.27)

Глава 4. ТИПОМОРФНЫЕ ОСОБЕННОСТИ СОСТАВА СТРОЕНИЯ И СВОЙСТВ БИОТИТОВ И ИХ ЭВОЛЮЦИЯ ПРИ МЕТАМОРФИЗМЕ

Основные результаты комплексного минералого-кристаллохимического изучения биотитов представлены в табл.29, где по общему геологическому разрезу в соответствии с усилением степени метаморфизма (сверху – вниз) для всех генетических типов пород, зон и характерных минеральных ассоциаций (столбцы I, 2 и 3 соответственно) приведены данные по генезису, Р-Т параметрам, некоторые физические свойства, абсолютному возрасту, параметрам элементарных ячеек и политипной модификации. Особенности состава, строения и физических свойств биотитов определяют их типоморфную значимость. В первую очередь, отметим изменения в составе биотитов от ишонит-сидерофилитового до флогопит-аннитового миналов (столбцы 4, 5) в соответствии с усилением степени метаморфизма (столбец 7) и температурой минералообразования (столбец 8). Физические свойства биотитов, такие, как показатель преломления N_g (столбец 9) и температура эндозефекта на ДТА (столбец 10) в среднем повышаются с усилением давления и температуры (столбцы 7 и 8). С увеличением степени метаморфизма, то есть давления (столбец 7), происходит смена политипных модификаций от неупорядоченных разновидностей – к упорядоченным по схеме $Md \rightarrow 1M \rightarrow 2M_1$ (столбец 12). Значения параметра "ъ" (столбец II) зависят от степени заполнения катионами октаэдрической позиции и контролируются температурой (столбец 8).

Рассмотрим более подробно корреляционные взаимоотношения типоморфных особенностей состава и структуры биотитов при метаморфизме. Для получения полного представления об этих взаимоотношениях по общему геологическому разрезу биотитсодержащих метаморфитов, проведем корреляцию полученных результатов по отдельным зонам метаморфизма (от биотитовой до гранулитовой). Прежде, чем перейти к их характеристике, рассмотрим последовательно эволюцию состава и структуры изучаемых биотитов.

4.1. Эволюция состава биотитов

Для выявления характера эволюции химического состава биотитов составлена таблица 30 средних значений отдельных элементов для самых распространенных групп биотитсодержащих пород – насыщенных и недосыщенных K_2O метапелитов, включающих в себя зоны биотита, граната, ставролита, силиманита и мигматита. Ввиду ограниченности мате-

риала данные для биотитов из богатых CaO пород и биотитов лантракской свиты не приводятся. На основании табл.30 составлена диаграмма (рис.14), где четко прослеживается эволюция состава от биотитовой до мигматитовой зон.

Из рассмотрения диаграммы видно, что для биотитов из насыщенных K_2O метапелитов с увеличением степени метаморфизма наблюдается тенденция к уменьшению количества Si в четверной координации и соответственно – увеличению Al_{IV} в тетраэдрах. В биотитах мигматитовой зоны содержание Si резко увеличивается, тогда как Al_{IV} уменьшается. Для биотитов из недосыщенных K_2O метапелитов при усилении степени метаморфизма от ставролитовой к мигматитовой зонам наблюдается неуклонное уменьшение количества Si и постепенное увеличение Al_{IV} .

Представляет интерес эволюция Al_{VI} в октаэдрах. Если для совокупности биотитов из недосыщенных K_2O метапелитов содержание Al_{VI} постепенно уменьшается до мигматитовой зоны, то в самой мигматитовой оно увеличивается. В насыщенных K_2O метапелитах количество Al_{VI} в биотитах резко уменьшается от 0,82 до 0,52 ф.е. В октаэдрической позиции наиболее очевидна закономерность выявляет эволюция Mg^{2+} и Fe^{2+} . Содержание Mg в биотитах обоих типов метапелитов имеет тенденцию к постепенному увеличению. На графике (см. рис.14) хорошо видно, что от ставролитовой зоны к мигматитовой кри-вая содержания Mg для биотитов из недосыщенных K_2O метапелитов претерпевает резкое восхождение.

Примерно аналогичная, но обратная закономерность характерна для эволюции содержания двухвалентного железа. Отметим, что биотиты обеих групп метапелитов по эволюции содержания Fe^{2+} показывают тенденцию резкого уменьшения его количества. Увеличение содержания Fe^{2+} наблюдается лишь для биотитов из недосыщенных K_2O метапелитов от биотитовой зоны до гранатовой. Эволюция трехвалентного железа (Fe^{3+}) носит необычный характер. Так, в биотитах из насыщенных K_2O метапелитов содержание Fe^{3+} уменьшается от биотитовой к гранатовой зонам и увеличивается от ставролитовой к силиманитовой. В остальных случаях содержание Fe^{3+} не меняется с изменением степени метаморфизма. В биотитах из недосыщенных K_2O метапелитов содержание Fe^{3+} последовательно уменьшается от ставролитовой к силиманитовой зонам и увеличивается от силиманитовой к мигматитовой. Остальные элементы октаэдрической позиции (Mn и Ti) присутствуют в малых количествах и для них не выявлены общие закономерности изменения содержания со степенью метаморфизма.

Из межслойевых катионов можно отметить эволюцию содержания K. Его количество (см.рис.14) увеличивается лишь в биотитах из насыщенных K_2O метапелитов (от гранатовой к ставролитовой зонам) и

Таблица 30

Эволюция средних (X) значений состава биотитов (Ф.е.) при метаморфизме

Элементы Зоны	Si	Al _{IV}	Al _{VI}	Fe ²⁺	Mg	Mn	Fe ³⁺	Ti	K	Na	Cs	Насыщенные K ₂ O метапелиты	
												Биотиты	Силлиманиты
Биотиты	5,53	2,47	1,00	2,32	1,57	0,02	0,36	0,16	1,56	0,05	0,07	5,44	2,56
Гранаты	5,44	2,56	0,95	2,37	1,73	0,02	0,29	0,18	0,55	0,05	0,12	5,43	2,57
Ставролита	5,43	2,57	0,74	2,33	1,98	0,02	0,29	0,19	1,64	0,09	0,09	5,34	2,66
Силлиманита	5,34	2,66	0,67	2,10	2,02	0,43	0,22	1,64	0,08	0,08	0,06	5,47	2,53
Магматита	5,47	2,53	0,76	1,81	2,17	0,02	0,45	0,15	1,65	0,11	0,11	5,48	2,52
Недосыщенные K ₂ O метапелиты													5,44
Ставролита	5,48	2,52	0,82	0,36	1,78	0,02	0,30	0,19	0,62	0,12	0,11	5,39	2,61
Силлиманита	5,44	2,56	0,66	2,28	2,19	0,02	0,25	0,19	1,63	0,09	0,11	5,39	2,61
Магматита	5,39	2,61	0,52	2,06	2,73	0,02	0,30	0,18	0,58	0,09	0,11	5,39	2,61

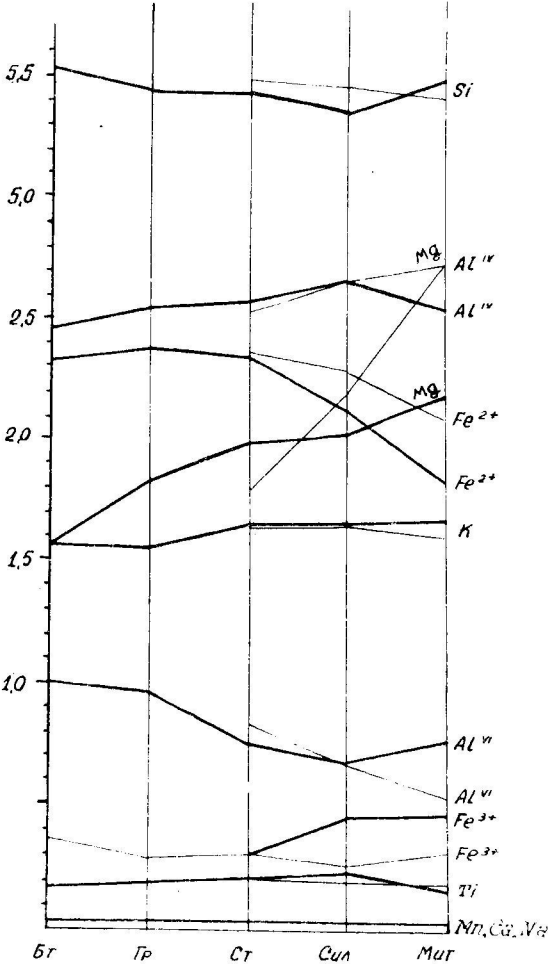


Рис. II. Эволюция состава биотитов при региональном метаморфизме Абхазии и Верхней Сванетии
Бт - биотит, Гр - гранат, Ст - ставролит, Сил - силлиманит, Миг - мигматит.
Жирная и тонкая линии - насыщенные K₂O и недосыщенные K₂O метапелиты соответственно

Таблица ЗI

Сопоставление содержания основных химических компонентов пород (данные заимствованы из работы Д.М.Шенгелия, Д.Н.Кецховели, 1982) и биотитов. (Содержание окислов приведено в вес.%), а элементов - в формульных единицах)

№ обр.	SiO_2 в породе	Si в био- тиле	MgO в по- роде	Mg в био- тиле	K_2O в по- роде	K в био- тиле	T°C
314-3	64,04	5,52	3,45	2,23	3,90	I,70	560
890	42,06	5,18	3,00	2,39	7,30	I,34	636
525	50,00	5,22	2,73	1,99	5,20	I,90	570
10-4	45,36	5,29	1,37	2,94	I,30	I,74	618
8-65	47,94	5,16	3,20	2,32	1,40	I,50	580
8-60	45,10	5,48	4,42	1,69	3,30	I,70	642
309	60,08	5,59	4,04	1,89	6,10	I,38	616
324	65,45	5,69	2,10	1,82	3,70	I,58	592
346	67,07	5,67	2,23	2,03	3,90	I,60	598
364	56,07	5,59	4,20	1,78	4,50	I,60	625
7-168	40,37	5,17	3,80	2,44	5,00	I,48	610
376	42,73	5,25	2,57	2,33	0,60	I,48	620
21-4	66,07	5,62	2,40	2,00	3,20	I,58	575
318	56,68	5,61	4,30	2,49	2,30	I,50	600
6-4	45,30	5,08	2,77	2,23	3,70	I,62	598
12-4	54,87	5,57	2,80	1,80	0,90	I,48	630
336	64,93	5,65	2,20	2,03	2,60	I,68	600
353-3	58,35	5,62	1,80	2,01	1,40	I,60	630
337-3	51,72	5,47	3,98	2,02	4,30	I,64	670
357	67,72	5,91	4,76	1,73	5,50	I,54	670

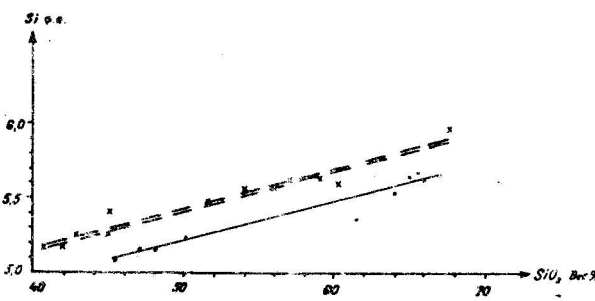


Рис.15. Зависимость Si в составе диомитов от содержания SiO_2 в материнской породе. Сплошная и пунктирная (двойная) линии - изотермы с температурой до 600 и 610-670°C соответственно

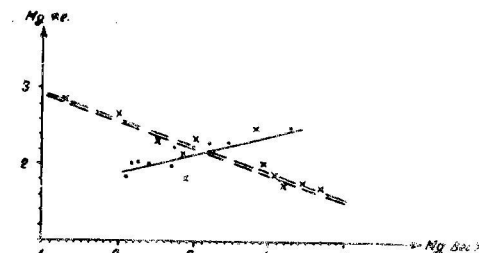


Рис.16. Зависимость Mg в составе биотитов от содержания MgO в материнской породе. Сплошная и пунктирная (двойная) линии - изотермы с температурой до 600-670°C соответственно

лород сосуществующих темноцветных минералов, таких как гранаты, амфиболы, пироксены и хлориты. Для межслоевых катионов отметим эволюцию содержания калия в зависимости от содержания K_2O в материнских породах. Она подтверждает отмеченные выше взаимоотношения (рис. I7). Некоторые отклонения зависимости $K - K_2O$ заключаются в изломе криевых (см. рис. I7), характерных для парагенетических ассоциаций биотита с мусковитом. Такая ассоциация, в свою очередь, влияет на расположение К между сосуществующими минералами.

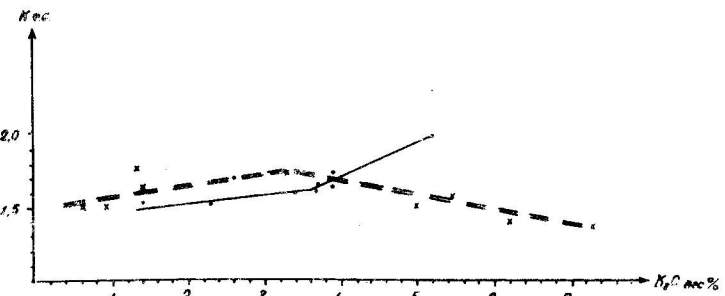


Рис. I7. Зависимость К в составе биотитов от содержания K_2O в материнской породе.
Сплошная и пунктирующая (двойная) линии – изотермы с температурой до 600 и 610–670°C соответственно

4.2. Эволюция структурных особенностей биотитов

В предыдущей главе (раздел 3.6) установлены определенные тенденции зависимости параметра "в" от степени заполнения октаэдрической позиции биотитов. Эта зависимость контролируется в основном температурой минералообразования. Показано также, что дефектность в упаковке слоев зависит от содержания Fe^{2+} и Mg в октаэдрах. Это соотношение определяет существование Md и IM политипных модификаций биотитов. Выведение закономерности дает определенные корреляции со степенью метаморфизма, но не отражает полностью все разнообразие эволюции структурных особенностей изучаемых биотитов. В данной главе, используя результаты рентгеновского анализа биотитов (см. гл. 3.6 и табл. 29), рассмотрена эволюция политипных модификаций биотитов с изменением степени и типа регионального метаморфизма изучаемого региона.

Как уже отмечалось выше (раздел 3.6), в настоящее время имеется довольно обширный материал по политипизму природных и искусственных слюд, однако, как указывают А. Верма и Л. Кришна (1960), мн

еще далеки от исчерпывающей теории политипизма. Большой интерес к проблеме политипии слоистых минералов вызван не только возможностью пополнения отдельных разделов кристаллохимии или получения заданных политипов с определенными свойствами, могущими найти применение в практике, но и той информацией об условиях роста и преобразования политипов, которая заложена в их структуре. Накоплен значительный объем сведений о структурах отдельных политипных модификаций, достаточно полно изучена частота встречаемости некоторых политипов. Однако факторы, приводящие к образованию того или иного политипа, вскрыты недостаточно полно, а часто не установлены совсем. Тем не менее политипы многих веществ, в том числе и минералов группы слюд, в ряде случаев уже становятся минералами – типоморфными – индикаторами определенной генетической обстановки (Франк-Каменецкий и др., 1981). К сожалению, изучение типоморфных особенностей политипизма биотитов в природе весьма затруднительно из-за многообразия геологических параметров.

В этом аспекте изучение биотитов из метаморфитов Абхазии и Верхней Сванети не составляет исключения, хотя их геолого-петрологическое и минералогенетическое изучение дает нам основание выделить некоторые типоморфные особенности политипных модификаций биотитов и определить их связь с процессами регионального метаморфизма.

Обращает на себя внимание политипная модификация биотитов Md, которая (см. табл. 29) является характерной Би+Му+Пл+Кв+Прф; Би+Гр+Хл+Му+Пл+Кв и Би+Ст+Му+Анд+Пл+Кв+Грф ассоциацией, соответствующей биотитовой, гранатовой и низкотемпературной ставролитовой зонам соответственно. Приблизительная температура образования биотитов лежит в довольно широких пределах 540–615°C при общем давлении в 5,6–5,9 кбар (см. табл. 29).

При повышении степени метаморфизма, что соответствует зонам ставролита, силиманита и мигматита (обоих типов метапелитов), для которых температура минералообразования находится в пределах 580–680°C ($\pm 20^\circ$), а общее давление составляет 6–7 кбар, биотиты представлены более упорядоченной политипной модификацией IM.

Анализируя полученные результаты (см. табл. 29), можно высказать предположение, что биотиты ислонит-сидерофилитового ряда при повышении степени метаморфизма претерпевают политипное превращение Md – IM. Учитывая широкий диапазон колебания температурных условий, а в ряде случаев их перекрывание по зонам, можно считать, что решающая роль в политипной характеристики биотитов принадлежит давлению. Биотиты флогопит-аннитового ряда из богатых CaO пород (метабазитов), характеризующиеся еще более высокой степенью метаморфизма, температура 600–700°C и общее давление Р = 7,0–7,3 кбар, представлены исключительно ролитипной модификацией 2M₁.

Таким образом, при нарастании степени метаморфизма происходит смена политипов от неупорядоченных разновидностей к более упорядоченным по схеме $Md \rightarrow IM \rightarrow 2M_1$. Такое изменение последовательности политипов согласуется с литературными данными (Павлишин, 1983). Однако в нашем случае формирование конкретных политипов с разной степенью слоевого нарушения более отчетливо реагирует на фактор давления.

4.3. Генетические особенности биотитов

Эволюция химического состава и политипных модификаций биотитов тесно связана с условиями их образования или преобразования. Нами определено, что состав биотитов, в первую очередь, определяется температурными условиями минералообразования, а их политипная принадлежность – общим давлением.

Отмеченные типоморфные взаимоотношения не являются исчерпывающими. Актуальным представляется также выявление признаков предшествующей истории формирования минералов. В этом отношении интересны результаты экспериментальных исследований кристаллохимических критериев трансформационного механизма образования и преобразования слоистых силикатов для генезиса минералов группы слюд (Франк-Каменецкий и др., 1983).

Ряд исследователей (Йодер, Эгстер, 1955; Половинкина, Соколова, 1962 и др.) на основании детального изучения природных слюд указывают на образование политипной модификации биотитов Md за счет преобразования глинистых осадков (метапелитов) в начальную стадию метаморфизма.

Экспериментально доказано (Франк-Каменецкий и др., 1983), что образование биотитов может происходить за счет частично упорядоченного смешанослойного образования слюда-монтморилонит путем его трансформационного преобразования в слюду в К-хлоридной гидротермальной среде. В свою очередь триоктаэдрический монтморилонит преобразуется в присутствии хлорида Mg в триоктаэдрический хлорит. Таким образом, принципиально оказывается возможным образование биотитов из системы, содержащей слюду – монтморилонит в триоктаэдрический хлорит. Изучение парагенетических ассоциаций биотитов политипной модификации Md (биотитовая, гранатовая и отчасти ставролитовая зоны метаморфитов Абхазии и Верхней Сванетии) показало, что для метапелитов обоих типов характерно присутствие в них не только биотита, но еще хлорита и мусковита, которым биотит обычно в количественном отношении уступает. Кроме того, в шлифах часто наблюдается переслаивание биотит-хлоритовых и биотит-мусковитовых пластин, а также ра-

звитие биотита по хлориту. На дифрактограммах этих образцов часто видны хлоритовые рефлексы (см. рис. 10, В), что также свидетельствует о тесном срастании биотита и хлорита. Изложенное позволяет считать, что образование изученных биотитов при метаморфизме происходит по известной схеме $Xl+My+(Kb) \rightarrow Bi+H_2O$ (С.П. Кориковский, 1968). Наличие мусковита можно объяснить трансформационным преобразованием смешанослойных слюда – монтморилонитовых образований, так как экспериментально показано (Франк-Каменецкий и др., 1983), что образование мусковитов в К-, Na-хлоридных гидротермальных средах может происходить по схеме: диоктаэдрический монтморилонит (Al_{vi}) – частично упорядоченное слюда – монтморилонит \rightarrow мусковит.

Таким образом, наличие биотитов политипной модификации Md в метапелитах Абхазии и Верхней Сванетии может служить типоморфным признаком для выявления начальной стадии регионального метаморфизма этого региона и дает основание предполагать, что их образование может происходить по описанной выше схеме. Преобразование биотитов модификации Md в более упорядоченный политип IM , вероятно, также носит трансформационный характер, причем особая роль здесь принадлежит преемственности элементов структуры (Франк-Каменецкий и др., 1983). При таком переходе должны сохраняться основные генетические признаки в последовательности наложения слоев. С этих позиций можно объяснить преобразование $Md \rightarrow IM$ биотитов, которое сопровождается усилением роли давления. Выполненный нами расчет профилей характерных участков дифрактограмм политипных модификаций биотитов показал, что переход от Md к IM модификации может происходить только за счет катионной упорядоченности в октаэдрических слоях.

Следует обратить внимание на образование биотитов политипной модификации $2M_1$. Они характерны исключительно для генетической группы метаморфитов из богатых CaO пород (метапелитов). Показано, что при гидротермальном синтезе диккит ($2M_1$) в присутствии $MgCO_3$ и сравнительно высоких температурах может перейти через мусковитовую стадию в флогопит (Франк-Каменецкий и др., 1983). По составу биотиты модификации $2M_1$ принадлежат флогопит-аннитовому ряду и образуются при высоких температурах 700–730°C (см. табл. 29). Известно, что диккит является составной частью вулканогенно-осадочных образований, которые при метаморфизме образуют группу богатых CaO пород (метабазитов). Это позволяет предполагать, что биотиты $2M_1$ модификации из богатых CaO пород образовались по минералам каолинитовой группы (вероятно диккиту) путем твердофазовых превращений.

ЗАКЛЮЧЕНИЕ

Изучение минералогии и кристаллохимии биотитов из метаморфитов Абхазии и Верхней Сванети позволило выявить в них закономерности изменения состава, строения и свойств, которые могут быть использованы в научных и практических целях при проведении геологического и поисковых работ. Перечислим основные результаты исследования:

1. Минеральный состав биотитов является типоморфным: биотиты из метапелитов, как правило, соответствуют истонит-силикофиллитовому составу, а из метабазитов – флогопит-аннитовому. С увеличением степени метаморфизма (от биотитовой зоны к мигматитовой) пропорционально уменьшается железистый компонент минералов и увеличивается магнезиальный.

2. Статистическое распределение основных катионов Si , Al_{IV} , Mg^{2+} и Fe^{2+} в составе биотитов отвечает нормальному закону. Взаимоотношение данных элементов с соответствующими элементами материнской породы носит корреляционный характер и контролируется температурой.

3. Для биотитов разных генетических групп и зон методом расчета парных коэффициентов корреляции установлены две серии изоморфных замещений в октаэдрических позициях: $3R^{2+} \leftrightarrow 3R^{2+}$ и $3R^{2+} \leftrightarrow 2R^{3+}$. Высокое отрицательное значение коэффициента корреляции указывает на изовалентный изоморфизм $Si^{4+} \rightarrow Ti^{4+}$ в тетраэдрах. Такая корреляция установлена только для биотитов из зон магматита (метапелиты) и метабазитов и, таким образом, является типоморфной для высокометаморфизованных пород.

4. На содержание Ti^{4+} в тетраэдрах указывают также результаты ИК-спектроскопического анализа. Корреляционная зависимость коэффициентов железистость-титанистость позволяет расчленить зеленосланцевую (высокий коэффициент железистости и низкий – титанистости) и эпилот-амфиболитовую (наоборот) фации прогрессивного регионального метаморфизма. При этом коэффициент общей железистости ($F_{общ.} = \frac{Fe^{2+}}{Fe^{2+} + Fe^{3+} + Mg^{2+}}$) тем больше, чем больше значения показателя преломления (Mg) биотитов.

5. Предложенный биотитовый геотермометр, основанный на методе "минус зарядного потенциала кислорода" с учетом температурных данных графитового геотермометра, позволил рассчитать палеотемпературы ($^{\circ}C$) биотитсодержащих метаморфитов для пород андалузит-силлиманитового (метапелиты и метабазиты) и кианит-силлиманитового (метабазиты) типов.

6. Выделение воды при разрушении структуры биотитов по данным дифференциального термического анализа (ДТА) происходит при температурах тем более высоких, чем более высокой степени метаморфизма характеризуются биотитсодержащие породы.

7. Количественная оценка давления с использованием гранат-биотитового барометра (Перчук, 1976) показала, что оно имеет умеренные значения 5–6 кбар для метапелитов и достигает своего максимума 7,3 кбар для метабазитов.

8. Рентгеноевский дифракционный анализ выявил ряд типоморфных признаков биотитов: а) полигипный состав биотитов контролируется в основном фактором давления и меняется по схеме $Md \rightarrow 1M \rightarrow 2M_1$, в соответствии с увеличением степени метаморфизма биотитсодержащих пород от метапелитов к метабазитам. Модификация Md биотитов соответствует начальным стадиям метаморфизма метапелитов, характеризующимся низкими значениями температур и давлений. С увеличением давления структуры биотитов упорядочиваются (1M), что указывает на эволюционный характер их трансформационного пресобразования. С прогрессирующими условиями давления в метабазитах образуются биотиты флогопит-аннитового состава, модификации $2M_1$, вероятно, за счет диккита – характерного минерального компонента вулканогенно-осадочных пород; соотношение относительных интенсивностей рефлексов 200, I₃₁ / I₃₂, 201 биотитов тем выше, чем ниже в них отношение Fe/Mg и чем выше степень метаморфизма пород; параметр "в" биотитов линейно увеличивается с увеличением суммы октаэдрических катионов (Mg , Fe^{2+} , Fe^{3+} , Ti , Mn , Al_{VI}) и контролируется температурой образования. Температурные изолинии корреляции параметра "в" и состава октаэдров имеют независимые поля для ставролитовой, силлиманитовой и магматитовой зон.

В заключение отметим, что типоморфный анализ, выполненный по схеме генезис индивида – генезис вида – генезис минерального комплекса позволяет уточнить и дополнить геолого-петрологические данные при решении регионально генетических вопросов. Проведенный анализ типоморфных свойств биотитов геологически сложно построенных участков Грузии, какими являются метаморфиты Абхазии и Верхней Сванети может быть использован при дальнейших геолого-петрологических, минералогических и поисковых исследованиях.

ЛИТЕРАТУРА

- Адамия Ш.А. Дстворские образования Кавказа. - Тр.ГИН АН Грузии. - Ноz.сер. - 1968. - Вып.16. - С.294.
- Батлер Б.К. Состав слюд в метаморфических породах. - Природа метаморфизма. - М.: Мир. - 1967. - С.303-310.
- Власова Е.В., Доломонова Е.И. ИК-спектры и кристаллохимия минералов группы флогопит-биотиты. - Изв. АН СССР. - 1980. - №1. - С.111-117.
- Великословинский Д.А. Сравнительная характеристика регионального метаморфизма умеренных и низких давлений. - Л.: Наука. - 1972. - С.189.
- Верма А., Кришна П. Полиморфизм и полигиля в кристаллах. - М.: Мир. - 1969. - С.273.
- Длавахишвили Ш.И. Кристаллические сланцы Южного склона Большого Кавказа. - Тр.ГИН АН Грузии. - Тбилиси: Мецниереба. - 1970. - Вып.23. - 194 с.
- Длавахишвили Ш.И. О некоторых особенностях строения кристаллического субстрата Большого Кавказа. - Тр.ГИН АН Грузии. - Тбилиси: Мецниереба. - 1978. - Вып.59. - С.61-67.
- Дир и др. Породообразующие минералы. - М.: Мир. - Т.3. - 1966. - С.317.
- Другова Г.М., Московиченко Н.И., Никитина Л.П. Биотиты докембрийского комплекса юго-западного Памира. - Изв. АН СССР. - 1976. - №8. - С.37-45.
- Закруткин В.В. Об изменении химического состава биотитов при метаморфизме. - Геология и геофизика. - 1970. - №3. - С.64-73.
- Звягин Б.Б. Высоковольтная электронография в исследовании глинистых минералов. - М.: Наука. - 1978. - С.224.
- Иванова В.П., Касатов Б.К. и др. Термический анализ минералов и горных пород. - Д.: Недра. - 1974. - С.399.
- Кепежинская К.Б. Зависимость состава биотитов среднетемпературных метапелитов от давления. - ДАН СССР. - 1972. - Т.204. - №2. - С.440-443.
- Кориковский С.П. Метаморфизм, гранитизация и постмагматические процессы докембрия Удокано-Станавой зоны. - М.: Наука. - 1967. - С.298.
- Кориковский С.П. Фации метаморфизма метапелитов. - М.: Наука. - 1979. - С.263.
- Кристаллохимия минералов и геологические проблемы. - М.: Наука. - 1975. - С.291.
- Лазаренко Е.К., Павлишин В.П., Мельников В.С. Теоретические

- основы учения о типоморфизме минералов. - В кн.: Научные основы и практические использования типоморфизма минералов. - Мат. 2-го съезда ММа. М.: Наука. - 1980. - С.5-16.
- Лебедев В.И. Энергетические и размерные закономерности изоморфизма. - Проблемы кристаллохимии минералов и эндогенного минералообразования. - Л.: Наука. - 1967. - С.44-60.
- Маракушев А.А. Влияние температуры на состав биотита из метаморфических пород. - Изв. АН СССР. - 1966. - №7. - С.21-38.
- Минсиро А. Метаморфизм и метаморфические пояса. - М.: Мир. - С.535.
- Моримото Х., Донней И.Д. Кристаллическая структура синтетической железной слюды. - Вопросы геологии и минералогии слюд. - М.: Мир. - 1965. - С.154-155.
- Нагайцев Ю.В. К вопросу об энергетическом анализе последовательности кристаллизации минералов. - ЗВМО. - 1969. - Т.98. - №3.
- Нагайцев Ю.В. О влиянии давления и температуры на состав граната и биотита метаморфических пород. - Проблемы минералогии и петрологии. - Л.: Наука. - 1972. - С.212-226.
- Никитина Л.П. О содержании кремния в железомагнезиальных слюдах метаморфических пород. - Региональный метаморфизм докембрийских формаций. - М.-Л.: Наука. - 1965. - С.140-148.
- Олерович Э.В., Никитина Л.П. Использование валентных колебаний ОН - для определения содержания октаэдрических элементов в слюдах. - Геохимия. - 1975. - №5. - С.727-732.
- Павлишин В.И. Типоморфизм кварца, слюд и полевых шпатов в эндогенных образованиях. - Киев: Наукова думка. - 1983. - С.231.
- Перчук Л.Л., Рябчиков В.Д. Фазовое соответствие в минеральных системах. - М.: Наука. - 1976. - С.286.
- Плюснина И.И., Капитонова Т.А. ИК-спектры поглощения слюд в области ОН-колебаний. - Ж. прикладной спектроскопии. - 1952. - Т.16. - Вып.3.
- Рентгеновские методы изучения и структура глинистых минералов. Под ред. Г.Брауна. - М.: Мир. - 1965. - 599 с.
- Рентгеновские методы определения и кристаллическое строение минералов глин. - М.: ИЛ. - 1955. - С.402.
- Руководство по рентгеновскому исследованию минералов / Под ред. В.А.Франк-Каменецкого. - Л.: Недра. - 1975. - С.400.
- Рентгенография основных породообразующих минералов / Под ред. В.А.Франк-Каменецкого. - Л.: Недра. - 1983. - С.259.
- Римская-Корсакова О.М., Соколова Е.П. О железисто-магнезиальных слюдах с обратной схемой абсорбции. - ЗВМО. - 1964. - Вып.4. - С.411-423.
- Рождественская И.В., Семенова Т.Ф., Франк-Каменецкий В.А. Но-

вые данные о структуре слюд. - Минералогический журнал. - 1979. - Т.1. - №2. - С.41-60.

Рождественская И.В., Франк-Каменецкий В.А. Современное представление о структуре слюд. - Кристаллохимия и структурные особенности минералов. - Л.: Наука. - 1976. - С.3-18.

Сапожникова Л.П. Особенности химического состава биотита в слюдоносных плагиоклазовых пегматитах Мамско-Чуйского региона. - ЗВМО. - 1981. - Т.110. - №4. - С.453-460.

Сборник статей "Вопросы геологии и минералогии слюд" / Под ред. В.П.Петрова. М.: Мир. - 1965. - С.275.

Скосырева М.В., Багдасаров Ю.А., Власова Е.В. ИК-спектры и химический состав слюд из карбонатитов Черниговской зоны (Приазовье) как индикатор особенностей их генезиса. - Геохимия. - 1982. - №4. - С.541-550.

Смит Д.В., Йодер Х.С. Экспериментальные и теоретические исследования полиморфизма. - Вопросы геологии и минералогии слюд.-М.: Мир.- 1965. - С.156-186.

Соболев В.С., Добрепов Н.Л., Ревердато В.В. Фации метаморфизма. М.: Недра. - 1970. - С.432.

Соколова Е.П. О рентгенометрическом изучении минералов группы слюд. - Рентгенография минерального сырья. - Сб.5. М.: Недра. -1966.

Сомин М.Л. Донирские образования Главного хребта и южного склона Большого Кавказа. М.: Наука. - 1971. - С.246.

Струбичан В., Рой Р. Изоморфные замещения и инфракрасные спектры слюистых силикатов. - Физика минералов.-М.: Мир. - 1964. - С. 364-386.

Тепкин В.Е. О координации A₁ в слюде. - Конституция и свойства минералов. - Т.1. - 1966. - Вып.1. - С.19-24.

Усенко С.И., Щербаков И.Б., Заяц А.П. Биотиты докембрия. - Киев. - 1972. - С.207..

Ушакова Е.Н. Биотиты метаморфических пород. - М.: Наука. - 1971. - С.345.

Ушакова Е.Н. Вопросы геологии и петрологии металлогенеза метаморфических пород востока СССР. - Владивосток. - 1968.

Ферштатер Т.Б. Биотиты и роговые обманки из гранитоидов Урала. - Тр.ин-та геологии и геохимии.-Урал.научн.центр АНССР. - 1975. - Вып.122. - С.68-82.

Франк-Каменецкий В.А. Природа структурных примесей и включений в минералах.-Л.: ЛГУ. - 1964. - С.240.

Франк-Каменецкий В.А., Котов Н.В., Гойло Э.А. Гидротермальный минтез в системах гадуазит и каолинит-хлориды K, Na, Ca,Mg под давлением. - Проблемы петрологии и генетической минералогии. - Т.1. - М.: Наука. - 1969. - С.143-162.

Франк-Каменецкий В.А., Котов Н.В., Гойло Э.А. Кристаллохимия трансформационных превращений глинистых минералов. - ЗВМО.- 1973.- Ч.102.- Вып.2.- С.129-142.

Франк-Каменецкий В.А., Котов Н.В., Котельникова Е.Н. Гидротермальное преобразование природных серпентинов в сейноклориты и слюды. - Рентгенография минерального сырья.-Воронеж., ВГУ. - 1979. - С.72-80.

Франк-Каменецкий В.А. Структурный типоморфизм минералов. - Мат.XI съезда ММА. М.: Наука. - 1980. - С.35-42.

Франк-Каменецкий В.А., Котов Н.В., Гойло Э.А. Трансформационные преобразования слюистых силикатов при повышенных Р-Т параметрах. Л.: Недра. - 1983. - С.151.

Цветкова А.И., Бальхахина Е.Н. О гидратации и окислении слюд. - Изв.АН СССР.-Сер.геол. - 1956. - №5. - С.74-79.

Чичинадзе Г.Л. Петрология кристаллических пород юго-восточной части Софийского поднятия (Большой Кавказ). - Фонд ГИН АН ГССР. - 1978. - С.154.

Чухров Ф.В., Зиятин Е.Б., Соболева С.В. О типоморфности кристаллических структур слюистых силикатов. - Состав и структура минералов как показатель их генезиса.-М.: Наука. - 1978. - С.5-10.

Швейцадзе И.У. Ионный потенциал и некоторые вопросы геотермометрии биотита. - Сообщ.АН ГССР. - 1990. - Т.100. - №3. - С.617-620.

Швейцадзе И.У. Некоторые вопросы минералогии биотитов из метаморфитов Буульгенской серии кристаллического ядра Большого Кавказа. - Тез.докл.конф.мол.геол. - Тбилиси. - 1981. - С.26-28.

Швейцадзе И.У. Типоморфизм биотитов из метаморфитов Абхазии и Верхней Сванетии. - Тез.докл.конф.мол.спец. и работн.пр-ва.- Тбилиси. - 1984. - С.201-202.

Швейцадзе И.У. Корреляционный анализ биотитов из метаморфитов Абхазии и Верхней Сванетии. - Сообщ.АН ГССР.

Шенгелия Д.М., Ахвледiani P.A., Кецховели Д.Н. Рентгеновское изучение углисто-графитового вещества в температурном интервале 300-850°C. - Сообщ.АН ГССР. - 1977. - Т.83. - №3. - С.651-663.

Шенгелия Д.М., Ахвледiani P.A., Кецховели Д.Н. Графитовый геотермометр. - ДАН СССР. - 1977. - Т.236. - №6.

Шенгелия Д.М., Кецховели Д.Н. Региональный метаморфизм низких и умеренных давлений в Абхазии. - Тбилиси: Мецниереба. - 1982. - С.207.

Шенгелия Д.М., Чичинадзе Г.Л., Кахадзе Р.Г. Новые данные о геологическом строении восточной периферийной части Софийского поднятия. - Сообщ.АН ГССР. - 1981. - Т.103. - №2. - С.361-364.

Щербаков И.Б. О глиновоземистости биотитов из метаморфических пород. - Геол. журнал. - 1965. - Вып.25. - №1.

Эггер Г.П. Новые данные и экспериментальные исследования стабильности фазовых соотношений водных силикатов железа. - Физико-химические проблемы формирования горных пород и руд.-М.: АН СССР. - Т. I. - 1961. - С. 622-640.

ASTM.Powder diffraction file. - Search Manual J.CPOS, 1973, Philadelphia.

Baronnet A. Polytypism in micas. A survey with emphasis on the crystal growth aspect. Current Topics Material Science, vol.5, edited by E.Kaldus, North-Holland Publishing Company, 1980, p.449-543.

Bart T.F.W. Geol.Soc.Amer.Bull.1936, v.47.

Bragg W.L.,West C. The structure of certain silicates - Proc.Roy.Soc.,1937.II4A, p.371-377.

Chaussidon J. Stretching frequencies of structural hydroxyls of hectorite and K ~ dopl'te'd plagiopite as influenced by interlayer cation and hydration. Clays and Clay Miner., v.18, 1980.

Crystal structures of clay minerals and their X-ray identification. Ed.G.W.Brindley, G.Brown. London, Miner.Soc., 1980, p.495.

Donnay G.,Donnay J.D.H.,Takeda H. Trioctahedral one-layer micas. II. Prediction of the structure from composition and cell dimensions. - Acta Crust., 1964, 17, II, p.1347-1378.

Dudek A. Biotite hludinnych vyzvazlin a jeyich vztah k chemismu matecnych hornin. Rozpr. Česk.akad.ved. 1954, 64, N6, s.19-61.

Engel A.E.J., Engel C.G. Progressive metamorphism and granitization of the major paragenesis. Northwest Adirondack Mountains New York. Ptr,Mineralogy. - Jbid, 1960, 71, NI, p.1-58.

Farmer V.C. The layer silicates. In the infrared spectra of minerals. London, Miner.Soc. 1974, p.332-340.

Foster M.D. Interpretation of the composition of lithium micas. - U.S.Geol.Survey prof.paper, 1960, 354-E, p.115-147.

Foster M.D. Interpretation of the composition of trioctahedral micas - U.S.Geol.Survey prof.paper, 1958, 354-E, p.11-50.

Foster M.D. Layer charge relations in the dioctahedral and trioctahedral micas. - Amer. Mineral., 1966, 51, 3-4, p.383-398.

Franzini M., Schiaffino L. On crystal structure of biotites. Z.Kristallographie,mineralogie und petrographie. 1965, 119, 1/4, s. 297-309.

Guidotti C.V., Cherey J.T., Guggenheim S. Distribution of titanium between coexisting muscovite and biotite in politic schists from northwestern Maine. Amer. Miner. 1977, 62, N5-6, p.438-448.

Harry W.T. Aluminium replacing silicon in some silicate lattices. Mineral.Mag. 1950, 29, N209, p.142-149.

Hazen R.M., Burnham G.W. The crystal structure of one-layer phlogopite and annite. Amer.-Mineral., 1973, v.58, p.989-900.

Hazen R.M., Wones D.R. The effect of cation substitutions on the physical properties of trioctahedral micas. - Amer. Miner., 1972, 57, p.103-129.

Heinrich E.W. Studies in the mica group. Amer.J.Sci. 1964, 244, p.25-49.

Hewitt D.A., Wones D.R. Phasical properties of some synthetic M-AL trioctahedral biotites. Amer. Miner., 1975, 60, p.854-862.

Holdaway M.J., Lee S.M. Fe-Mg cordierite stability in highgrade pelitic rocks based on experimental, theoretical and natural observations. Contrib.Min.and Petr., 63, N2, 1977.

International Clay Conference, Madrid, 1972, v.1, p.442; v.2, p.6-22.

Lambert R.St.J. The mineralogy and metamorphism of the moine schists of the Morar and Knoydart districts of Invernesshire. - Trans.Roy.Soc, Edinburg, 1959, 63, p.3.

Maugen C. Etude du muscovite au moyen des rayons X. - Comp. Rend.Acad.Sci, Paris, 1927, v.185, p.228-291.

Maugen C. Etude du muscovite au moyen des rayons X. - Compt. Rend.Acad.Sci, Paris, 1928, v.186, p.1131-1134.

Miyashiro A. Evolution of metamorphic belts. - J.Petrol.v.2, N3, 1961, p.277-311.

Miyashiro A. Regional metamorphism of the Cosaisyo-Takanuki district in the central Abukuma plateau. - J.Fac.Sci.Univ.Tokyo. Sect.II, 219, 1958, p.219-272.

Nockolds E.R. The relation between chemical composition and paragenesis of biotite micas from igneous rocks. Amer.J.Sci., 1947, 245, N7, p.401-420.

Oki J. Metamorphism in the northern Kiso Range. Japan. Jap.J. Geol.and Geogr., v.34, N5-4, 1961, p.479-490.

Radoslovich E.W. The cell dimensions and symmetry of layer-lattice silicates. IV. Interatomic forces. V. Composition. limits. VI. Serpentine and Kaoline morphology. - Amer. Minerals., 1963, 48, 1-2, p. 76-99; 3-4, p.348-367; 3-4, p.368-378.

Radoslovich E.W. The cell dimensions and symmetry of layersilicates. II Regression relations. - Amer. Mineral., 1962, v.47, N5-6, p.617-636.

Ramsdell L.S. Studies of silicon carbide. - Amer. Mineral., 1947, 32, 1-2, p.64-82.

Rayner J.E. The crystal structure of phlogopite by neutron diffraction. - Mineral.Mag. G.B., 1974, 39, p.850-856.

Richardson S.W., Gilbert M.C., Bell P.M. Experimental determination of Kyanite-sillimanite and andalusite-sillimanite equilibria the aluminium silicate triple point.-Amer.J.Sci.v.267, N3, 1969, p.259-272.

Rieder M., Huka M., Kucerova D., Minarik L., Obermajer J., Povondra P. Chemical composition and physical properties of lithium-iron micas from the Krusne hory Mts. (erzgebirge). Part A: Chemical composition.-Contr. Miner. Petrology 27, 2, 1970, p.131-158.

Rieder M., Pichova A., Fassova M., Fediukova E., Cerny P. Chemical composition and physical properties of lithium-iron micas from the Krusne optical data.-Miner. Mag., 1971, v.38, N294, p.190-196.

Robert J.B. Titanium solubility in synthetic phlogopite solid solutions.-Chem. Geol., 1976, 17, N3, p.213-227.

Ross M., Takeda H., Wones D.R. Mica polytypes: systematic description and identification.-Science, 1966, 151, p.191-193.

Pauling L. The structure of micas and related minerals.-Proc. Nat. Acad. Sci. USA, 1930, 16, 123, p.123-129.

Saxena S.K. Silicate solid solution and geothermometry, 3. Distribution of Fe and Mg between coexisting garnet and biotite. Contr. Miner. Petrol., v.22, 1969, p.259-267.

Snelling N.J. Notes on the petrology and mineralogy of the Barrovian metamorphic zones.-Geol. Mag., 1957, 94, N4.

Smith J.V. A review of the Al-O and Si-O distances. Acta Cryst. 1954, v.7, p.479.

Stevens R.E. A system for calculating analyses of micas and relate minerals to end members.-US Geol. Survey Bull., 1950, 1946, p.101-119.

Steinfink H. Crystal structure of a trioctahedral mica phlogopite.-Amer. Mineral., 1962, 47, p. 886-890.

Takeda H., Ross M. Mica polytypism:dissimilitudes in the crystal structures of coexisting 1M and 2M biotite.-Amer. Mineral., 1975, 60, N11/12, p.1030-1040.

Takeuchi J. Structures of brittle micas.-Clays and Clay Minerals, 1966, 25, N1, p.1-25.

Vedder W. Correlations between infrared spectrum and chemical composition of mica.-Amer. Mineral., v.49, 1964, p.736-768.

Vistelius A.B., Sermanov O.V. On the correlation between percentage values: major component correlation in ferromagnesian micas. J. Geol., 1961, 69, N2.

Webb W.M., Briggs L.J. The use of principal component analysis to screen mineralogical data.-J. Geol., 1966, 74, N5, pt.2.

Wones D.R., Bugster H.P. Stability of biotite: experiment theory and application.-Amer. Miner., 1965, 50, N9, p.1228-1272.

Winchell A.N. Studies of the mica group (abstract).-Amer. Miner. 1925, v.10, p.53.

Yoder H.S., Bugster M.P. Phlogopite synthesis and stability range. Geoch. et Cosmoch. Acta, v.6, N4, 1954.

Yoswing W. Neutronenberungsmessungen im enem 1M-phlogopite. N.Jb. Miner. Mh., 1973, p.1-11.

Zwart H.J. Orogenesis and metamorphic facies in Europe Modd. fra Danst Geol. Forening. Kobenhaven, Bd.17, 1967, p.504-516.

	I	2	3	4	5	6	7	8	9	10	II	12	13	14	15
Basis composition															
I	73-5	36.17	1.16	19.99	3.64	18.24	5.91	0.17	0.82	0.11	7.46	2.04	4.10	99.81	
2	85-4	34.63	2.05	18.74	3.26	19.38	6.69	0.44	0.65	0.11	7.89	2.50	3.92	99.86	
3	22-77	35.01	1.70	19.40	2.54	17.68	8.01	0.48	0.30	1.11	8.32	0.58	4.82	99.96	
4	A-77	34.08	2.16	19.73	3.98	19.50	8.00	0.24	-	0.26	8.22	0.09	3.48	100.13	
5	A-99	34.40	2.27	19.82	2.82	19.80	15.31	0.35	0.08	0.16	10.00	0.20	3.38	99.74	
6	7-71	35.18	2.35	17.78	5.98	16.68	8.71	0.26	-	0.21	10.03	0.78	2.04	99.60	
7	7-162	34.76	2.28	16.15	2.32	17.90	6.93	0.10	0.77	0.30	7.60	1.90	3.62	99.63	
8	7-131	36.01	1.40	18.40	1.34	20.60	8.01	2.48	0.30	0.11	7.32	1.98	4.32	99.35	
9	124	36.40	1.80	18.05	3.00	20.39	7.90	-	I.80	0.60	7.60	2.41	3.90	99.67	
10	8-74	33.52	1.17	19.17	1.05	22.24	10.12	0.21	-	0.33	7.63	0.72	3.60	99.76	
11	377	36.20	2.10	17.70	4.65	19.20	6.90	0.14	0.75	0.50	6.80	0.80	4.50	99.81	
12	7-80	34.43	1.06	15.95	1.96	16.20	8.71	0.76	0.40	8.20	1.96	-	4.18	99.54	
13	8-22	38.45	1.25	15.75	1.96	16.14	10.82	0.71	1.40	8.00	0.74	-	4.19	99.54	
14	375-3	38.88	1.37	16.66	2.73	15.62	7.64	1.66	0.70	8.00	1.64	-	4.36	99.68	
15	529-3	34.18	1.53	20.48	1.14	19.20	8.77	-	0.32	9.74	1.02	-	3.02	99.60	
16	8-25	35.28	1.24	18.74	1.29	17.42	10.20	0.82	0.22	8.34	1.56	-	4.32	99.67	
17	8-23	36.50	1.80	16.70	2.60	17.45	10.20	0.55	0.25	6.90	2.36	-	4.20	99.61	
18	85-8	34.96	2.40	15.98	5.56	17.28	9.12	-	0.99	0.22	10.08	--	2.76	99.69	
19	109-8	35.72	0.80	17.85	4.30	18.72	8.78	-	I.21	0.22	8.88	-	4.32	99.83	
20	336-3	36.79	1.12	18.09	1.98	16.66	8.88	0.20	0.30	8.60	1.41	4.75	99.44		
21	353-3	36.13	1.30	17.17	1.98	18.14	8.69	0.19	0.71	0.30	8.20	1.68	5.06	99.56	
22	632	35.40	1.37	20.77	4.01	16.56	10.67	0.26	0.27	8.35	0.42	I.98	99.99		
23	7-130	34.37	2.30	20.05	1.89	17.68	9.11	0.23	-	0.21	8.19	2.39	4.33	99.63	
24	I-4	37.45	2.00	18.70	0.75	23.09	10.60	-	0.80	0.60	7.80	0.60	3.20	99.68	
25	318	35.48	1.40	15.64	2.11	17.05	14.60	0.14	1.40	0.30	7.50	1.99	3.74	99.97	
26	6-4	32.05	1.09	17.98	3.90	16.17	9.44	0.08	0.19	0.33	8.01	2.37	3.60	99.70	
27	376	38.88	1.37	16.66	2.73	15.62	7.64	0.42	1.66	0.70	9.00	1.64	4.36	99.68	
28	21-4	37.00	1.30	18.36	1.10	17.65	8.80	-	I.50	0.60	7.80	0.64	4.72	99.47	

Bemerkungen (Bauart, Packungsart, Spann)

	I	2	3	4	5	6	7	8	9	10	II	12	13	14	15
45 8-65	33.54	I.38	18.24	2.02	16.56	12.33	0.10	-	0.48	7.99	2.76	4.36	99.76		
46 262-3	35.80	0.60	18.50	4.27	13.06	13.28	I.10	0.70	6.60	I.90	-	3.90	99.91		
47 10-4	34.49	I.19	16.80	2.38	16.92	12.88	I.10	0.70	6.60	I.90	-	3.90	99.96		
48 85-4	34.63	2.05	18.74	3.26	19.38	6.89	0.19	0.65	0.11	7.89	-	5.40	99.86		
49 I71-3	33.75	I.02	19.22	1.55	21.10	12.59	0.11	-	0.33	6.98	0.08	4.14	100.87		
50 I73-3	34.28	I.20	15.93	8.42	13.53	11.63	0.93	-	0.22	7.08	2.81	3.94	99.87		
51 I-42	33.80	0.88	19.21	0.64	20.70	11.06	0.07	0.52	0.40	7.00	0.24	5.36	99.88		
52 8-35	34.28	I.20	15.93	4.29	14.47	10.10	0.14	0.84	0.60	8.40	-	3.20	99.73		
53 8-38	36.70	I.66	19.33	4.29	14.47	10.10	0.14	0.84	0.60	8.40	-	3.20	99.86		
54 I67-3	35.00	I.18	18.09	9.45	17.92	10.00	0.04	0.68	0.60	7.00	0.31	4.02	99.85		
55 8-51	41.03	0.88	21.15	I.62	13.68	7.94	0.11	0.75	0.90	7.00	0.14	4.66	99.73		
56 I70-3	36.45	I.05	17.90	0.95	19.20	9.55	0.07	0.75	0.50	7.10	0.80	5.55	99.77		

Bemerkungen (Bauart, Packungsart, Spann)

Bemerkungen (Bauart, Packungsart, Spann)

ПРОДОЛЖЕНИЕ ПРИЛОЖЕНИЯ 2

I 2	3	4	5	6	7	8	9	10	II	12	13	14	15	16	
44	437	5.27	2.73	8.00	0.33	2.38	2.24	0.01	0.29	0.42	5.67	1.60	0.06	0.12	1.78
45	365	5.41	2.59	8.00	1.28	1.74	1.91	0.04	1.08	0.18	5.23	1.80	0.38	0.06	2.24
46	7-168	5.17	2.83	8.00	0.64	2.52	2.44	0.03	0.28	0.09	6.00	1.48	0.10	-	1.58
47	7-144	5.25	2.75	8.00	1.62	1.53	1.55	0.03	0.50	0.15	5.38	1.36	0.12	-	1.48
48	314-3	5.52	2.48	8.00	0.83	1.89	2.23	0.03	0.33	0.20	5.51	1.70	0.12	-	1.82

Зона магнетита

49	7-172	5.62	2.38	8.00	1.08	2.51	1.78	0.02	0.05	0.11	5.55	1.64	0.14	0.08	1.83
50	88-5	5.42	2.58	8.00	0.80	2.23	2.33	2.02	0.14	0.14	5.66	1.62	0.06	0.13	1.81
51	324	5.69	2.31	8.00	0.84	1.37	1.82	0.04	0.82	0.18	5.07	1.58	0.29	0.08	1.95
52	337-3	5.47	2.53	8.00	0.77	1.41	2.02	0.04	0.82	0.16	5.22	1.64	0.28	0.08	2.00
53	A-39	5.33	2.67	8.00	0.71	2.27	2.17	0.01	0.15	0.31	5.62	1.66	-	0.08	1.74
54	8-52	5.59	2.41	8.00	0.99	2.02	2.00	0.02	0.32	0.13	5.48	1.56	0.04	0.08	1.68
55	83-8	5.36	2.64	8.00	0.52	1.42	2.81	-	0.54	0.10	5.39	1.72	0.08	0.20	2.00
56	7-34	5.36	2.64	8.00	0.53	1.93	2.25	0.01	0.47	0.09	5.28	1.82	0.08	0.10	2.00

Кристаллохимический состав биотитов (пересчеты на 22-0). Недооxygenение K_2O
метапелита

I нр п/п обр.	SiO ₂	Al ₂ O ₃	Σ_{tot}	Al _{0.5}	Fe ²⁺	Mg	Al _{0.5}	Fe ²⁺	Ti	$\Sigma_{\text{окт.}}$	K	Na	Ca	Σ	I 2	3	4	5	6	7	8	9	II	12	13	14	15	16
I	73-5	5.54	2.46	8.00	1.15	2.34	1.35	0.02	0.42	0.13	5.41	1.46	0.02	0.13	1.61													
2	85-4	5.40	2.60	8.00	0.84	2.52	1.53	0.02	0.38	0.24	5.53	1.56	0.02	0.11	1.66													
3	22-77	5.36	2.64	8.00	0.86	2.26	1.83	0.06	0.29	0.20	5.50	1.62	0.32	0.05	2.06													
4	17-97	5.17	2.83	8.00	0.71	2.47	1.81	0.03	0.45	0.25	5.70	1.60	0.08	-	1.73													
5	A-99	5.22	2.78	8.00	0.76	2.51	1.81	0.04	0.32	0.26	5.61	1.68	0.04	0.01	2.01													
6	7-71	5.33	2.67	8.00	0.50	2.11	1.88	0.03	0.68	0.26	5.50	1.94	0.06	-	2.00													
7	7-160	5.48	2.52	8.00	0.48	2.51	1.63	0.01	0.74	0.22	5.52	1.53	0.08	0.23	1.73													
8	7-131	5.36	2.64	8.00	0.86	2.26	1.83	0.06	0.29	0.20	5.50	1.62	0.32	0.05	1.99													
9	12-4	5.57	2.44	8.00	0.82	2.11	1.80	-	0.34	0.20	5.27	1.48	0.18	0.29	1.93													
10	8-74	5.48	2.52	3.00	0.99	2.79	1.69	0.02	0.03	0.09	5.61	1.70	0.12	0.11	1.93													
II	377	5.57	2.43	8.00	1.10	2.55	1.47	0.03	0.22	0.12	5.49	1.50	0.18	0.09	1.77													

Насыщенные K_2O метапелиты. Зона биотита. А-30 р.Квиши, сланец; 8-52,8-54 басс. р. Тетри-геле, сланцы; 59-8 обр. Р.Г.Кахадзе, р.Окрила, сланец; 7-102 р.Накра, сланец; II8-4, 74-4 р-н. Оз. Верххлиста, сланцы;

Зона граната. - I56-4, 68-5,72-4 р.р. Ненскра иНакра, сланцы; I15-8 обр. Р.Г.Кахадзе, р.Твибери, сланец; I56-8, I53-8, I43-8 р.Твибери, сланцы; 609 обр.Г.Л.Чинидзе, р.Алебе, сланец; 87-8 обр. Р.Г.Кахадзе, р.Мемула, сланец; 8-22 р.Окрила, гнейсы; 357 обр.Д.М.Шенгелия, басс.р.Вост.Птыш, гнейс; Зона стевролита. -7-156,7-159 р-н Клухорского перевала, гнейсы; 8-47 р.Г.Вандра, сланец; II3-8 обр.Р.Г.Кахадзе, р.Машричла, гнейс; 8-20 р.Цхвандар, гнейс; 312 обр.Д.М.Шенгелия, р.Хецквара, гнейс 346-3 обр.Д.М.Шенгелия, р.Птыш, гнейс; 7-25 р.Г.Вандра, сланец; 890 обр.Д.М.Шенгелия, р.Джессара, сланец; 309 обр.Д.М.Шенгелия, басс.р.Птыш, сланец; 7-154,7-101 р.Накра, сланцы; 8-26 р. Мемула, сланец;

Зона силиманита.- I30-8, I33-8,I34-8 обр.Р.Г.Кахадзе, р.Делар,сланцы; 7-94,7-95,7-97,7-104 р.Накра, сланцы; 7-98,7-3-4 р.Окрила, гнейсы; 7-173,7-168,7-144 р.Ацгара, сланцы; 4-27,4-37 обр.Р.Г.Кахадзе, р.Цхвандар, сланцы; 365 обр.Д.М.Шенгелия,р.Птыш, сланец; 314-3 обр.Г.Л.Чинидзе,р.Гандра, сланец; Зона мигматита.- 7-172 р.Ацгара, мигматит(рестит); 88-8,83-8,8-52 р.Маруха, мигматит(рестит); 324-/-3 357-3 р.Птыш, мигматит(рестит); А-39 р.Квиши, мигматит(рестит); 7-34 р.Твибери, мигматит(рестит).

Недосыщенные K_2O метапелиты. 73-5,85-4, 7д. р. Г.Ич, сланцы; 22-77 обр. Д.М.Шенгелия, р.Гвандре, сланец; А-77, А-99 басс.р. Гвандре, сланцы; 7-71,7-162,7-131 р-н Клухорского перевала, сланцы; I2-4 обр. Д.М.Шенгелия, р.Хецквара, сланец; 8-74 обр. Д.М.Шенгелия, р. Гвандре, сланец; 377 обр. Д.М.Шенгелия, р. Ачапара, сланец. -Зона стевролита.

Зона силиманита - 7-80 р.Накра, сланец; 8-22 р.Ненскра, сланец; 375-3,5-29-3 обр. Д.М.Шенгелия, басс. р.Птыш, сланцы; 8-25,8-23 р.Цхвандар, сланцы; 85-8,109-8 р.Мемула, сланцы; 336-3,353-3 - обр. Д.М.Шенгелия, басс.р.Птыш, сланцы; <32 обр. Г.Л.Чинидзе, р.Ацгара, сланец; 7-130 р-н Клухорского перевала, гнейс; 1-4, 6-4, 21-4, 318 басс. р. Хецквара, сланцы; 376 р.Птыш, сланец; 525 обр. Г.Л.Чинидзе, р.Ачапара, сланец; 312 р.Хецквара, сланец; 7-133, 7-135, 7-136, 7-140 р-н Клухорского перевала, сланцы; А-92,А-93,А-95 басс.; Ненскра, сланцы; 364 р.Кильч, сланец; 7-159 р-н Клухорского перевала, сланцы; 317-3 обр. Д.М.Шенгелия, р.Хенквара, сланец; 8-60 басс. р.Гвандре, сланец;

Зона мигматита - А-96 р.Накра, мигматит(рестит); 7-158 р-н Клухорского перевала, мигматит(рестит); 7-78 р. Местиачана, мигматит(рестит); 8-65 басс. р. Маруха, мигматит(рестит); 262-3,10-4 р.Хенквара, мигматит(рестит); 85-4 р.Маруха мигматит(рестит); Биотиты Лодонской серии:- I33-3, I68-3, I71-3, I73-3 обр.Д.М.Шенгелия, р.Лависсе, сланцы; I-4-2 обр. Т.Г.Хотуэ, р.Лависсе, сланец; 8-35,8-38,8-51, I37-3, I70-3 преоберегне р.Ламиссе, сланцы; Биотиты из борьных Сев порок - 30-4 р.Ачапара, аллюбогит; 247,263,IO,I3-4, 243,315 - р.Хенквара, мигматиты; I17-4, 7-171, 7-28 р.Дэлар, эпаболит; 718-8, 137-8 р.Мелула, эпаболит; 87-8,8-51 р.Ненула, сланцы.

Оглавление

Введение	3
Глава I. Основные черты геолого-петрологического строения метаморфитов Абхазии и Верхней Сванети	5
I.1. Зоны метаморфизма в Абхазии (Софийский блок)	6
I.2. Зоны метаморфизма Верхней Сванети	9
Биотитовая зона	9
Зона граната	9
Зона андалузита и кордиерита	10
Зона силимманита	10
Зона силимманита и калишпата	II
Глава 2. Распределение биотитов в метаморфитах и их минералогия II	
Глава 3. Результаты исследования биотитов из метаморфитов Абхазии и Верхней Сванети	15
3.1. Зависимость величины χ_2 от общей железистости	15
3.2. Термические исследования биотитов	19
3.3. ИК-спектроскопия биотитов	22
3.4. Общее представление о составе триоктаэдрических слюд - биотитов	25
3.5. Химический состав биотитов	30
3.5.1. Корреляция химического состава биотитов	39
3.5.2. Зависимость сост. от Р-Т условий образования биотитов	48
3.6. Рентгенодифракционные исследования биотитов	63
Глава 4. Типоморфные особенности состава строения и свойств биотитов и их эволюции при метаморфизме	76
4.1. Эволюция состава биотитов	76
4.2. Эволюция структурных особенностей биотитов	84
4.3. Генетические особенности биотитов	86
Заключение	88
Литература	90
Приложение	98

Напечатано по постановлению Научно-издательского совета Академии наук Грузии

ИБ 4517

Редактор издательства Г.П.Бокучава

Худож. редактор Г.А.Ломидзе

Техредактор Э.Б.Бокерия

Корректор Н.В.Кузнецова

Выпускающий Е.А.Майсурадзе

Сдано в производство 10.12.91. Подписано к печати 8.II.1991; Формат бумаги 60X84¹/16; Бумага офсетная; печать офсетная;
Усл. печ. л. 5.81; Уч.-из. л. 5.82;

Заказ 601

Тираж 300;

Задолженность "Мецниереба", თბილისი, 380060, ვაკეთის ქ., 19
Издательство "Мецниереба", Тбилиси, 380060, ул. Кутузова, 19

Задолженность "Мецниереба", თბილისი, 380060, ვაკეთის ქ., 19

Типография АН Грузии, Тбилиси, 380060, ул. Кутузова, 19